

**ANALISIS KANDUNGAN DAN STRUKTUR  
HIDROKSIAPATIT DARI CANGKANG KERANG  
DARAH (*Anandara granosa*) DAN CANGKANG  
TELUR SEBAGAI BAHAN GIGI TIRUAN**

**SKRIPSI**

Diajukan untuk Memenuhi Sebagian Syarat  
Guna Memperoleh Gelar Sarjana Sains  
dalam Ilmu Fisika



Oleh :  
**LAYYINATUS SIFAH**  
**NIM. 1508026024**

**FAKULTAS SAINS DAN TEKNOLOGI  
UNIVERSITAS ISLAM NEGERI WALISONGO**  
**SEMARANG**  
**2020**

**PERNYATAAN KEASLIAN**

Yang bertanda tangan dibawah ini :

Nama : Layyinatus Sifah

NIM : 1508026024

Program studi : Fisika

Menyatakan bahwa skripsi yang berjudul:

ANALISIS KANDUNGAN DAN STRUKTUR HIDROKSIPATIT  
DARI CANGKANG KERANG DARAH (*Anadara granosa*) DAN  
CANGKANG TELUR SEBAGAI BAHAN GIGI TIRUAN

Secara keseluruhan adalah hasil penelitian atau karya sendiri,  
kecuali bagian tertentu yang di rujuk sumbernya.

Semarang, 25 Maret 2020

Pembuat pernyataan,



Layyinatus Sifah

NIM. 1508026024



KEMENTERIAN AGAMA  
UNIVERSITAS ISLAM NEGERI WALISONGO  
FAKULTAS SAINS DAN TEKNOLOGI  
Alamat : Jl. Prof. Dr. Hamka (Kampus II) Ngaliyan Semarang

### PENGESAHAN

Naskah skripsi berikut ini:

Judul : **Analisis Kandungan dan Struktur Hidroksiapatit dari Cangkang Kerang Darah (*Anandara Granosa*) dan Cangkang Telur sebagai Bahan Gigi Tiruan**

Nama : Layyinatus Sifah

NIM : 1508026024

Jurusan : Fisika

Telah diujikan dalam sidang *munaqosah* oleh Dewan Pengaji Fakultas Sains dan Teknologi UIN Walisongo dan dapat diterima sebagai salah satu syarat memperoleh gelar sarjana sains dalam ilmu fisika

Semarang, 14 April 2020

Pengaji I,

Agus Sudarmanto, M.Sc.

NIP. 19970823 200912 1 002

Pengaji II,

Muhammad Ardhi Khalif, M.Sc

NIP. 1821009 201101 1 010

Pengaji III,

Dr. Hamdan Hadi K. M.Sc

NIP. 19711021 199703 1 002

Pembimbing I,

Dr. Hamdan Hadi K. M.Sc

NIP. 19711021 199703 1 002

Pengaji IV,

Andi Fadlan, S.Si., M.Sc

NIP. 19800915 200501 1 006

Pembimbing II

Sheilla Rully Anggita, M.Sc

NIP. 19900505 201903 2 017

**NOTA DINAS**

Semarang, 20 Maret 2020

Kepada

Yth Dekan Fakultas Sains dan Teknologi

UIN Walisongo Semarang

Di Semarang

*Assalamu'alaikum wr. wb*

Dengan ini diberitahukan bahwa saya telah melakukan bimbingan, arahan, dan koreksi naskah skripsi dengan:

Judul : Analisis Kandungan dan Struktur Hidroskiapitit dari Cangkang Kerang Darah (*Anandara Granosa*) dan Cangkang Telur sebagai Bahan Gigi Tiruan

Nama : Layyinatus Sifah

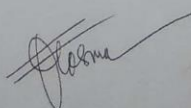
NIM : 1508026024

Program Studi : Fisika

Saya memandang bahwa naskah skripsi tersebut sudah dapat diajukan kepada Fakultas Sains dan Teknologi UIN Walisongo Semarang untuk diajukan dalam sidang Munaqosah.

*Wassalamu'alaikum wr.wb*

Pembimbing I



**Dr. Hamdan Hadi Kusuma, S.Pd, M.Sc**

NIP. 19711021 199703 1 002

**NOTA DINAS**

Semarang, 20 Maret 2020

Kepada

Yth Dekan Fakultas Sains dan Teknologi

UIN Walisongo Semarang

Di Semarang

*Assalamu'alaikum wr. wb*

Dengan ini diberitahukan bahwa saya telah melakukan bimbingan, arahan, dan koreksi naskah skripsi dengan:

Judul : Analisis Kandungan Dan Struktur Hidroskiapit Dari Cangkang Kerang Darah (*Anandara Granosa*) Dan Cangkang Telur Sebagai Bahan Gigi Tiruan

Nama : Layyinatus Sifah

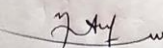
NIM : 1508026024

Program Studi : Fisika

Saya memandang bahwa naskah skripsi tersebut sudah dapat diajukan kepada Fakultas Sains dan Teknologi UIN Walisongo Semarang untuk diajukan dalam sidang Munaqosah.

*Wassalamu'alaikum wr.wb*

Pembimbing II

  
Sheilla Rully Anggita, M.Si

NIP. 19900505 201903 2 017

## ABSTRAK

Hidroksiapatit sebagai bahan biokeramik yang telah banyak digunakan dalam bidang medis. Hidroksiapatit yang digunakan di bidang medis masih impor dari luar negeri dan mahal. Penelitian ini bertujuan untuk mengetahui struktur, morfologi dan kandungan hidroksiapatit dari cangkang kerang darah (*Anandara granosa*) dan cangkang telur sebagai bahan gigi tiruan. Hidroksiapatit dapat dihasilkan dengan mensintesis cangkang kerang darah (CK) dan cangkang telur (CT) sebagai sumber kalsium dan  $(\text{NH}_4)_2\text{HPO}_4$  sebagai sumber fosfat melalui metode hidrotermal dengan variasi komposisi (100% CK), (100% CT), (25%CK : 75%CT), (50%CK : 50%CT) dan (75%CK : 25%CT) yang dikalsinasi pada suhu 900°C dan dikarakterisasi XRD, SEM dan FTIR. Berdasarkan hasil penelitian dapat disimpulkan bahwa diperoleh hidroksiapatit berstruktur heksagonal dengan parameter kisi  $a = 9,404 \text{ \AA}$  dan  $c = 6,675 \text{ \AA}$  serta ukuran kristal yang dihasilkan dari 10,19 nm hingga 57,29 nm. Morfologi sampel hidroksiapatit dari hasil SEM berbentuk gumpalan yang agglomerat dengan ukuran berbeda-beda dan terdapat pori diantara dua gumpalan dengan rata-rata ukuran pori  $1,00 \mu\text{m}$  hingga  $3,37 \mu\text{m}$ . Tingkat kekasaran permukaan sampel hidroksiapatit dari 194,4 nm hingga 275,7 nm. Hasil FTIR didapatkan gugus fungsi  $\text{PO}_4^{3-}$ ,  $\text{OH}^-$  dan  $\text{CO}_3^{2-}$  yang merupakan gugus fungsi dari hidroksiapatit dan dapat digunakan sebagai bahan gigi tiruan.

**Kata Kunci:** Hidroksiapatit, XRD, SEM, FTIR, Gigi Tiruan

## **KATA PENGANTAR**

Alhamdulillah puji syukur kehadirat Allah SWT, yang Maha Pengasih lagi Maha Penyayang yang melimpahkan rahmat, hidayah serta inayah-Nya sehingga penulis dapat menyelesaikan skripsi yang berjudul “Analisis kandungan dan struktur hidroskiapatit dari cangkang kerang darah (*Anandara granosa*) dan cangkang telur sebagai bahan gigi tiruan”. Shalawat serta salam tercurahkan kepada Nabi Muhammad SAW, dengan mengharapkan syafaatnya dihari kiamat nanti dan terlgolong sebagai umat-Nya.

Skripsi ini disusun guna memenuhi tugas dan menjadi syarat untuk memperoleh gelar sarjana Fisika Fakultas Sains dan Teknologi UIN Walisongo Semarang. Dalam penyusunan skripsi ini, tidak lepas dari bantuan, bimbingan, motivasi, do'a dan saran-saran dari berbagai pihak. Oleh karena itu penulis mengucapkan terima kasih kepada :

1. Prof. Dr. Imam Taufiq, M.Ag selaku rektor UIN Walisongo Semarang.
2. Dr. H. Ismail, M.Ag selaku Dekan Fakultas Sains dan Teknologi UIN Walisongo Semarang.
3. Agus Sudarmanto, M.Si selaku ketua jurusan Fisika UIN Walisongo Semarang sekaligus Wali dosen yang selalu

mengarahkan dan membimbing saya dalam proses belajar.

4. Dr. Hamdan Hadi Kusuma, S.Pd, M.Sc, selaku dosen pembimbing I dan Sheilla Rully Anggita, M.Si, selaku pembimbing II yang telah meluangkan waktu, tenaga dan pikiran serta sabar memberikan bimbingan dan pengarahan dalam penyusunan skripsi ini.
5. Widiyastuti, S.Pd selaku PLP Laboratorium Fisika dan Anita Kurnia Z., S.Si selaku PLP Laboratorium Kimia yang telah mengizinkan untuk melakukan riset di laboratorium fisika dan kimia UIN Walisongo Semarang.
6. Segenap dosen, pegawai, dan civitas akademika di lingkungan Fakultas Sains dan Teknologi UIN Walisongo Semarang.
7. Orang tua penulis terkhusus Ibunda Mustamiroh yang telah mendidik dan membesarkan penulis dengan penuh kasih sayang, ketulusan, keikhlasan dan senantiasa memberikan semangat, materi dan do'a sehingga penulis dapat menyelesaikan skripsi ini.
8. Om Fahrur Rozi, S.Pd yang telah memberikan dukungan, semangat, motivasi dan membantu biaya perkuliahan penulis sehingga dapat menyelesaikan skripsi ini.
9. Kakakku Muhammad Haidarullah dan Muhammad Mukhtar Alam Hudallah dan Adik saya Muhammad Ulil

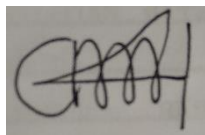
Albab, yang telah memberikan semangat dan mendoakan penulis.

10. Khoirul Wafa yang selama ini sudah memberikan semangat, dan motivasi, menemani penulis menyelesaikan skripsi.
11. Teman-teman Fisika 2015 dan Sahabat-sahabatku Siti Munawaroh, Luluk Nikmatul Hasanah, Rizqi Amaliah, Nur Hidayah, Ivvan Nuzulul Huda, Khoirul Umam dan Jazilatul Mumtahanah selalu memberikan dukungan, semangat kepada penulis.
12. Keluarga UKM Risalah, IMF (Ikatan Mahasiswa Fisika) dan keluarga Kos Al-Amiin atas dukungan dan semangat kepada penulis.
13. Semua pihak yang telah membantu penulis dalam menyelesaikan skripsi ini yang tidak dapat penulis sebut satu per satu.

Penulis menyadari bahwa skripsi ini masih banyak kekurangannya dan jauh dari kata sempurna. Oleh karena itu, penulis mengharapkan kritik maupun saran yang membangun demi penyusunan karya yang lebih baik. Akhir kata penulis berharap semoga skripsi ini dapat bermanfaat bagi penulis khususnya dan bagi pembaca pada umumnya.

Semarang, Maret 2020

Peneliti,



Layyinatus Sifah

NIM. 1508026024

## DAFTAR ISI

<b>HALAMAN JUDUL.....</b>	i
<b>PERNYATAAN KEASLIAN.....</b>	ii
<b>PENGESAHAN.....</b>	iii
<b>NOTA DINAS.....</b>	iv
<b>ABSTRAK.....</b>	vi
<b>KATA PENGANTAR.....</b>	vii
<b>DAFTAR ISI.....</b>	xi
<b>DAFTAR GAMBAR.....</b>	xiii
<b>DAFTAR TABEL.....</b>	xv
<b>DAFTAR LAMPIRAN.....</b>	xvii
<b>BAB I PENDAHULUAN.....</b>	1
A. Latar Belakang .....	1
B. Rumusan Masalah .....	7
C. Batasan Masalah.....	7
D. Tujuan Penelitian.....	8
E. Manfaat Penelitian .....	8
<b>BAB II TINJAUAN PUSTAKA.....</b>	10
A. Kajian Teori .....	10
1. Biokeramik .....	10
2. Hidroksiapatit (HA).....	11
3. Metode Hidrotermal .....	17
4. Kerang Darah ( <i>Anandara granosa</i> ) .....	18

5. Cangkang Telur Ayam.....	22
6. Gigi.....	25
7. XRD ( <i>X-Ray Diffraction</i> ).....	29
8. SEM ( <i>Scanning Electron Microscopy</i> ) .....	32
9. FTIR ( <i>Fourier Transform Infra Red</i> ).....	34
B. Kajian Pustaka.....	37
C. Kerangka Berpikir.....	42
<b>BAB III METODOLOGI PENELITIAN.....</b>	<b>44</b>
A. Jenis dan Desain Penelitian .....	44
B. Tempat dan Waktu Penelitian .....	44
C. Variabel Penelitian.....	45
D. Alat dan Bahan .....	47
E. Prosedur Penelitian.....	49
F. Karakterisasi Sampel Hidroksiapatit .....	52
<b>BAB IV HASIL DAN PEMBAHASAN .....</b>	<b>55</b>
A. Proses kalsinasi dan sintesis Hidroksiapatit.....	55
B. Karakterisasi Sampel.....	58
<b>BAB V PENUTUP .....</b>	<b>86</b>
A. Kesimpulan .....	86
B. Saran.....	87

## **DAFTAR PUSTAKA**

## **LAMPIRAN-LAMPIRAN**

## **DAFTAR RIWAYAT HIDUP**

## **DAFTAR GAMBAR**

<b>Gambar</b>	<b>Judul</b>	<b>Halaman</b>
Gambar 2.1 Struktur (a) Heksagonal dan (b) Monoklinik.....	12	
Gambar 2.2 Kerang Darah ( <i>Anandara granosa</i> ).....	18	
Gambar 2.3 Lapisan Dalam Cangkang Kerang Darah....	20	
Gambar 2.4 Cangkang Telur .....	23	
Gambar 2.5 Anatomi Gigi Manusia .....	25	
Gambar 2.6 Difraksi Sinar X.....	30	
Gambar 2.7 Pola XRD Hidroksiapatit.....	32	
Gambar 2.8 Skema Mesim SEM .....	33	
Gambar 2.9 Skema Instrumen FTIR.....	37	
Gambar 3.1 Diagram Alir Penelitian.....	46	
Gambar 4.1 Hasil kalsinasi (a) cangkang kerang darah (b) cangkang telur.....	55	
Gambar 4.2 Hasil Sintesis Hidroksiapatit Variasi Komposisi (a) (Cangkang kerang 100%), (b) (Cangkang telur 100%), (c) (25%:75%), (d) (50%:50%) dan (e) (75%:25%).....	57	

Gambar 4.3 Pola Difraksi Sampel Hidroksiapatit .....	58
Gambar 4.4 Sudut $2\theta$ sampel hidroksiapatit pada bidang [0 0 2] .....	62
Gambar 4.5 Morfologi Sampel hidroksiapatit A (Cangkang kerang darah 100%) .....	68
Gambar 4.6 Morfologi Sampel hidroksiapatit B (Cangkang Telur 100%) .....	69
Gambar 4.7 Morfologi Sampel hidroksiapatit C (25%:75%) .....	70
Gambar 4. 8 Morfologi Sampel hidroksiapatit D (50%:50%) .....	71
Gambar 4. 9 Morfologi Sampel hidroksiapatit E (75%:25%) .....	72
Gambar 4.10 Morfologi Sampel Hidroksiapatit (a) (Cangkang kerang 100%), (b) (Cangkang telur 100%), (c) (25%:75%), (d) (50%:50%) dan (e) (75%:25%) .....	78
Gambar 4.11 Spektrum FTIR Sampel Hidroksiapatit ...	79

## **DAFTRA TABEL**

<b>Tabel</b>	<b>Judul</b>	<b>Halaman</b>
Tabel 2.1 Sifat Mekanik Hidroksipatit.....	14	
Tabel 2.2 Kandungan Cangkang Kerang Darah .....	22	
Tabel 2.3 Kandungan Cangkang Telur Ayam.....	24	
Tabel 2.4 Bilangan Gelombang Gugus Hidroksipatit....	36	
Tabel 3.1 Variasi Komposisi pembuatan Hidroksipatit .....	45	
Tabel 4.1 Sudut Difraksi Sampel Hidroksipatit dan JCPDS 09-432 Hidroksipatit.....	60	
Tabel 4.2 Parameter Kisi Kristal Sampel Hidroksipatit .....	64	
Tabel 4.3 Ukuran Kristal dan d-spacing Sampel Hidroksipatit .....	67	
Tabel 4.4 Ukuran Pori Hidroksipatit Sampel A (cangkang kerang darah 100%) .....	68	
Tabel 4.5 Ukuran Pori Hidroksipatit Sampel B		

(cangkang telur 100%).....	69
Tabel 4.6 Ukuran Pori Hidroksiapatit Sampel C  (25%:75%) .....	70
Tabel 4.7 Ukuran Pori Hidroksiapatit Sampel D  (50%:50%) .....	71
Tabel 4.8 Ukuran Pori Hidroksiapatit Sampel E  (75%:25%) .....	72
Tabel 4.9 Ukuran Rata-rata Pori Sampel  Hidroksiapatit .....	73
Tabel 4.10 Tingkat Kekasaran Permukaan  Sampel Hidroksiapatit .....	77
Tabel 4.11 Bilangan Gelombang Gugus Fungsi  Sampel Hidroksiapatit .....	80
Tabel 4.7 Vibrasi Gugus Fungsi PO <sub>4</sub> <sup>-3</sup>  Sampel Hidroksiapatit.....	84

## **DAFTAR LAMPIRAAN**

<b>Lampiran</b>	<b>Judul</b>
Lampiran 1 Hasil Uji XRD	
Lampiran 2 Hasil Uji FTIR	
Lampiran 3 Hasil SEM	
Lampiran 4 Hasil Tingkat Kekasaran Permukaan	
	Morfologi Hidroksiapatit
Lampiran 5 Database JCPDS Hidroksiapatit	
Lampiran 6 Database JCPDS Apatit Karbonat Tipe A	
Lampiran 7 Database JCPDS CaCO <sub>3</sub>	
Lampiran 8 Perhitungan Nilai d-spacing	
Lampiran 9 Perhitungan Ukuran Kristal	
	Hidroksiapatit
Lampiran 10 Perhitungan Parameter Kisi	
	Hidroksiapatit
Lampiran 11 Perhitungan Ukuran pori	
Lampiran 12 Perhitungan Tingkat Kekasaran	
	Permukaan
Lampiran 13 Dokumentasi	
Lampiran 14 Surat Penunjukan Pembimbing	

Lampiran 15 Surat Izin Riset 1

Lampiran 16 Surat Izin Riset 2

Lampiran 17 Surat Izin Riset 3

Lampiran 18 Surat Keterangan Riset 1

Lampiran 19 Surat Keterangan Riset 2

Lampiran 20 Surat Keterangan Riset 3

## BAB I

### PENDAHULUAN

#### A. Latar Belakang

Kesehatan gigi di Indonesia diperlukan penanganan yang serius. Penyakit keries gigi dan penyakit predontal dapat menyebakan gigi berlubang atau kehilangan gigi. Hal ini disebabkan oleh pengetahuan tentang pemeliharaan dan kesadaran kebersihan gigi dan mulut yang minimum (Siflia *et al*, 2019) Menurut data Riset Dasar Kesehatan tahun (2013) jumlah penderita masalah gigi sebesar 29,7% sedangkan pada tahun 2017 menjadi sebesar 31.3% (Adiatama *et al*, 2018) dan pada tahun 2018 naik menjadi 57,6% (Napitupulu *et al*, 2019). Permasalahan gigi yang meningkat menimbulkan penggunaan gigi tiruan bertambah. Kerusakan gigi dapat diperbaiki dengan menambahkan atau mengganti jaringan (Ningsih *et al*, 2014).

Penggantian jaringan gigi yang berlubang dan gigi yang hilang dapat menggunakan resin akrilik. Sejak tahun 1940 resin akrilik digunakan untuk menembel gigi berlubang dan sebagai bahan utama pembuatan gigi tiruan (Ramlan, 2015). Resin akrilik berfungsi sebagai

bahan dasar basis gigi tiruan dalam proses rehabilitatif. Resin akrilik memiliki harga yang mahal dan harus di impor (Ismiyati, 2016). Keterbatasan bahan resin akrilik tersebut memicu perkembangan riset di bidang biomaterial terutama digunakan untuk bahan gigi tiruan. Perkembangan ilmu pengetahuan dan teknologi mendorong penelitian untuk berinovasi menghasilkan bahan alternatif pengganti struktur jaringan gigi yang hilang tidak memberikan efek negatif (Abbas, 2011). Bahan alternatif lain yang dapat digunakan untuk menggantikan jaringan gigi yang hilang yaitu biomaterial. Kebutuhan biomaterial cenderung meningkat terutama dalam bidang kedokteran yaitu material biokeramik hidroksiapatit (Balgies, 2011).

Hidroksiapatit merupakan biokeramik yang sering digunakan dalam dunia medis pada bidang perbaikan jaringan tulang dan gigi (Audrya *et al*, 2018). Hidroksiapatit merupakan bahan gigi tiruan karena memiliki kesamaan kimia antara *engineering ceramic* (keramik dari bahan logam) dan gigi manusia (Pratiwi *et al*, 2015). Gigi manusia terdiri dari dua lapisan utama yaitu *email* dan *dentin*. *Email* tersusun dari hidroksiapatit, air, dan zat organik lainnya, sedangkan

*dentin* merupakan zat atar email atau semen dari gigi (Kencana, 2017).

Hidroksiapatit (HA) merupakan salah satu jenis biokeramik yang memiliki peranan penting dalam dunia medis khususnya pada pembuatan gigi tiruan (Muliati, 2016). Selama ini di Indonesia hidroksiapatit yang digunakan di bidang medis masih impor dari luar negeri. Hal ini berdampak pada mahalnya harga hidroksiapatit misal HA 200 Jepang yang banyak diimpor ke Indonesia dengan harga yang mencapai Rp 2.000.000/5 gram (Prabaningtyas, 2015). Pembuatan hidroksiapatit dapat dilakukan dengan menggunakan sumber-sumber kalsium dan sintetik. Senyawa hidroksiapatit dapat diperoleh dari bahan alam yang mengandung  $\text{CaCO}_3$  (Kalsium karbonat) dapat diperoleh dari cangkang kerang darah (*Anandara granosa*), cangkang telur, tulang hewan sapi dan tulang ikan tuna (Pratiwi *et al*, 2015).

Penelitian sintesis senyawa hidroksiapatit dengan menggunakan sumber kalsium alam telah banyak dilakukan peneliti seperti bahan kulit telur (Grgely *et al*, 2009; Hui *et al*, (2010)), bahan batu kapur (Jamuran *et al*, 2009), bahan gipsum (Sedyono *et al*, 2008), bahan

coral laut (Bingo dan Durucan, 2012) dan bahan kulit kerang (Aziz *et al*, 2015a, 2015b; Muntamah, 2011). Cangkang kerang sebagai sumber kalsium karbonat mempunyai pori-pori yang mampu mengabsorpsi zat-zat lain kedalam pori-pori permukaanya. Komposisi cangkang kerang terdiri dari Ca, Mg, Na, P dan mineral lainnya (Rahayu *et al*, 2018). Jenis cangkang kerang darah memiliki komposisi kalsium karbonat sebesar 98% yang dapat dimanfaatkan sebagai bahan baku alami untuk memproduksi hidroksiapatit (Muntamah, 2011).

Sintesis hidroksiapatit dari cangkang kerang telah dilakukan oleh Balgies *et al* (2011) dengan metode presipitasi yang menghasilkan fase kalsium berupa  $\text{CaCO}_3$  dari kerang *ranga*, Arrafiqie *et al* (2016) mensintesis hidroksiapatit dari limbah kerang lokan (*Geloina expansa*) dengan metode hidrotermal yang menghasilkan rasio Ca/P sebesar 1,58, Muntamah (2011) telah sintesis hidroksiapatit dari cangkang kerang darah dengan metode basah dan reaksi kering yag menghasilkan rasio mol Ca/P 1,64 dan 1,84, Bharatham *et al* (2012) sintesis HA dari kerang darah menghasilkan kalsium karbonat ( $\text{CaCO}_3$ ), Rusnah M *et al* (2014) mensintesis hidroksiapatit dari kerang darah sebagai biomaterial untuk Bone Gaft dengan metode

presipitasi *sol gel* yang menghasilkan rasio Ca/P sebesar 1,67.

Hidroksiapatit dapat juga dihasilkan dari sintesis cangkang telur. Kandungan cangkang telur ayam tersusun dari senyawa kalsium karbonat ( $\text{CaCO}_3$ ), kalsium fosfat ( $\text{CaPO}_4$ ), magnesium karbonat ( $\text{MgCO}_3$ ) dan magnesium fosfat ( $\text{MgPO}_4$ ) (Cahyaningrum *et al*, 2017; Yahya *et al*, 2016).

Sintesis HA dari cangkang telur (cangkang telur ayam, bebek dan puyuh) telah dilakukan Putri (2012) diperoleh kandungan hidroksiapatit paling banyak adalah cangkang telur ayam. Tyas (2014) mensintesis cangkang telur ayam ras dan ayam kampung dengan menggunakan metode presipitasi *wase drop* yang menghasilkan rasio Ca/P dibawah 1,67. Arissaputra *et al*, (2018) sintesis HA dari PCC cangkang telur itik dengan metode presipitasi memvariasi rasio Ca/P dan kecepatan pengadukan. Sintesis hidroksiapatit dari cangkang telur ayam kampung dan ayam ras telah dilakukan oleh Cahyati (2014) dengan metode presipitasi *wise drop* diperoleh rasio Ca/P kisaran 1,5-1,62.

Sintesis HA dapat dilakukan dengan menggunakan beberapa metode diantaranya yaitu metode basah, metode kering, presipitas (Mobasherpour, 2009), sol gel (Bezzi, 2002), *mechanochemical* (Rhee, 2002), dan hidrotermal (Sopyan, 2009) Perbedaan metode yang dipakai pada proses sintesis HA akan mengasilkan partikel HA dengan karakter yang berbeda-beda pula (Muhara *et al*, 2015).

Metode hidrotermal sebagai metode pembuatan material didalam air panas yang tekanan tinggi dan temperatur reaksi dapat dinaikkan diatas titik didih air (Yahya *et al*, 2016). Kelebihan dari metode hidrotermal yaitu proses yang sederhana, terjangkau, dapat dilakukan pada temperatur yang rendah dan perolehan hasil yang tinggi yaitu lebih dari 90% (Arrafiqie *et al*, 2016). Sintesis senyawa HA dengan metode hidrotermal diperoleh partikel dengan kristalinitas tinggi, memiliki kemurnian tinggi dan distribusi partikel yang homogen (Harahap *et al*, 2015).

Berdasarkan latar belakang yang telah dijelaskan maka peneliti melakukan penelitian dengan judul analisis kandungan dan struktur hidroksiapatit dari cangkang kerang darah (*Anandara granosa*) dan cangkang telur sebagai bahan gigi tiruan.

## B. Rumusan Masalah

Rumusan masalah dari penelitian ini sebagai berikut :

1. Bagaimana struktur kristal yang terbentuk dalam hidroksiapit yang berasal cangkang kerang darah dan cangkang telur ayam menggunakan XRD ?
2. Bagaimana morfologi hidroksiapit dari cangkang kerang darah dan cangkang telur menggunakan karakterisasi SEM ?
3. Apakah terdapat kandungan hidroksiapit dari cangkang kerang darah (*Anandara granosa*) dan cangkang telur ayam ?

## C. Batasan Masalah

Penelitiann ini terdapat beberapa batasan masalah sebagai berikut :

1. Limbah yang digunakan sebagai bahan dasar biokeramik hidroksiapit yaitu cangkang kerang darah (*Anandara granosa*) dan cangkang telur ayam.
2. Karakterisasi hasil sintesis hidroksiapit dengan XRD, SEM dan FTIR.

3. Hasil sintesis hidroksiapatit dari cangkang kerang darah (*Anandara granosa*) dan cangkang telur ayam sebagai rekomendasi bahan gigi tiruan.

#### **D. Tujuan Penelitian**

Tujuan penelitian ini yaitu untuk mengetahui struktur dan ukuran kristal, morfologi dan kandungan hidroksiapatit yang dihasilkan dari memanfaatkan limbah cangkang kerang darah (*Anandara granosa*) dan cangkang telur ayam sebagai bahan gigi tiruan

#### **E. Manfaat Penelitian**

Manfaat dari penelitian ini yaitu sebagai berikut :

1. Sebagai salah satu alternatif lain untuk mengolah limbah dari cangkang kerang darah (*Anandara granosa*) dan cangkang telur ayam.
2. Sebagai bahan alternatif biokeramik yang ramah lingkungan dalam bidang kesehatan khususnya bahan pembuatan rehabilitasi jaringan tulang dan gigi manusia.
3. Sebagai sumber informasi dibidang medis mengenai senyawa hidroksiapatit dapat diperoleh dari cangkang kerang darah (*Anandara granosa*)

dan cangkang telur ayam dengan metode hidrotermal.

## BAB II

### TINJAUAN PUSTAKA

#### A. Kajian Teori

##### 1. Biokeramik

Biokeramik adalah salah satu jenis material keramik lanjut sebagai produk keramik atau komponen yang digunakan dalam medical dan dental industry, terutama sebagai implant maupun organ pengganti. Biokeramik digunakan didalam tubuh tanpa adanya penolakan dari tubuh karena adanya sifat biokompatibilitas, chemical stability, kepadatan rendah, ketahanan aus yang tinggi dan memiliki komposisi yang sama dengan fasa mineral dari jaringan keras dalam tubuh manusia yaitu tulang dan gigi (Anggraini, 2016). Bahan biokeramik memiliki kontak yang baik dengan jaringan keras seperti tulang atau jaringan ikat lunak seperti tendon, ligamen, dan jaringan otot (Nurdina, 2016).

Macam-macam biokeramik antara lain biokeramik bionert, Biokeramik terserap ulang, biokeramik bioaktif dan biokeramik berpori. Biokeramik bionert merupakan biokeramik tebal yang permukaan tidak terkait, sehingga peletakan secara mekanis. Biokeramik terserap ulang berfungsi untuk resorbsi secara perlahan, sehingga

tergantikan oleh jaringan yang baru. Biokeramik bioaktif memiliki respon dan stabilitas yang tinggi dalam tubuh. Bioaktif berpori memiliki pori-pori di daerah permukaan, sehingga terjadi pertumbuhan dalam jaringan (Herdianto, 2011).

## 2. Hidroksiapatit (HA)

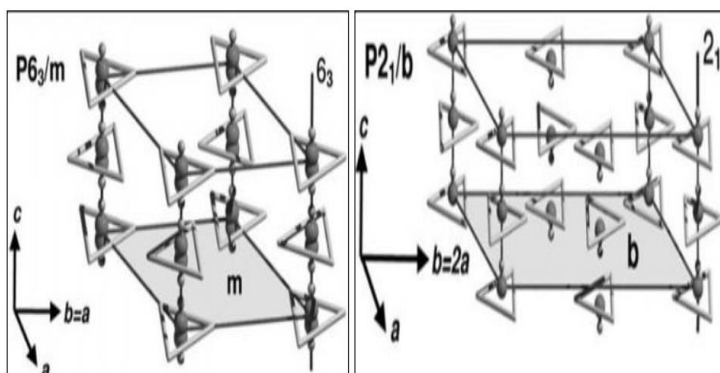
Hidroksiapatit merupakan senyawa yang termasuk dalam kelompok mineral apatit, mineral anorganik yang memiliki kandungan kalsium dan fosfat (Muntamah, 2011). Hidroksiapatit memiliki rumus kimia  $\text{Ca}_{10}(\text{PO}_4)_6(\text{OH})_2$ , pada tahun 1970 telah disintesis dan menjadi biomaterial yang digunakan sekarang dalam pebuatan rehabilitasi jaringan tulang dan gigi (Prabaningtyas, 2015).

Sintesis serbuk hidroksiapatit dipengaruhi oleh kristalinitas dan ukuran kristal, morfologi, dan stoikiometri. Sintesis hidroksiapatit telah menggunakan berbagai sumber Ca dan P antara lain kalsium nitrat  $\text{Ca}(\text{NO}_3)_2$  dengan ammonium hidrogen fosfat  $(\text{NH}_4)_2\text{HPO}_4$  dan kalsium hidroksida  $\text{Ca}(\text{OH})_2$  dengan asam fosfat  $\text{H}_3\text{PO}_4$  (Saleha *et al*, 2015).

Hidroksiapatit memiliki struktur kristal dua jenis yaitu monoklinik dan heksagonal. Struktur monoklinik

terjadi karena OH<sup>-</sup> tersusun dengan urutan OH-OH-OH-OH<sup>-</sup> sehingga parameter kisi b menjadi 2 kali. Struktur heksagonal memiliki struktur yang stabil diantara kalsium yang lain dan didapatkan pada kondisi stoikiometri, jika susunan OH<sup>-</sup> tidak teratur (Muliati, 2016).

Struktur hidroksiapatit heksagonal memiliki parameter kisi  $a = 9,4225 \text{ \AA}$ ,  $c = 6,881 \text{ \AA}$  dan  $\gamma = 120^\circ$  dan *space group*  $p6_3/m$ . Struktur monoklinik hidroksiapatit mempunyai paramter kisi  $a = 9,421 \text{ \AA}$ ,  $b = 2a$ ,  $c = 6,881 \text{ \AA}$  dan  $\gamma = 120^\circ$ , monoklinik *space group*  $P2_1/b$ , Seperti yang terlihat pada pada Gambar 2.1 (Hardiyanti, 2016). Rasio Ca/P dari HA yang terbentuk adalah 1,67 dan densitasnya 3,19 g/ml (Suryadi, 2011).



Gambar 2. 1 Struktur (a) Heksagonal dan (b) Monoklinik (Fatimah, 2016)

Hidroksiapatit dengan ukuran mikro memiliki luas permukaan kecil dan ikatan kristal yang kuat sehingga mudah diterima oleh tubuh, meningkatkan biostabilitas dan kekuatan sedangkan hidroksiapatit berstruktur nano memiliki kerapatan, kakuatan, dan sifat bioaktif yang baik (Prabaningtyas, 2015).

Hidroksiapatit aman sebagai bahan *implat*, regenerasi tulang karena bersifat non toxic, bioaktif, biokompatibilitas dengan jaringan sekitar, dan bersifat osteokonduktif yang sama dengan mineral alami, sehingga dapat digunakan penggantian jaringan keras (Affandi et al, 2015).

Hidroksiaptit memiliki sifat biokompatibel dan bioaktif. Biokompatibel adalah kemampuan material untuk menyesuaikan dengan kecocokan tubuh penerima, sedangkan bioaktif adalah kemampuan material bereaksi dengan jaringan dan menghasilkan ikatan imia yang baik (Purnama et al, 2006).

Hidroksiapatit memiliki sifat mekanik. Sifat mekanik dari hidroksiapatit dapat di lihat pada Tabel 2.1

Tabel 2. 1 Sifat Mekanik Hidroksipapatit (Hidaya, 2012)

<i>Properties</i>	<i>Value</i>
<i>Elastic modulus</i>	40-117 Gpa
<i>Compressive strength</i>	294 Mpa
<i>Bending strength</i>	146 Mpa
<i>Hardness (vickers)</i>	3,43 Gpa
<i>Poisson's ratio</i>	0,27
<i>Density</i>	3,16 g/cm <sup>3</sup>

Faktor yang mempengaruhi sifat mekanik hidroksipapatit adalah bentuk serbuk, pori-pori dan besar butir. Menurut Smith (1996) pori-pori HA letaknya tidak teratur dan tidak saling berhubungan satu sama lain (tidak rekat) menyebabkan pori-pori menjadi faktor yang melemahkan kekuatan bahan HA. Ukuran butir juga menurunkan kekuatan bahan HA dengan mempengaruhi ikatan antar butir (Afrizal, 2016).

Hidroksipapatit sintetik dapat diperoleh tidak hanya melalui reaksi senyawa-senyawa sintetik (Dahlan, 2013). Hidroksipapatit diperoleh dengan mereaksikan senyawa kalsium dari alam sebagai bahan hidroksipapatit seperti memanfaatkan limbah cangkang kerang darah dan cangkang telur.

Sebagaimana Allah SWT senantiasa mengisyaratkan manusia untuk memanfaatkan, mengembangkan,

memperluas ilmu pengetahuan dan mencari apa yang telah Allah karuniakan karena sesungguhnya Allah menciptakan sesuatu dengan tidak sia-sia (dengan satu tujuan). Seperti Firman Allah dalam Surat Al-Qashasah (28) : 77

وَابْتَغْ فِيمَا آتَيْكَ اللَّهُ الْأَدَارَ أَلَّا خِرَةٌ وَلَا تَنْسَ كَصِيبَكَ مِنَ الدُّنْيَا وَأَحْسِنْ كَمَا  
أَحْسَنَ اللَّهُ إِلَيْكَ وَلَا تَنْعِنْ الْفَسَادَ فِي الْأَرْضِ إِنَّ اللَّهَ لَا يُحِبُّ الْمُفْسِدِينَ (77)

Artinya : "Dan carilah pada apa yang telah dianugerahkan Allah kepadamu (kebahagiaan) negeri akhirat, dan janganlah kamu melupakan bahagianmu dari (kenikmatan) duniaawi dan berbuat baiklah (kepada orang lain) sebagaimana Allah telah berbuat baik, kepadamu, dan janganlah kamu berbuat kerusakan di (muka) bumi. Sesungguhnya Allah tidak menyukai orang-orang yang berbuat kerusakan" (QS Al-Qashasah (28): 77)

Penjelasan QS Al-Qashasah (28) : 77 ayat tersebut terdapat kata أَحْسِنْ yang terambil dari kata *ahsana* yang berarti baik. Kata tersebut dalam ayat ini berbentuk perintah dan memerlukan objek, namun objeknya tidak disebutkan sehingga mencakup segalanya baik yang meliputi lingkungan, harta benda, tumbuhan, binatang, manusia (Tafsir Al-Misbah, 2002). Ayat ini menjelaskan

agar menjaga lingkungan dan tidak mencemari lingkungan seperti pencemaran yang disebabkan limbah cangkang kerang dan cangkang telur. Mengantisipasi pencemaran tersebut dapat dilakukan pengelolahan cangkang kerang dan cangkang telur menjadi senyawa hidroksiapatit yang memiliki peran penting di dunia medis.

Sintesis HA dapat menggunakan berbagai metode yaitu :

- a. Metode basah adalah suatu metode yang menggunakan reaksi cairan (dari larutan menjadi padatan).
- b. Metode Kering adalah metode yang menggunakan reaksi padat (dari padat menjadi padatan) dan menghasilkan hidroksiapatit dengan butir halus dan derajat kristalinitas yang tinggi.
- c. Metode hidrotermal adalah suatu metode berasal dari larutan menjadi padatan dan menghasilkan hidroksiapatit dengan kristal tunggal.
- d. Metode alkoksida adalah metode dengan reaksi hidrolisa dari larutan menjadi padatan yang menghasilkan hidroksiapatit memiliki derajat kristalinitas tinggi.

- e. Metode fluks adalah metode dengan peleburan garam (lelehan menjadi padatan) dan menghasilkan hidroksiapatit berkristal tunggal yang mengandung unsur lain seperti boron, apatit, flourapatit dan kloroa (Muntamah, 2011).

### 3. Metode Hidrotermal

Metode hidrotermal merupakan salah satu metode yang digunakan dalam sitesis hidroksiapatit. Metode hidrotermal adalah suatu metode yang memineralisasi dibawah tekanan dan temperatur tinggi yang dapat merubah larutan menjadi padatan (Herawaty, 2014). Metode ini berupa reaksi kimia yang bersifat homogen dan heterogen dengan melibatkan pelerut. Proses hidrotermal krisat tunggal berbentuk padatan, partikel yang dihasilkan murni (Fa'ida, 2014).

Kelebihan dari metode hidrotermal yaitu dapat mempercepat interaksi antara bahan padat dan cair, fasa yang terbentuk murni, homogen, daya larut yang meningkat, memiliki viskositas yang rendah (Hardiyanti, 2016). Selain itu kelebihan lain metode ini adalah serbuk yang dihasilkan memiliki kemurnian tinggi sehingga kristalnya tidak tercampur unsur lain dan efisiensi transformasi energi tinggi (Permada, 2013).

#### 4. Kerang Darah (*Anandara granosa*)

Kerang darah banyak ditemukan dikawasan Asia Tenggara dan Asia Timur (Nagir, 2013), spesies kerang darah dapat hidup di laut daerah litorial pada pantai berpasir dengan kedalaman 10-30 m atau dalam lumpur (Akhmad, 2017). Kerang darah sebagai *cockle* yang mempunyai belahan cangkang melekat satu sama lain pada batas cangkang. Kerang darah berpigmen darah merah atau hemoglobin (*bloody cockles*) sehingga dapat hidup dalam kondisi kadar oksigen relatif rendah dan setelah dipanen masih hidup walaupun tanpa air (Anggraini, 2016). *Anandara granosa* juga banyak dimanfaatkan sebagai makanan pengganti lauk (Nagir, 2013). Kerang darah dapat dilihat pada Gambar 2.2.



Gambar 2. 2 Kerang Darah (Dokumentasi pribadi)

Klasifikasi dari kerang darah (*Anandara granosa*) adalah sebagai berikut (AnggrainI, 2016):

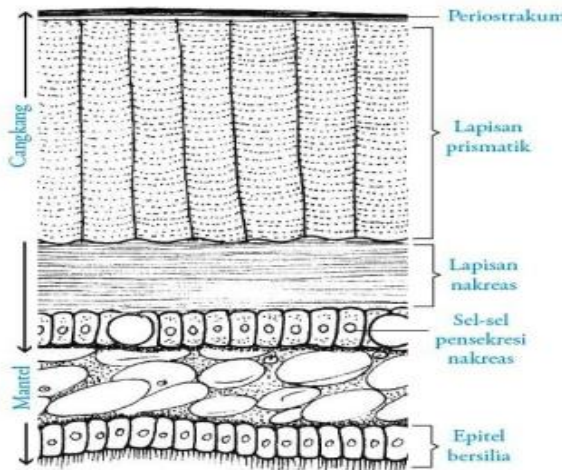
Kingdom	: <i>Animalia</i>
Filum	: <i>Mollusca</i>
Kelas	: <i>Bivalvia</i>
Subkelas	: <i>Lamellibranchia</i>
Ordo	: <i>Taxodonta</i>
Famili	: <i>Arcidae</i>
Genus	: <i>Anandara</i>
Spesies	: <i>Anandara Granosa L.</i>

Famili Arcidae memiliki bentuk cangkang segitiga, persegi panjang atau oval, memiliki rib-rib (penebalan permukaan cangkang) dari pusat umbo sampai tepi cangkang. *A.granosa* memiliki ciri-ciri antara lain tubuh kerang tebal dan menggembung, jumlah alur antara 18-20 buah dengan rusuk yang kokoh, kedua cangkang equilateral, umbo di tengah antara bagian posterior dan anterior. Panjang kerang darah berkisar (4-9) cm (Sari, 2018).

Kerang darah termasuk dalam filum *mollusca* dan kelas *pelecypoda/bivalvia*. Kelas *bivalvia* atau *pelecypoda* mempunyai karakteristik khas yaitu tubuh pipih leteral dan seluruh tubuhnya tertutup dua keping cangkang (Sari, 2018), sehingga cangkang kerang ini disebut

tangkup dua buah (valve) (Akhmad, 2017). Kedua cangkang tersebut menggabung pada bagian dorsal oleh *hinge ligament* yang berupa pita elastis yang terdiridari bahan organik (Sari, 2018).

Keping ditautkan oleh otot adduktor posterior dan adduktor anterior sehingga dapat terbuka dengan adanya *ligament* dan tertututup karena kontraksi dari otot adduktor. Bagian lunak dari tubuh kerang darah tertutup oleh dua belahan yang disebut mantel yang terletak antara tubuh dan cangkang (Nagir, 2013).



Gambar 2. 3 Lapisan Dalam Cangkang Kerang Darah  
(Anggraini, 2016)

Lapisan cangkang kerang darah menurut Anggraini (2016) terdiri 3 lapisan yaitu periostrakum, prismatic, dan nakreas, seperti yang terlihat pada Gambar 2.3 :

- a. Periosmatik merupakan lapisan pada bagian terluar dari bahan kitin berfungsi sebagai pelindung.
- b. Primatik merupakan lapisan pada bagian tengah yang terbuat dari kalsium karbonat.
- c. Nakreas merupakan lapisan dalam yang terbuat dari kristal-kristal kalsium karbonat yang dihasilkan oleh seluruh permukaan mantel, sedangkan lapisan periostrakum dari lapisan prismatik dihasilkan oleh bagian tepi mantel. Lapisan ini disebut juga lapisan mutiara.

Cangkang kerang darah mengandung beberapa senyawa kimia penting yang dapat digunakan oleh manusia. Sebagaimana firman Allah dalam Al-Quran Surah Al-Sad (38) : 27

وَمَا حَلَقْنَا السَّمَاءَ وَالْأَرْضَ وَمَا بَيْتُهُمَا بِنِطْلَةٍ ذَلِكُ ظُنُونُ الَّذِينَ كَفَرُوا فَوْيِلٌ لِّلَّذِينَ كَفَرُوا مِنَ النَّارِ

Artinya : “Dan kami tidak menciptakan langit dan bumi dan apa yang ada antara keduanya tanpa hikmah. Yang demikian itu adalah anggapan orang-orang kafir, Maka celakalah orang-orang kafir itu karena mereka masuk neraka” (Q.S Al-Sad (38) : 27)

Berdasarkan ayat Q.S Al-Sad (38) : 27 menyatakan bahwa penciptaan Allah tidak ada yang sia-sia meskipun

itu kerang darah yang didalam cangkang mengandung  $\text{CaCO}_3$ . Dari kandungan senyawa kimia tersebut maka cangkang kerang darah dapat dimanfaatkan sebagai sumber kalsium dalam sintesis hidroksiapatit.

Cangkang kerang darah memiliki senyawa kimia, dapat dilihat pada Tabel 2.2.

Tabel 2. 2 Kandungan Cangkang kerang darah (Khoirudin *et al*, 2015)

Komponen	Kandungan (% Berat)
$\text{CaCO}_3$	98,7
Na	0,9
P	0,02
Mg	0,05
Fe, Cu, Ni, B, Zn, Si	0,2

Kandungan kalsium karbonat dan karbon dari cangkang kerang lebih dari 98,7 % dari total kandungan mineral. Kalsium merupakan mineral penting untuk pertumbuhan tulang dan gigi dengan proses remineralisasi gigi.

## 5. Cangkang Telur Ayam

Cangkang telur (Gambar 2.4) merupakan lapisan terluar dari bagian telur yang berfungsi untuk melindungi semua bagian dari luka atau kerusakan.

Cangkang telur ayam memiliki berat 9-12% dari total berat telur. Warna cangkang telur ayam beraneka ragam yaitu mulai putih kekuningan sampai coklat. Perbedaan warna cangkang karena ketebalan dari cangkang, cangkang yang berwarna coklat lebih tebal daripada yang berwarna putih (Husna, 2014).



Gambar 2. 4 Cangkang Telur (Dokumetasi Pribadi)

Cangkang telur terdiri dari tiga lapisan yaitu lapisan kutikula, lapisan *sponge* (busa) dan lapisan lamellar :

- a. Lapisan kutikula pada permukaan cangkang terlapis oleh protein transparan dan tidak ada pori-pori yang terbuka serta dapat dilalui gas sehingga uap dan gas CO<sub>2</sub> dapat keluar.
- b. Lapisan sponge (busa) membentuk matriks yang disusun oleh serat-serat protein yang mengikat

kristal kalsium karbonat ( $\text{CaCO}_3$ ). Lapisan ini bagian terbesar dari cangkang telur yang terdiri dari kalsium karbonat, kalsium fosfat, magnesium karbonat dan magnesium fosfat.

- c. Lapisan lamellar (mamillary) terdiri dari lapisan yang berbentuk kerucut, tipis tersusun dari protein dan mineral. Lapisan lamellar pada bagian bawahnya terdapat lapisan membran (Membran shell) dalam dan membran luar yang mirip dinding sebagai penghalang bakteri tidak masuk dalam telur (Husna, 2014).

Komposisi utama dalam cangkang telur dapat dilihat pada Tabel 2.3

Tabel 2. 3 Kandungan Cangkang Telur Ayam (Saleha, 2015)

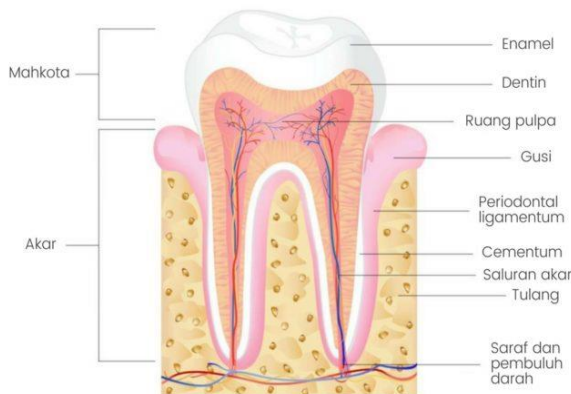
Komponen	Berat (%)
Kalsium karbonat ( $\text{CaCO}_3$ )	94
Magnesium Karbonat ( $\text{MgO}_3$ )	1
Kalsium Fosfat ( $\text{CaPO}_4$ )	1
Bahan Organik	4

Berdasarkan hasil penelitian cangkang telur ayam mengandung kalsium sebesar  $401 \pm 7,2$  gram atau sekitar 39 % kalsium karbonat (Syam, 2016). Kandungan kalsium karbonat dari cangkang telur dapat

digunakan sebagai sumber kalsium yang efektif untuk metabolisme tulang dan gigi.

## 6. Gigi

Gigi adalah bagian keras yang terpadu didalam mulut serta sebagai alat pencernaan dalam proses pencernaan makanan. Fungsi utama gigi yaitu untuk merobek, menghancurkan dalam proses penngunyahan makanan(Fitriana, 2012).



Gambar 2. 5 Anatomi gigi manusia (Estini, 2017)

Secara mikroskopis struktur gigi manusia dapat dilihat pada Gambaee 2.5, yang terdiri dari:

- Jaringan keras adalah jaringan yang tersusun dari bahan kapur. Jaringan ini terdiri dari enamel, *dentin* dan sementum. Jaringan Email dan sementum

- sebagai pelindung dentin. Jaringan dentin merupakan bentuk pokok dari gigi.
- b. Jaringan lunak adalah jaringan pulpa yang berada didalam rongga pulpa sampai foramen apikal yang mengandung bahan perekat, sel syaraf, jaringan limfe, jaringan ikat dan pembuluh darah arteri dan vena.
  - c. Rongga pulpa gigi terdiri dari tanduk pulpa, ruang pulpa, saluran pulpa, foramen apikal (Fitriana, 2012).

Enamel adalah jaringan terkeras dan kuat yang mengalami mineralisasi tinggi di dalam tubuh. Enamel sebagai pelindung bagi gigi terhadap rangsangan saat proses pengunyahan makanan. Jaringan ini berasal dari sel ameloblast dari lapisan embrionik dikenal dengan lapisan ektoderm yang banyak mengandung kalsium (Sebon, 2016).

Kandungan enamel terdiri dari bahan anorganik 92% berupa garam hidroksiapatit dan 8% bahan organik yang terdiri dari karbonat (4%), sodium (0,6%), magnesium (1,2%), klorida (0,2%) dan flourida (0,01%) yang terdapat dipermukaan enamel (Kencana, 2017). Enamel tersusun dari prisma enamel yang saling berikatan dan tersusun dengan rapi yang berisikan

kristal hidroksiapatit. Hidroksiapatit pada enamel berbentuk seperti batang yang dinamakan prisma enamel sedangkan bagian luar enamel bentuk prisma lebih teratur dengan diameter (4-5)  $\mu\text{m}$ , dari dentin hingga permukaan enamel. Kristal hidroksiapatit berbentuk heksagonal (Fitriana, 2012).

Dentin adalah bagian tertebal dari jaringan gigi yang mempunyai sifat menyerupai tulang. Dentin bagian terluas dari struktur gigi dan sangat peka terhadap sentuhan dan stimulan. Dentin rentang mengalami kerusakan tetapi tetap berfungsi sebagai lapisan protektif/ pelindung dan penyokong mahkota gigi. Pipa dentin yang merupakan kanal berukuran kecil yang menyebar ke luar melalui dentin dari lubang pulpa pada batas semen luar (Sadewi, 2015).

Pulpa gigi merupakan jaringan lunak, berisikan syaraf dan pembuluh darah. Pulpa peka terhadap stimulasi zat kimia dan termis. Pulpa dibungkus oleh dinding yang keras oleh karena itu tidak terdapat ruang yang cukup untuk membengkak jika terjadi peradangan (Sihombing, 2009).

*Cementum* merupakan bagian gigi yang menyerupai tulang yang berfungsi sebagai perekat serabut ligament periodontal sehingga gigi untuk tetap

berhubungan dengan jaringan sekitarnya. *Cementum* terdiri dari matrik serat-serat kolagen, glikoprotein serta mukopoliskarida yang mengapur. Kandungan zat organik dalam cementum sekitar 45-50 % (Estini, 2017).

Tulang alveolar merupakan bagian dari tulang rahang atas dan rahang bawah yang fungsi sebagai penyangga dan tempat melekatnya soket gigi/alveoli. Tulang alveolar terbentuk ketika gigi erupsi sehingga menyediakan perekatan pada akar gigi (Sadewi, 2015).

Enamel gigi tidak bisa memperbaiki sendiri apabila mengalami kerusakan. Kerusakan enamel ditandai dengan karbonasi yang tinggi dan kandungan flour yang rendah serta pH dibawah 5,5. Semakin rendah pH maka ion hidrogen akan semakin meningkat sehingga merusak ikatan hidroksiapatit pada gigi dan menyebabkan kristal enamel larut (Akhmad, 2017). Kristal yang larut pada permukaan gigi dapat mengalami kehilangan mineral yang dinamakan demineralisasi. Hal ini terjadi melalui perpindahan molekul yang larut dari enamel ke saliva sehingga gigi kehilangan mineral anorganik penyusun hidroksiapatit. Hidroksiapatit dapat tersusun kembali dengan cara remineralisasi. Remineralisasi merupakan suatu proses pembentukan kembali zat-zat anorganik ke dalam kristal hidroksiapatit. Demineralisasi dan

remineralisasi proses alami dalam gigi yang bersifat ireversibel dan memiliki pengaruh pada kekerasan dan kekuatan dari gigi (Kencana, 2017).

## 7. XRD (*X-Ray Diffraction*)

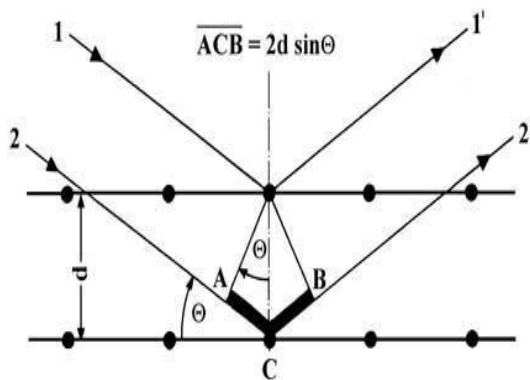
XRD (*X-Ray Diffraction*) merupakan metode analisis untuk mengidentifikasi suatu material kristal maupun non kristal yang terkandung pada suatu bahan dengan menggunakan sinar-X (Nurdina, 2016).

Prinsip kerja XRD adalah sinar-X dihasilkan dari tabung yang berisi katoda yang filamen dipanaskan, sehingga menghasilkan elektron. Perbedaan tegangan menyebabkan percepatan elektron akan menembaki objek. Ketika elektron memiliki energi tinggi dan menabrak elektron dalam objek sehingga dihasilkan pancaran sinar-X. Detektor merekam dan memproses sinyal sinar-X dan mengolahnya dalam bentuk grafik (Astuti, 2016).

Data yang didapatkan dari pengujian XRD berupa sudut hamburan (sudut *Bragg*). Sudut pola difraksi dipengaruhi lebar calah kisi sedangkan intensitas cahaya difraksi bergantung pada banyaknya kisi kristal yang mempunyai orientasi yang sama. XRD berfungsi untuk menentukan sistem kristal, parameter kisi, derajat

kristalinitas, dan fasa yang terbentuk pada sampel (Hardiyanti, 2016).

Hukum Bragg “ apabila seberkas sinar-X mengenai suatu bahan akan didifraksikan oleh atom pada kristal tersebut. Difraksi sinar-X dapat dilihat pada Gambar 2.6. Sudut diraksi bergantung pada panjang gelombang  $\lambda$  berkas sinar-X dan jarak antar bidang (d) (Ulfah, 2016).



Gambar 2. 6 Difraksi sinar X (Sandewi, 2017)

Difraksi sinar-X kisi kristal adalah persamaan hukum Bragg:

$$n \cdot \lambda = 2 \cdot d \cdot \sin \theta, \quad n = 1, 2, \dots$$

Dengan :

$n$  = Orde difraksi

$\lambda$  = Panjang gelombang sinar X

$d$  = Jarak antar bidang kisi

$\theta$  = Sudut difraksi

Berdasarkan persamaan Bragg, ketika seberkas sinar-X dijatuhkan pada sampel kristal maka bidang kristal tersebut akan membiaskan sinar-X dengan panjang gelombang sama dengan jarak antar kisi pada kristal tersebut. Sinar yang dibiaskan ditangkap oleh detektor dan diterjemahkan sebagai puncak difraksi (Sandewi, 2017).

Persamaan parameter kisi struktur kristal heksagonal (Suryanarayana, 1998):

$$\frac{1}{d^2} = \frac{4}{3} \left( \frac{h^2 + hk + k^2}{a^2} \right) + \frac{l^2}{c^2}$$

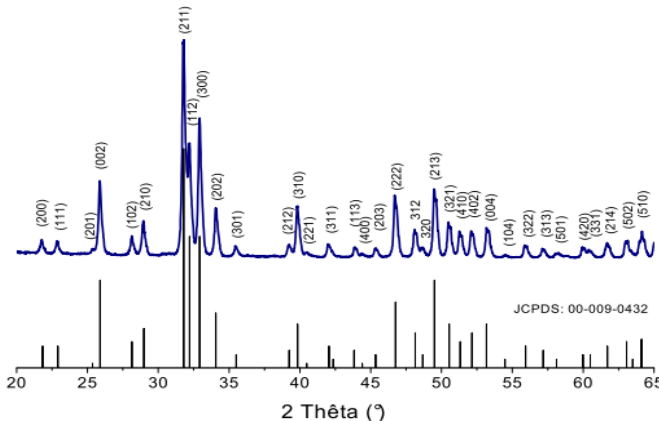
Keterangan :

$d$  = Jarak antar bidang kisi

$h k l$  = Index Miller

$a$  dan  $c$  = Parameter kisi

Hidroksiapatit merupakan material yang memiliki sistem kristal heksagonal. Berdasarkan data JCPDS 9-0432 menurut Park dan Kim (2008) hidroksiapatit memiliki nilai  $2\theta$  diantaranya yaitu:  $25,9^\circ$ ;  $29,0^\circ$ ;  $31,8^\circ$ ;  $32,2^\circ$ ;  $32,9^\circ$ ;  $34,0^\circ$ ;  $46,7^\circ$ ;  $49,5^\circ$ ;  $50,5^\circ$ ; dan  $53,1^\circ$  (Ningsih, 2014). Fasa hidroksiapatit menurut Walendra (2012) puncak-puncak HA intensitas tertinggi berada pada sudut  $2\theta$  :  $25,88^\circ$ ;  $31,78^\circ$  dan  $32,94^\circ$ . (Gambar 2.7).



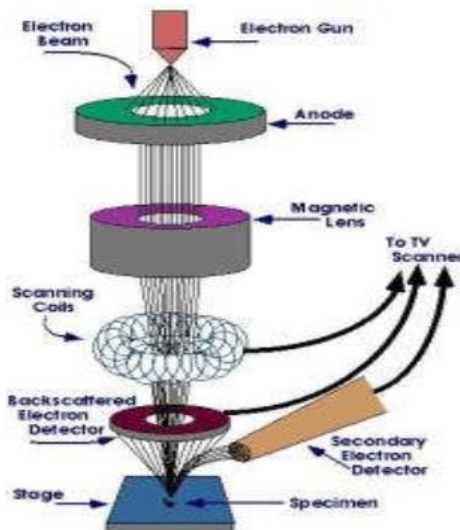
Gambar 2. 7 Pola XRD Hidroksiapatit (Fajrin, 2014)

## 8. SEM (*Scanning Electron Microscopy*)

SEM adalah salah satu jenis mikroskop elektron yang menghasilkan gambar permukaan sampel dengan resolusi tinggi (Sandewi, 2017). SEM menghasilkan citra permukaan tajam dengan syarat permukaan benda harus bersifat sebagai pemantul elektron atau elektron sekunder dapat dilepaskan ketika berkas elektron ditembak (mikrajuddin, 2010).

Gambar permukaan yang didapatkan berupa gambar topografi dengan tonjolan dan lekukan permukaan. Intensitas gambar SEM bergantung pada nomor atom unsur yang terdapat dipermukaan spesimen. Hal tersebut akan memperoleh gambar

dengan perbedaan unsur kimia. Warna lebih terang menandakan unsur kimia yang nomornya lebih tinggi (Kartikasari, 2014). Skema instrumen SEM dapat di lihat pada Gambar 2.8.



Gambar 2.8 Skema Mesin SEM (Sandewi, 2017)

Prinsip kerja SEM yaitu elektron mengenai kesemua permukaan sampel titik demi titik sampai tidak ada yang terlewatkhan dan membentuk garis demi garis. Tiap sapuan elektron ke permukaan menghasilkan elektron sekunder yang ditangkap oleh detektor diolah dan ditampilkan oleh layar CRT (Agus Setiabudi dkk, 2012).

Elektron yang berenergi tinggi menumbuk spesimen maka akan dihamburkan oleh atom dari

spesimen. Hamburan elektron mengakibatkan arah rambatan elektron berubah di bawah permukaan spesimen. Interaksi antara berkas elektron hanya terjadi pada volum tertentu dibawah permukaan spesimen, interaksi tersebut dihasilkan disebut *Secandary Electron* (SE) dan *Backscattered Electron* (BE) yang nantinya dipergunakan sebagai sumber sinyal untuk membentuk gambar (Suryadi,2011). Gambar SEM mempunyai bar skala dengan panjang yang telah ditentukan sehingga menjadi patokan dalam menentukan ukuran partikel (Mikrojuddin, 2010).

## 9. FTIR (*Fourier Transform Infra Red*)

Spektroskopi FTIR merupakan salah satu metode yang umum digunakan dalam menganalisis material dengan teknik absorbsi yang berdasarkan pada vibrasi molekul-molekul menyerap radiasi *infrared* (Astuti, 2016). Spektrofometri inframerah (IR) instrumen yang digunakan untuk menganalisis gugus fungsi suatu material. Spektra IR dapat dihasilkan dengan mengukur absorbsi radiasi, reflaksi atau emisi di daerah IR (Nurdina, 2016).

FTIR menggunakan interferometer michelson sebagai pengganti monokromator yang terletak didepan

monokromator. Interferometer ini memberikan sinyal kepada detektor sesuai dengan frekuensi vibrasi molekul yang berupa interferogram (Ulfah, 2016). FTIR menggunakan sistem optik dengan leser sebagai sumber radiasi yang diinterferensikan oleh radiasi inframerah agar sinyal radiasi yang diterima oleh detektor memiliki kualitas yang baik dan bersifat utuh (Mutmainnah, 2016).

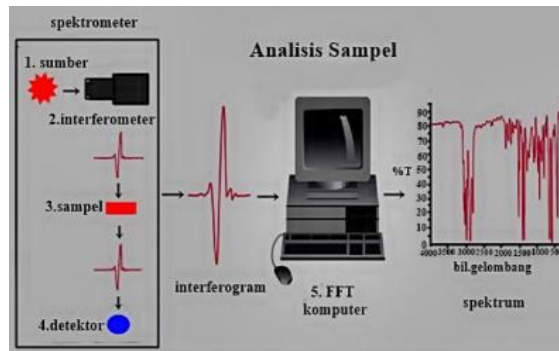
Prinsip kerja FTIR berupa *infrared* yang dilewatikan ke calah sampel untuk mengontrol jumlah energi sampai dalam sampel. Sebagian *infrared* diserap oleh sampel dan lainnya ditransmisikan melalui permukaan sampel sehingga sinar *infrared* lolos ke detektor dan sinyal yang terukur kemudian dikirim kekomputer (Nurdina, 2016). Analisis FTIR dengan melihat spektrum dengan puncak-puncak spesifik yang menandakan jenis gugus fungsional yang dimiliki oleh senyawa tersebut (Ulfah, 2016).

Bilangan gelombang pengukuran biasanya berada pada IR sedang ( $400\text{-}4500\text{ cm}^{-1}$ ). Bilangan gelombang dari gugus fungsi hidroksipatit dapat dilihat pada Tabel 2.5.

Tabel 2. 4 Bilangan Gelombang Gugus Hidroksiapatit (Mutmainnah, 2016).

Gugus	Bilangan Gelombang ( $\text{cm}^{-1}$ )
OH	3800 - 2700
PO <sub>4</sub>	1100 - 500
CO <sub>3</sub>	1700 - 1400

Gugus fungsi OH pada bilangan gelombang 3800-2700  $\text{cm}^{-1}$ . Keberadaan OH ditandai dengan pita yang lebar. Gugus fungsi CO<sub>3</sub> terdapat pada bilangan gelombang 1545  $\text{cm}^{-1}$ , 1450  $\text{cm}^{-1}$  dan 890  $\text{cm}^{-1}$  (Fa'ida, 2014). Spektrum PO<sub>4</sub> berada bilangan gelombang 1100-500  $\text{cm}^{-1}$ . Gugus PO<sub>4</sub> mempunyai model vibrasi 4 jenis diantaranya yaitu vibrasi *stretching* (V<sub>1</sub>) pada panjang gelombang kisaran 960  $\text{cm}^{-1}$ , vibrasi *bending* (V<sub>2</sub>) pada bilangan gelombang 363  $\text{cm}^{-1}$ , vibrasi *asimetri stretching* (V<sub>3</sub>) berada dibilangan gelombang 1030-1090  $\text{cm}^{-1}$ , dan vibrasi *asimetri bending* (V<sub>4</sub>) di bilangan gelombang 562-603  $\text{cm}^{-1}$  (Nurrohmah, 2013). Apatit karbonat tipe A pada bilangan gelombang 1545  $\text{cm}^{-1}$ , 1450  $\text{cm}^{-1}$ , 890  $\text{cm}^{-1}$  dan kristal apatit dengan tipe B memiliki bilangan gelombang sekitar 1456  $\text{cm}^{-1}$ , 1412  $\text{cm}^{-1}$ , dan 873  $\text{cm}^{-1}$  (Walendra, 2012). Skema instrumen FTIR dapat di lihat pada Gambar 2.9



Gambar 2. 9 Skema Instrumen FTIR (Hardiyanti, 2016)

## B. Kajian Pustaka

Penelitian yang dilakukan oleh Khoirudin (2015) tentang sintesis dan karakterisasi hidroksiapati dari kulit kerang darah (*Anandara granosa*) dengan proses hidrotermal. Hasil penelitian yang dilakukan terdapat gugus fungsi  $\text{PO}_4^{3-}$  dan  $\text{OH}^-$  dari ukuran partikel 200 mesh dengan lama reaksi 24 jam. Puncak pola difraksi hidroksiapatit pada sudut  $2\theta$  adalah  $10.8322^\circ$ ,  $21.7774^\circ$ ,  $28.1308^\circ$ ,  $34.1252^\circ$  dengan standar JCPDS. Bentuk kristalnya heksagonal serta ukuran morfologi kisaran  $10 \mu\text{m} - 100 \mu\text{m}$  dengan rasio Ca/P 1.99. Persamaan penelitian ini dengan penelitian yang akan dilakukan yaitu sama-sama memanfaatkan cangkang kerang darah sebagai sumber kalsium dalam sintesis hidroksiapatit, sedangkan perbedaan terdapat pada variasi dan bahan lain sumber kalsium dalam penelitian ini. Penelitian

tersebut memvariasi ukuran partikel (60,100, 200 mesh) dan lama waktu reaksi (16, 20, 24 jam), sedangkan penelitian ini memvariasi komposisi dan cangkang telur sebagai sumber kalsium.

Pembuatan hidroksiapatit berbasis cangkang telur dilakukan Putri, (2012) hasil penelitian menjelaskan diperoleh kadar kalsium paling banyak berasal dari cangkang telur ayam yaitu 70,84%, sedangkan kalsium cangkang telur puyuh 55,46%, dan cangkang telur bebek 53,60%. Hidroksiapatit yang disintesis mempunyai nilai parameter kisi yang mendekati data JCPDS, ukuran kristal terbesar pada kalsium cangkang telur pada bidang [0 0 2] sebesar 0,63 nm, dan bidang [3 0 0] sebesar 51,78 nm. Kandungan gugus yang ada dalam hidroksiapatit berupa OH<sup>-</sup>, PO<sub>4</sub><sup>3-</sup>, dan CO<sub>3</sub><sup>2-</sup>. Munculnya gugus CO<sub>3</sub><sup>2-</sup> karena adanya apatit karbonat tipe-B pada sempel. Persamaan penelitian ini dengan penelitian yang akan dilakukan yaitu sama-sama mengguakan cangkang telur ayam dalam sintesis hidroksiapatit, sedangkan perbedaan pada metode yang digunakan. Penelitian tersebut menggunakan metode presipitasi *single drop* dan *wise drop*, sedangkan sedangkan penelitian ini akan menggunakan metode hidrotermal.

Penelitian kulit kerang darah sebagai hidroksiapati dengan metode hidrotermal suhu rendah telah dilakukan Muhara *et al* (2015) dengan hasil penelitian bahwa semakin tinggi suhu kalsinasi maka semakin puncak-puncak tertinggi hidroksiapatit akan terbentuk serta terdapat senyawa fosfat lainnya dan ukuran kristal akan semakin besar dari suhu ( $700 - 1000$ )°C adalah 52.87, 52.17, 51.32, 50.09 nm. Pada suhu 1000°C menunjukkan fasa hidroksiapatit dan senyawa fosfat yaitu trikalsium fosfat. Semakin tinggi suhu dan waktu kalsinasi maka kristal hidroksiapatit yang terbentuk akan semakin baik dan ukuran partikel samakin seragam. Persamaan penelitian ini yaitu sama-sama menggunakan cangkang kerang darah dalam sintesis hidroksiapatit, sedangkan perbedaannya pada variasi dalam penelitian. Penelitian tersebut memvariasi suhu kalsinasi ( $700 - 1000$ )°C, sedangkan penelitian ini peneliti akan menggunakan suhu kalsinasi 900°C.

Penelitian tentang karakterisasi nanohidroksiapatit dari cangkang telur menggunakan uji XRD dan SEM dilakukan Sandewi (2017) dengan menggunakan cangkang telur ayam dan cangkang telur bebek. Hasil dari penelitian ini yaitu diperoleh fasa hidroksiapatit dari cangkang telur ayam pada sudut  $32,16^\circ$ ,  $33,14^\circ$ , dan

49,7076° dengan ukuran kristal yaitu 10,48 nm hingga 14,63 nm. Sedangkan fasa hidroksiapatit cangkang telur bebek terdapat pada sudut 32,1880°, 34,2403°, dan 49,6623° dengan ukuran kristal yaitu 11,408 nm - 16,7624 nm. Hidroksiapatit cangkang telur ayam memiliki presentase 77,5% sedangkan cangkang telur bebek memiliki presentase sebesar 87,5%. Hasil karakterisasi SEM pada cangkang telur ayam ukuran partikel 500 nm -5  $\mu\text{m}$ , sedangkan cangkang telur bebek 300 nm hingga 1  $\mu\text{m}$ . Persamaan penelitian ini yaitu sama-sama menggunakan cangkang telur ayam dalam sintesis hidroksiapatit, sedangkan perbedaan dengan penelitian tersebut pada metode sintesis. Penelitian tersebut menggunakan metode presipitasi dan metode ultrasonikasi, sedangkan penelitian yang akan dilakukan menggunakan metode hidrotermal dalam sintesis hidroksiapatit.

Observasi morfologi dan komposisi hidrokiapatit telah dilakukan Cahyati (2014) yang berasal dari cangkang telur ayam kampung dan ayam ras. Berdasarkan hasil penelitian diperoleh serbuk dari hasil kalsinasi menunjukkan adanya sebuk CaO, namun masih terdapat unsur C, Mg, dan P. Struktur morfologi berbentuk matrik seragam serta kandungan kalsium sampel cangkang ayam kampung dan ayam ras sebesar 64,73% dan 71,12%.

Gugus fungsi yang terdapat didalam hidroksiapatit ditunjukkan dengan adanya gugus  $\text{OH}^-$ ,  $\text{PO}_3^{4-}$ . Struktur partikel kecil dan seragam dengan ukuran yang berbeda dengan panjang partikel 0,34-0,38 dan lebar partikel 0,13-0,17. Komposisi rasio Ca/P dari sampel hidroksiapatit didapatkan 1,5-1,62, hasil tersebut sudah mendekati rasio Ca/P hidroksiapatit. Persamaan penelitian ini terdapat pada sumber fosfat dari  $(\text{NH}_4)_2\text{HPO}_4$ , sedangkan perbedaan dengan penelitian tersebut pada sumber kalsium. Penelitian tersebut sumber kalsium dari cangkang telur ayam ras dan cangkang telur kampung.

Penelitian tentang pemanfaatan limbah cangkang kerang hijau untuk sintesis dan pencirian hidroksiapatit dengan metode kering dilakukan oleh Siswanto (2013).  $\text{CaO}$  dan  $\text{Ca}(\text{OH})_2$  dipreparasi dengan suhu 900°C dan 1100°C selama 2 jam. Dari hasil penelitian yang telah dilakukan Cangkang kerang hijau dilaksinasi dengan suhu 1100°C selama 18 jam diperoleh  $\text{CaO}$  dengan derajat kristalinitas sebesar 97,83%,  $\text{CaO}$  yang berkontak dengan udara 1 malam diperoleh  $\text{Ca}(\text{OH})_2$  sebesar 85,45%. Terbentuk fase kalsium fosfat dan fase hidroksiapatit dengan ditunjukkan keberadaan gugus fungsi  $\text{PO}_4^{3-}$  dan  $\text{OH}^-$  serta analisis SEM ukuran butir seragam. Hal tersebut dapat diaplikasikan sebagai penambalan gigi berlubang.

Persamaan penelitian ini yaitu sama-sama mengkarakterisasi hidroksiapatit dengan XRD, SEM dan FTIR, sedangkan perbedaan dengan penelitian tersebut pada sumber kalsium. Penelitian tersebut sumber kalsium berasal dari cangkang kerang hijau, sedangkan penelitian yang akan dilakukan ini cangkang kerang darah dan cangkang telur sebagai sumber kalsium dalam sintesis.

### C. Kerangka Berpikir

Penelitian ini, bahan penyusun utama spesimen yaitu bahan alam yang mengandung kalsium. Penggunaan kalsium dari alam sebagai bahan biokeramik karena memiliki fungsi untuk memperbaiki dan merekonstruksi bagian tubuh yang terkena penyakit atau cacat. Kalsium dari alam dapat diperoleh dari cangkang kerang, tulang sapi, tulang ikan, cangkang telur dan sebagainya. Gigi manusia memiliki kandungan hidroksiapatit yang bersifat biokompatibel dan bioaktif. Kalsium dari alam memiliki kelebihan yaitu aman terhadap lingkungan, mudah didapatkan, harganya relatif murah dan mudah didaur ulang.

Hidroksiapatit yang dibuat merupakan biokimia bioaktif, pemilihan tipe ini dengan tujuan untuk terbentuk ikatan antara jaringan dan bahan tersebut serta dasar

material yang menyerupai inorganik, dan dapat larut sehingga memberikan ikatan secara langsung. Hidroksiapatit penelitian ini berasal dari cangkang kerang darah dan cangkang telur ayam, yang memiliki kandungan  $\text{CaCO}_3$ (*Calcium karbonat*).

Penelitian ini menvariasi komposisi dari cangkang kerang darah (CK) dan cangkang telur ayam (CT) terdiri dari variasi komposisi sampel A (CK 100%), sampel B (100% CT), sampel C (25% CK : 75% CT), sampel D (50% CK : 50% CT), dan sampel E (75% CK : 25% CT).

## **BAB III**

### **METODOLOGI PENELITIAN**

#### **A. Jenis Dan Desain Penelitian**

Penelitian ini merupakan penelitian eksperimen. Rancangan eksperimen dari penelitian ini terdiri dari :

- a. Proses sintesis hidroksiapatit
- b. Karakterisasi SEM, XRD dan FTIR hidroksiapatit
- c. Analisis hasil karakterisasi SEM, XRD dan FTIR hidroksiapatit

#### **B. Tempat Dan Waktu Penelitian**

Pembuatan Hidroksiapatit dilaksanakan di Laboratorium Fisika Material dan Laboratorium Kimia UIN Walisongo Semarang pada tanggal 15 Oktober 2019 sampai 15 November 2019. Pengujian XRD, FTIR dan SEM dilakukan di Laboratorium Fisika FMIPA UNNES pada tanggal 28 januari 2020.

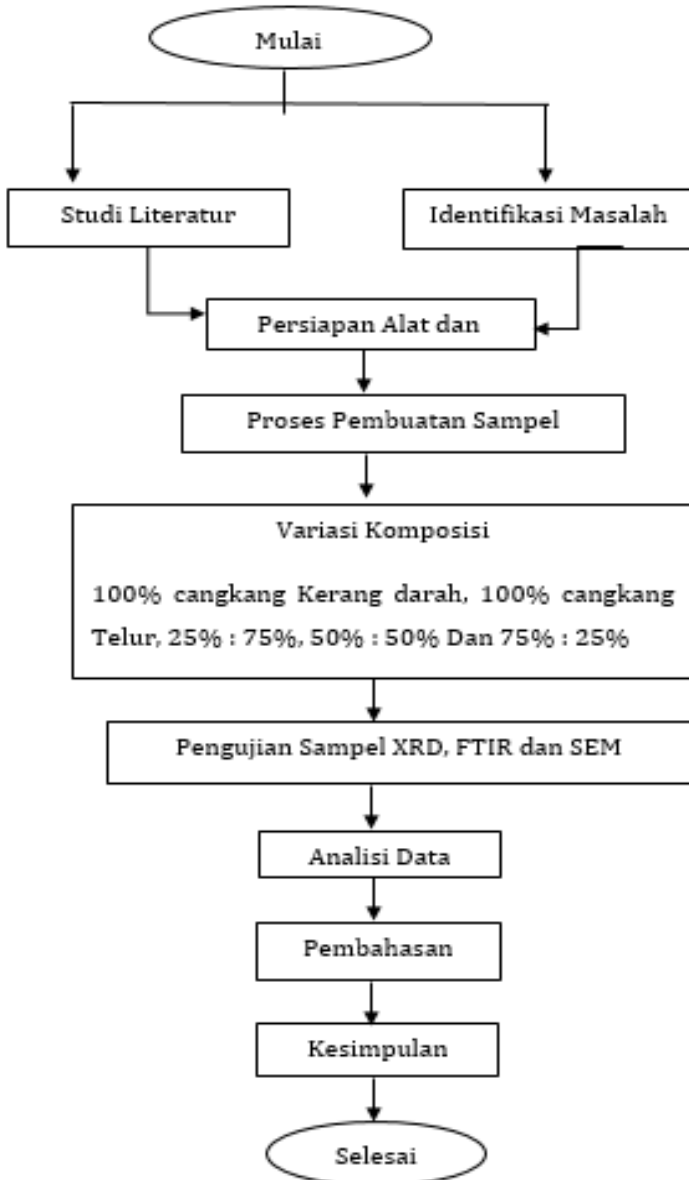
### C. Variabel Penelitian

Komposisi serbuk cangkang kerang darah dan cangkang telur seperti pada Tabel 3.1

Tabel 3. 1 Variasi Komposisi Pembuatan Hidroksiapati

Sampel	Cangkang Kerang (CK)	Cangkang Telur (CT)
A	100%	-
B	-	100%
C	25%	75%
D	50%	50%
E	75%	25%

Secara umum diagram pelaksanaan penelitian dapat dilihat pada Gambar 3.1



Gambar 3. 1 Diagram Alir penelitian

## D. Alat dan Bahan

Alat yang digunakan dalam penelitian ini sebagai berikut :

- a. Naraca Analitis.

Alat ini digunakan untuk mengukur massa bahan yang digunakan. Naraca yang digunakan *Krisbow KW 0600378*

- b. Gelas ukur.

Alat ini digunakan untuk mengukur volume aquadest

- c. Spatula logam.

Spatula digunakan untuk mengambil bahan berbentuk padatan.

- d. Pengaduk

Pengaduk digunakan untuk mengaduk campuran larutan sehingga menjadi larutan yang homogen.

- e. Pipet.

Pipet digunakan untuk cairan dalam skala kecil.

- f. Mortar dan Alu.

Mortar dan Alu digunakan untuk menghaluskan cangkang kerang darah dan cangkang telur menjadi bentuk serbuk.

- g. Ayakan 60 mesh

Ayakan 60 mesh digunakan untuk menyaring serbuk menyaring serbuk cangkang kerang darah dan cangkang telur.

h. Beaker *glass*

Gelas beker ini digunakan sebagai wadah untuk mencampur dan mengaduk. Gelas beaker yang digunakan berukuran 50 ml, 250 ml dan 600 ml dengan merek Iwaki

i. Cawan porselen

Cawan porselen digunakan untuk tempat serbuk pada saat proses kalsinasi.

j. Oven

Oven digunakan untuk mengeringkan larutan hasil sintesis HA sehingga dapat mengeras.

k. *Furnace*.

Alat *furnace* ini digunakan untuk mengkalsinasi sampel. *Furnace* yang digunakan penelitian ini adalah *furnace Thermolyme*

Bahan-bahan yang digunakan dalam penelitian hidroksiapatit sebagai berikut:

- a. Cangkang Kerang Darah
- b. Cangkang Telur ayam
- c. Ammonium dihidrogen fosfat  $(\text{NH}_4)_2\text{HPO}_4$ ,
- d. Aquades

## E. Prosedur Penelitian

### 1. Preparasi sampel cangkang kerang darah

Langkah-langkah yang dilakukan dalam preparasi bahan dalam penelitian ini sebagai berikut:

- a. Cangkang kerang di rendam dengan air selama 3 jam, untuk melunturkan kotoran yang menempel.
- b. Cangkang yang telah direndam di bersihkan kotoran makronya dengan cara menyikat kemudian dibilas dengan air bersih.
- c. Cangkang kerang dikeringkan di udara terbuka selama 24 jam.
- d. Cangkang kerang yang telah kering dihaluskan menggunakan alu dan mortar hingga menjadi serbuk.
- e. Serbuk cangkang kerang dikeringkan dengan oven selama 1 jam dengan suhu 150°.
- f. Serbuk cangkang kerang disaring dengan menggunakan ayakan berukuran 60 *mesh* (Muhara *et al*, 2015; Khoirudin *et al*, 2015 )
- g. Serbuk cangkang kerang dikalsinasi dalam furnace dengan suhu 900°C selama 2 jam.

## 2. Preparasi sampel cangkang telur ayam

Langkah-langkah preparasi bahan dalam penelitian ini sebagai berikut :

- a. Cangkang telur direndam dengan air selama 2 jam.
- b. Cangkang telur yang telah direndam, dibersihkan kotoran makro yang menempel pada permukaan cangkang kemudian di bilas dengan air bersih.
- c. Cangkang telur direbus selama 30 menit (Hui, 2010; Wadu, 2017) untuk memudahkan pembersihan membaran telur kemudian membran cangkang telur di eliminasi.
- d. Cangkang telur dikeringkan di udara terbuka selama 24 jam.
- e. Cangkang telur yang sudah kering dihaluskan hingga menjadi serbuk.
- f. Serbuk cangkang telur yang dikeringkan dalam oven dengan suhu 150° selama 1 jam
- g. Serbuk cangkang telur disaring menggunakan ayakan berukuran 60 mesh
- h. Serbuk cangkang telur dikalsinasi menggunakan alat *furnace* dengan suhu 900°C selama 2 jam

### 3. Sintesis Hidroksiapatit

Sintesis hidroksiapatit dilakukan dengan menggunakan metode hidrotermal yang merujuk pada penenlitian Khoirudin *et al*, (2015) langkah-langkah sintesis hidroksiapatit sebagai berikut:

1. Serbuk cangkang kerang darah (CK) dan cangkang telur ayam (CT) sebagai sumber kalsium disiapkan dan ditimbang sesui dengan variasi komposisi CK 100%, CT 100%, CK : CT (25%:75%), CK : CT (50%:50%), CK : CT (75%:25%), dengan massa total sebesar 5 gram.
2.  $(\text{NH}_4)_2\text{HPO}_4$  ditimbang massanya sebesar 3,04 gram kemudian dilarutkan dengan aquades sebanyak 15 ml.
3. Serbuk CaO ditambahkan dengan Larutan  $(\text{NH}_4)_2\text{HPO}_4$  kemudian diaduk hingga campuran keduanya homogen membentuk sebuah gel.
4. Hasil sintesis dikeringkan dalam oven dengan suhu  $160^\circ$  selama 5 jam, kemudian dihaluskan sampel hidroksiapatit membentuk serbuk.
5. Serbuk hidroksiapatit dikalsinasi menggunakan *furnace* selama 1 jam dengan suhu  $900^\circ\text{C}$ .

## F. Karakterisasi Sampel Hidroksiapatit

Karakterisasi hidroksiapatit dari cangkang kerang darah (*Anandara granosa*) dan cangkang telur. Pengujian karakterisasi penelitian ini diantaranya sebagai berikut :

### 1. Uji Karakterisasi XRD (*X-ray Diffraction*)

Uji karakterisasi XRD dilakukan untuk mengetahui struktur dan ukuran kristal hidroksiapatit dari cangkang kerang darah dan cangkang telur ayam.

Analisis data hasil karakterisasi XRD dilakukan dengan menganalisis pola difraksi. Hasil karakterisasi XRD menghasilkan intensitas spektur pada sudut  $2\theta$  tertentu. Spektrum yang dihasilkan di cocokkan dengan database Hidroksiapatit JCPDS (*Joint Committe on Powder Diffraction Standar*) sehingga dapat diidentifikasi sudut puncak-puncak difraksi dan dilakukan analisis pada puncak difraksi yang mendominasi.

Ukuran partikel dapat diperoleh dengan persamaan Scherer (Rahayu, 2018)

$$D = \frac{K \lambda}{B \cos \theta} \quad 3.1$$

Keterangan :

D = Ukuran kristal

k = Konstanta scherrer (0,9)

$\lambda$  = Panjang gelombang sinar X (1,5406 Å)

B = Nilai FWHM

$\theta$  = Sudut difraksi

B merupakan FWHM (*Full width at half maximum*). Nilai B dapat didapatkan dari persamaan (Rahayu, 2018):

$$B = \frac{1}{2}(2\theta_2 - 2\theta_1) \quad 3.2$$

Parameter kisi struktur kristal heksagonal dari sampel hidroksiapatit dapat diperoleh dari persamaan berikut ini (Suryanarayana, 1998)

$$\frac{1}{d^2} = \frac{4}{3} \left( \frac{h^2 + hk + k^2}{a^2} \right) + \frac{l^2}{c^2} \quad 3.3$$

Keterangan :

$d$  = Jarak antar bidang kisi

$h k l$  = Index Miller

$a$  dan  $c$  = Parameter kisi

2. Uji Karakterisasi FTIR (*Fourier Transform Infra Red*)

Uji karakterisasi FTIR dilakukan untuk mengetahui gugus fungsi yang terkandung dalam hidroksiapitit. Uji dilakukan dengan menggunakan alat FTIR. Dan panjang gelombang yang digunakan  $400\text{-}4000\text{ cm}^{-1}$

3. Uji Karakterisasi SEM (*Scanning Electron Microscope*)

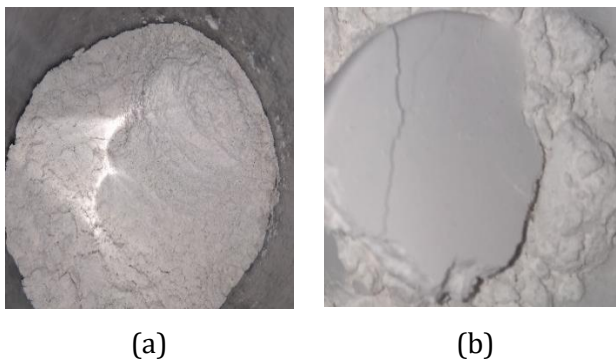
Uji karakterisasi SEM dilakukan untuk mengetahui struktur morfologi dan ukuran pori-pori sampel hidroksiapitit dari cangkang kerang darah dan cangkang telur serta tingkat kekasaran permukaan sampel dengan software Gwyddion

## BAB IV

### HASIL DAN PEMBAHASAN

#### A. Proses Kalsinasi dan Sintesis Hidoksiapatit

Hasil kalsianasi serbuk cangkang kerang darah dan cangkang telur dapat dilihat pada gambar 4.1



Gambar 4. 1 Hasil kalsinasi (a) cangkang kerang darah (b) cangkang telur

Gambar 4.1 hasil kalsinasi serbuk cangkang kerang darah dan cangkang telur. Warna serbuk cangkang telur kecoklatan setelah dikalsinasi berubah menjadi berwarna putih dan serbuk cangkang kerang darah sebelum dikalsinasi berwarna abu-abu setelah proses kalsinasi berubah menjadi berwarna putih. Perubahan warna putih pada serbuk cangkang kerang darah dan cangkang telur disebabkan suhu kalsinasi yang tinggi menyebabkan senyawa organik hilang. Menurut

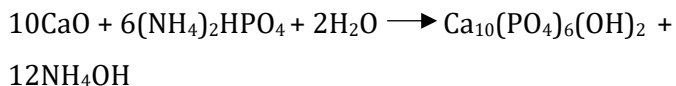
Riyanto (2013) hasil kalsinasi berwarna putih menunjukkan proses degradasi material organik sudah tidak terjadi kembali.

Proses kalsinasi seperti persamaan reaksi dibawah ini.

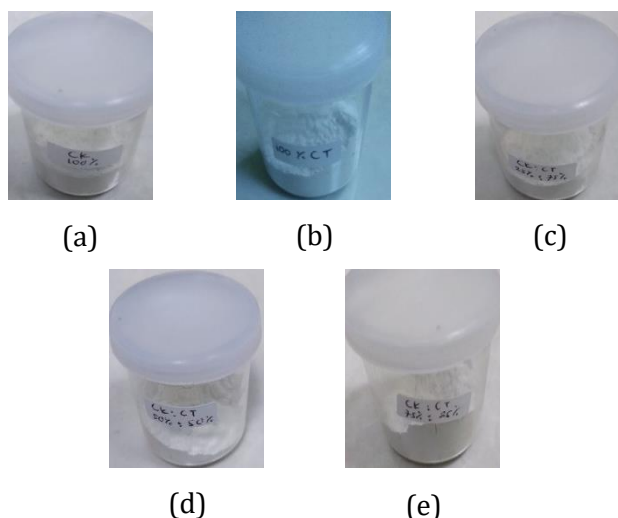


Proses kalsinasi serbuk cangkang kerang darah dan cangkang telur membuat komponen organik yang terkadung didalam cangkang tereliminasi pada saat proses kalsinasi berlangsung sehingga kalsium karbonat ( $\text{CaCO}_3$ ) terdekomposisi menjadi kalsium oksida ( $\text{CaO}$ ). Kalsium oksida ( $\text{CaO}$ ) dari cangkang kerang darah dan cangkang telur digunakan sebagai sumber prekursor kalsium ( $\text{Ca}$ ) dalam sintesis hidroksiapatit (Khoirudin, 2015).

Hidroksiapatit ( $\text{Ca}_{10}(\text{PO}_4)_6(\text{OH})_2$ ) didapatkan dari sintesis menggunakan prekursor kalsium ( $\text{Ca}$ ) dan prekursor fosfat dari *ammonium dihydrogen fosfat* ( $\text{NH}_4\text{HPO}_4$ ). Hidroksiapatit disintesis menggunakan metode hidrotermal. Adapun reaksi pembentukan hidroksiapatit seperti persamaan berikut :



Hasil sintesis hidroksiapatit dari cangkang kerang darah (CK) dan cangkang telur (CT) dihasilkan sampel hidroksiapatit yaitu : A (CK 100%), B (100% CT), C (25% CK : 75% CT), D (50% CK : 50% CT), dan E (75% CK : 25% CT) seperti yang terlihat pada Gambar 4.2.



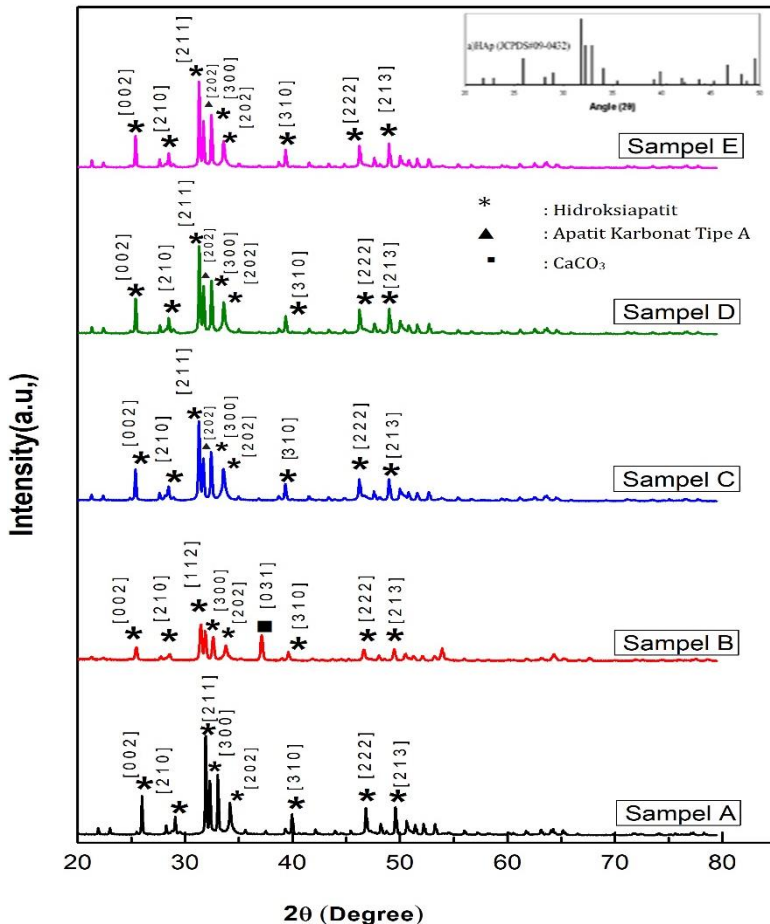
Gambar 4. 2 Hasil Sintesis Hidroksiapatit Variasi Komposisi (a) (CK 100%), (b) (CT 100%), (c) (25% CK:75% CT), (d) (50% CK:50% CT) dan (e) (75% CK:25% CT)

Warna putih pada sampel hidroksiapatit menandakan proses kalsinasi sampel hidroksiapatit pada suhu 900°C terjadi dengan sempurna (Muliati, 2016).

## B. Karakterisasi Sampel

### 1. Uji XRD

Hasil uji XRD pada sampel hidroksiapatit dari cangkang kerang darah dan cangkang telur dengan variasi komposisi dapat dilihat pada Gambar 4.3



Gambar 4. 3 Pola Difraksi Sampel Hidroksiapatit

Pola difraksi pada Gambar 4.3 menunjukkan pola difraksi sampel hidroksiapit yang muncul mirip pola difraksi JCPDS hidroksiapit. Pola diraksi sampel hidroksiapit terjadi pada sudut  $20^\circ - 50^\circ$ , dibandingkan dengan pola difraksi JCPDS (*Joint Committee on Powder Diffraction Standard*) untuk mengetahui struktur dan orientasi kristal, *d-spacing* dan ukuran kristal dari sampel hidroksiapit. Berdasarkan Gambar 4.3 sudut difraksi sampel hidroksiapit secara rinci dapat dilihat pada Tabel 4.1.

Tabel 4. 1 Sudut Difraksi Sampel Hidroksipatit dan JCPDS 09-432 Hidroksiapatit

<b>Sampel</b>	<b>2θ</b>	<b>h k l</b>	<b>Fasa</b>
JCPDS (09-432)	25,879	0 0 2	HA
	31,773	2 1 1	HA
	32,196	1 1 2	HA
	32,902	3 0 0	HA
	34,048	2 0 2	HA
A (100%)	25,996	0 0 2	HA
	31,932	2 1 1	HA
	34,209	2 0 2	HA
B (100%)	25,797	0 0 2	HA
	32,032	1 1 2	HA
	34,279	2 0 2	HA
	37,359	0 3 1	CaCO <sub>3</sub>
C (25%:75%)	25,897	0 0 2	HA
	31,813	2 1 1	HA
	32,221	2 0 2	AKA
	34,109	2 0 2	HA
D (50%:50%)	25,921	0 0 2	HA
	31,844	2 1 1	HA
	32,251	2 0 2	AKA
	34,129	2 0 2	HA
E (75%:25%)	25,906	0 0 2	HA
	31,836	2 1 1	HA
	32,236	2 0 2	AKA
	34,144	2 0 2	HA

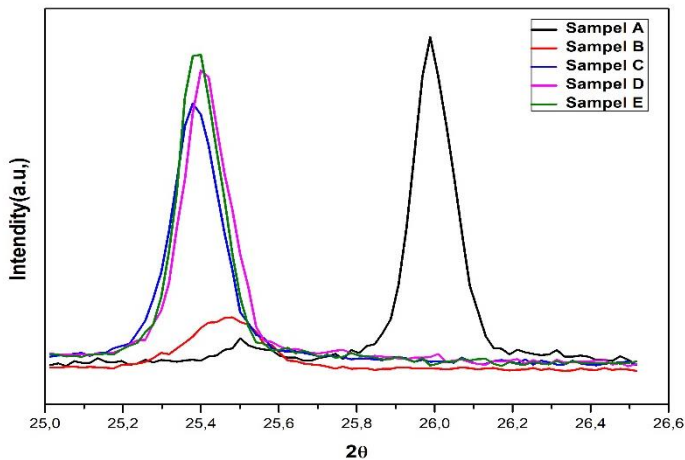
HA : Hidroksiapatit

CaCO<sub>3</sub> : Kalsium karbonat

AKA : Apatit Karbonat tipe A

Puncak difraksi sampel hidroksiapatit (A, B, C, D dan E) mengandung senyawa hidroksiapatit yang ditandai dengan tiga puncak utama yang mirip dengan data JCPDS 09-432 yang terlihat pada Tabel 4.1. Sampel hidroksiapatit (A, C, D dan E) hidroksiapatit terdapat pada bidang [2 1 1] dan sampel B (cangkang telur 100%) hidroksiapatit terdapat pada bidang [1 1 2] dengan sudut 32,032°. Yahya *et al.* (2016) hidroksiapati dari cangkang telur ayam terdapat pada sudut 32,150° pada bidang [1 1 2]. Hasil pola difraksi seluruh sampel hidroksiapatit (A, B, C, D dan E) terjadi pergeseran puncak difraksi (*Break Angel*) dari sudut 25° - 35°. Pergeseran pola difraksi ditunjukkan pada puncak [0 0 2]. Sudut difraksi sampel hidroksiapatit (A, B, C, D dan E) terjadi pergeseran seperti yang terlihat pada Tabel 4.1. Pergeseran sudut 2θ disebabkan kisi kristal dari sampel hidroksiapatit mengalami regangan karena efek dari proses kalsinasi yang membentuk pori sehingga jarak antar kisi semakin besar (Celluty, 1956; Fadila *et al.*, 2019). Sampel A (100% CK) mengalami pergeseran paling besar. Hal ini menunjukkan bahwa pergeseran 2θ mengakibatkan regangan kisi semakin besar. Semakin besar regangan kisi menunjukkan ukuran kristal yang semakin besar.

Adanya tambahan baku lain mempengaruhi pergeseran sudut difraksi. Pergeseran sudut  $2\theta$  sampel hidroksiapatit seperti yang terlihat pada Gambar 4.4



Gambar 4. 4 Sudut  $2\theta$  sampel hidroksiapatit pada bidang  $[0\ 0\ 2]$

Gambar 4.3 menunjukkan terdapat pola difraksi yang muncul selain hidroksiapatit yaitu senyawa kalsium karbonat ( $\text{CaCO}_3$ ) dan apatit karbonat tipe A. Senyawa kalsium karbonat ( $\text{CaCO}_3$ ) yang terdapat pada sampel B (cangkang telur 100%) pada sudut  $37,359^\circ$  dan bidang kristal  $[0\ 3\ 1]$ , disebabkan proses kalsinasi yang tidak merata sehingga ada kalsium ( $\text{CaO}$ ) yang tidak bereaksi pada proses pembentukan hidroksiapatit dan bereaksi  $\text{CO}_2$

dari udara (Marist, 2011). Selanjutnya  $\text{CO}_2$  bereaksi dengan CaO akan membentuk  $\text{CaCO}_3$ . Senyawa  $\text{CaCO}_3$  merupakan bahan organik yang terdapat pada cangkang telur. Sesuai hasil penelitian Khoirudin (2015) pada sintesis hidroksiapatit ditemukan  $\text{CaCO}_3$  yang dapat menghambat pembentukan kristal hidroksiapatit. Keberadaan senyawa  $\text{CaCO}_3$  mempengaruhi sudut difraksi hidroksiapatit dari sampel B sehingga bergeser. Pergeseran pada bidang [2 1 1] ke sudut  $2\theta$  lebih besar disebabkan terdapat  $\text{CaCO}_3$  di dalam sampel hidroksiapatit sehingga menyebabkan kisi kristal hidroksiapatit melebar (Fadila et al., 2019). Sampel hidroksiapatit (A, C, D dan E) senyawa  $\text{CaCO}_3$  tidak terbentuk disababkan senyawa  $\text{CaCO}_3$  sudah terdekomposisi pada proses kalsinasi menjadi CaO yang sebagai kalsium pada pembentukan hidroksiapatit (Herdianto, 2011).

Senyawa apatit karbonat tipe A ( $\text{Ca}_{10}(\text{PO}_4)_6(\text{CO}_3)_2(\text{OH})_2$ ) muncul pada sampel C ( $32,221^\circ$ ), sampel D ( $32,251^\circ$ ) dan sampel E ( $32,236^\circ$ ) pada bidang [2 0 2]. Senyawa apatit karbonat tipe A muncul pada sampel hidroksiapatit (C, D dan E) disebabkan terdapat ion karbonat ( $\text{CO}_3^{2-}$ ) yang menggantikan posisi ion hidroksil ( $\text{OH}^-$ ) pada struktur hidroksiapatit dengan suhu kalsinasi  $900^\circ\text{C}$ .

Hal ini dikarenakan ion karbonat ( $\text{CO}_3^{2-}$ ) menggantikan ion hidroksil ( $\text{OH}^-$ ) dan tersubstitusi ke dalam hidroksiapatit (Dahlan, 2013; Herawaty, 2014). Menurut Balgies (2011) dari hasil penelitian hidroksiapatit dari kerang *ranga* terbentuk apatit karbonat tipe A di suhu 900°C dikarenakan gugus OH<sup>-</sup> pada struktur hidroksiapatit ditempati gugus karbonat. Penelitian Nurrohmah (2013) hidroksiapatit dari tulang ikan tuna senyawa apatit karbonat tipe A terbentuk pada suhu sintering 700°C, 800°C dan 900°C.

Struktur kristal dari sampel hidroksiapatit melalui perhitungan nilai parameter kisi kristal. Hasil perhitungan parameter kisi kristal sampel hidroksiapatit (Lampiran 10) dapat dilihat pada Tabel 4.2

Tabel 4. 2 Parameter Kisi Kristal Sampel Hidroksiapatit

Nama Sampel	Parameter	Kisi
	$a = b (\text{\AA})$	$c (\text{\AA})$
A	9,368	6,687
B	9,524	6,546
C	9,395	6,706
D	9,367	6,718
E	9,366	6,718
Rata-rata	9,404	6,675

Berdasarkan hasil perhitungan parameter kisi sampel hidroksipatit pada Tabel 4.2, sampel hidroksipatit berstruktur kristal heksagonal dengan nilai kisi  $a = 9,404 \text{ \AA}$  dan  $c = 6,675 \text{ \AA}$ . Hasil perhitungan tersebut mendekati nilai parameter kisi hidroksipatit  $a = b = 9,4225 \text{ \AA}$  dan  $c = 6,881 \text{ \AA}$ . Sampel hidroksipatit yang dihasilkan berstruktur heksagonal dikarenakan OH<sup>-</sup> tersusun secara tidak teratur dan berada dalam keadaan stoikiometrik (Ningsih, 2014).

Pola difraksi sampel hidroksipatit dapat menunjukkan ukuran kristal sampel. Ukuran kristal dari sampel hidroksipatit dihitung dengan persamaan persamaan Scherrer (Rahayu, 2018). Ukuran kristal dan jarak antar bidang kristal (*d-spacing*) dari sampel hidroksipatit (A, B,C, D, dan E) seperti yang terlihat pada Tabel 4.3. (Lampiran 8 dan Lampiran 9)

Ukuran kristal sampel A (cangkang kerang darah 100%) memiliki ukuran kristal terbesar sedangkan ukuran kristal terkecil hidroksipatit dari sampel B (cangkang telur 100%) yang disebabkan cangkang kerang darah memang memiliki ukuran kristal besar serta dipengaruhi oleh nilai FWHM. Semakin besar nilai FWHM maka ukuran kristal

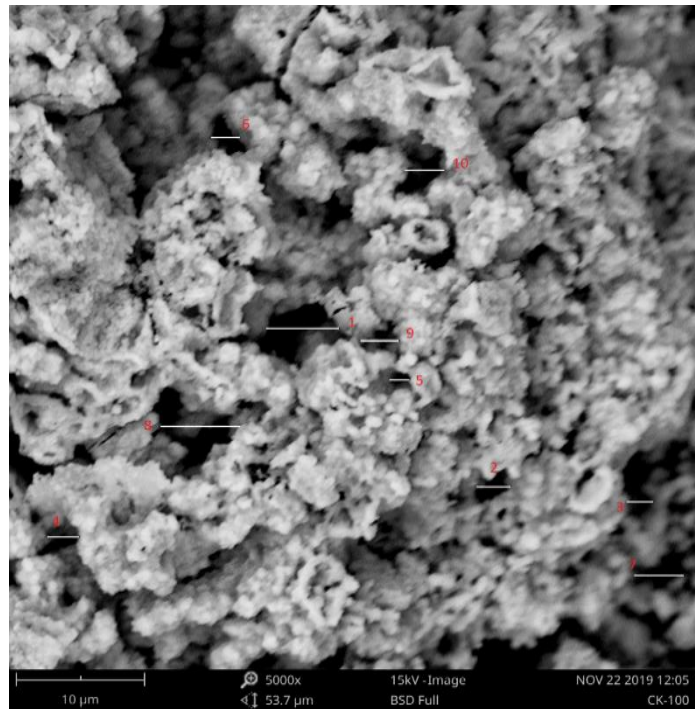
semakin kecil begitupun sebaliknya semakin kecil nilai FWHM maka semakin besar ukuran kristal (Permada, 2013). Ukuran kristal sampel hidroksiapatit (A, B, C, D dan E) mulai dari 10,10 nm – 57,30 nm mendekati hasil penelitian Suryadi (2011) yang ukuran kristal hidroksiapatit yaitu 15 nm – 50 nm. Menurut Affandi (2015) ukuran kristal hidroksiapatit dari kerang darah sebesar 40 nm dan ukuran kristal hidroksiapatit dari cangkang telur ayam menurut Sandewi (2017) yaitu dari 10 nm -14 nm.

Tabel 4. 3 Ukuran Kristal dan *d-spacing* Sampel Hidroksiapatit

<b>Sampel</b>	<b>2θ (°)</b>	<b>FWHM</b>	<b><i>d-spacing</i></b>	<b>D (nm)</b>	<b>D rata-rata</b>
A (100%)	25,996	0,120	1,786	67,94	
	31,932	0,140	1,490	59,02	57,29
	34,209	0,185	1,406	44,92	
B (100%)	25,797	0,945	1,798	8,62	
	32,032	0,945	1,486	8,74	10,19
	34,279	0,630	1,404	13,20	
C (25%:75%)	25,897	0,140	1,792	58,22	
	31,813	0,159	1,495	51,95	47,89
	34,109	0,248	1,409	33,50	
D (50%:50%)	25,921	0,137	1,790	59,50	
	31,844	0,147	1,494	56,19	51,63
	34,129	0,212	1,409	39,19	
E (75%:25%)	25,906	0,126	1,791	64,69	
	31,836	0,140	1,494	59	55,44
	34,144	0,195	1,408	42,61	

## 2. Uji SEM

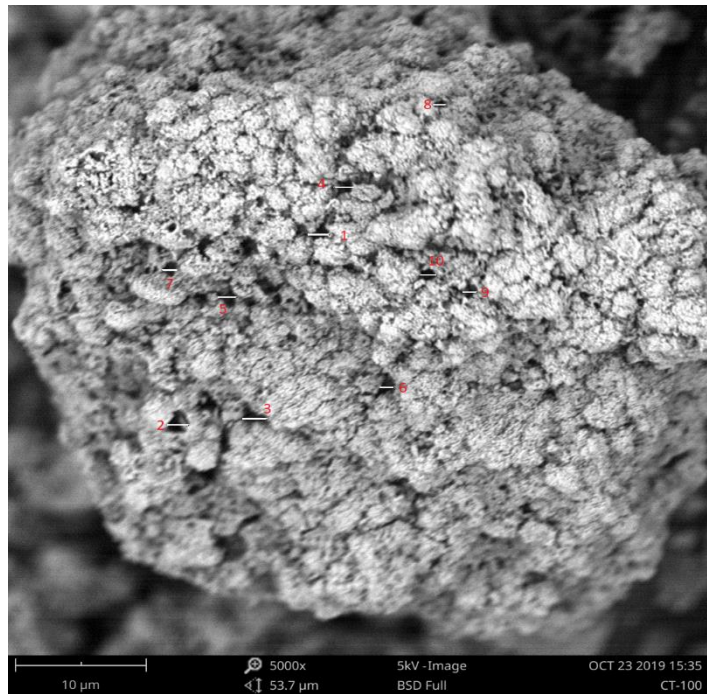
Hasil uji SEM sampel hidroksiapatit menggunakan perbesaran 5000 X dapat dilihat pada Gambar 4.5 – Gambar 4.9 dan ukuran pori dapat dilihat pada Tabel 4.4 – Tabel 4.8 (Lampiran 11)



Gambar 4. 5 Morfologi Sampel hidroksiapatit A  
(Cangkang kerang darah 100%)

Tabel 4. 4 Ukuran Pori Hidroksiapatit Sampel A  
(cangkang kerang darah 100%)

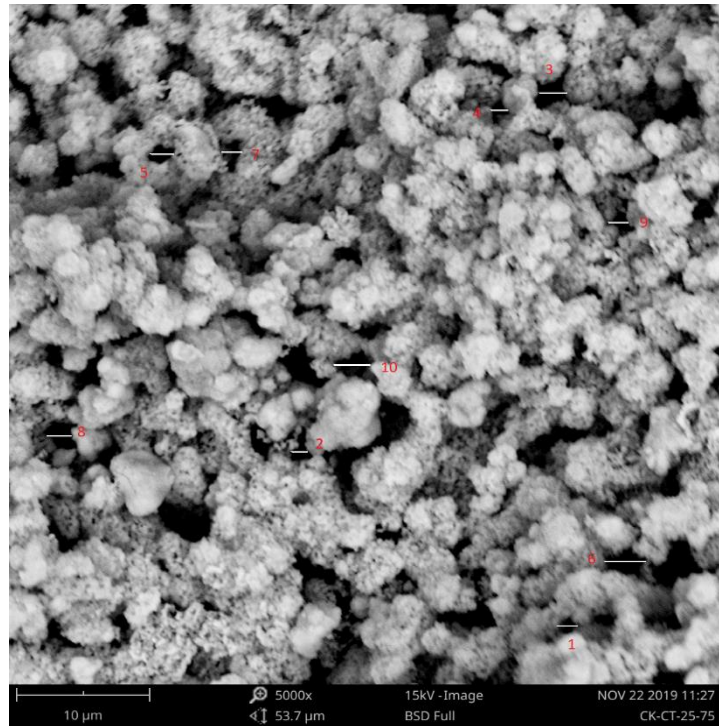
Titik	Pori ( $\mu\text{m}$ )	Titik	Pori ( $\mu\text{m}$ )
1	5,88	6	2,34
2	3,07	7	4,21
3	2,44	8	5,67
4	2,65	9	2,65
5	1,92	10	2,86



Gambar 4. 6 Morfologi Sampel hidroksiapatit B  
(Cangkang Telur 100%)

Tabel 4. 5 Ukuran Pori Hidroksiapatit Sampel B  
(cangkang Telur 100%)

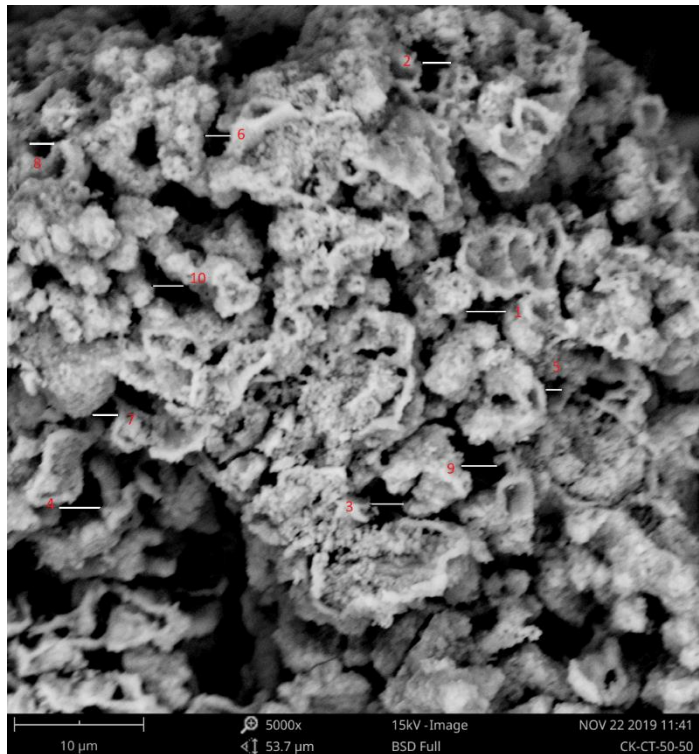
Titik	Pori ( $\mu\text{m}$ )	Titik	Pori ( $\mu\text{m}$ )
1	1,36	6	1,51
2	1,51	7	1,20
3	1,67	8	1,09
4	1,30	9	1,51
5	1,46	10	1,36



Gambar 4. 7 Morfologi Sampel hidroksiapatit C  
(25% CK : 75% CT)

Tabel 4. 6 Ukuran Pori Hidroksiapatit Sampel C  
(25%:75%)

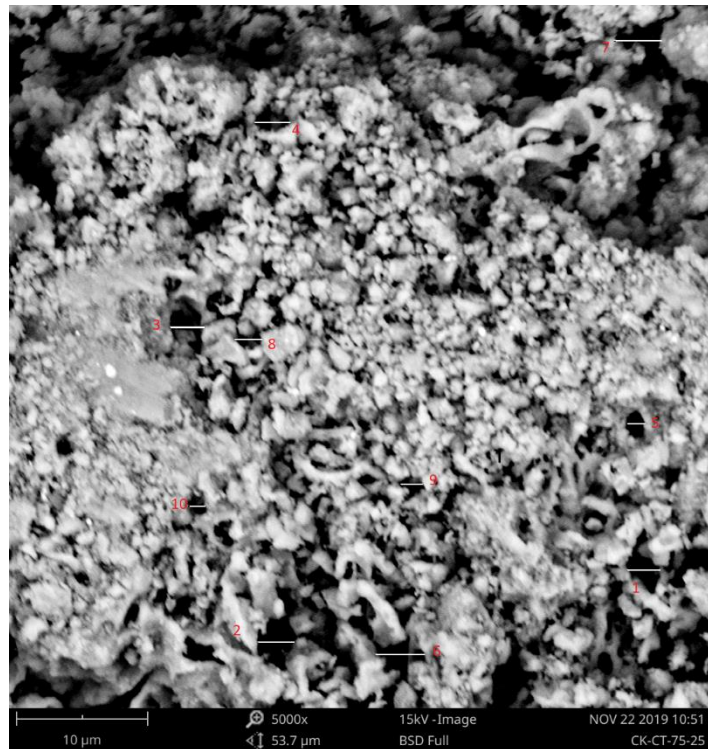
Titik	Pori ( $\mu\text{m}$ )	Titik	Pori ( $\mu\text{m}$ )
1	1,20	6	2,61
2	1,62	7	1,20
3	2,09	8	1,78
4	1,36	9	1,51
5	1,57	10	2,82



Gambar 4. 8 Morfologi Sampel hidroksiapatit D  
(50% CK : 50% CT)

Tabel 4. 7 Ukuran Pori Hidroksiapatit Sampel D  
(50%:50%)

Titik	Pori (μm)	Titik	Pori (μm)
1	3,03	6	2,14
2	2,19	7	1,93
3	2,67	8	1,78
4	3,08	9	2,77
5	1,51	10	2,35



Gambar 4. 9 Morfologi Sampel hidroksiapatit E  
(75% CK : 25% CT)

Tabel 4. 8 Ukuran Pori Hidroksiapatit Sampel E  
(75%:25%)

Titik	Pori (μm)	Titik	Pori (μm)
1	2,40	6	4,08
2	2,98	7	3,14
3	2,82	8	1,88
4	2,67	9	1,72
5	1,41	10	1,30

Tabel 4. 9 Ukuran Rata-rata Pori Sampel Hidroksiapatit

<b>Nama Sampel</b>	<b>Rata-Rata Ukuran Pori (<math>\mu\text{m}</math>)</b>
A	3,37
B	1,32
C	1,77
D	2,34
E	2,44

Hasil uji SEM sampel hidroksiapatit memiliki pori-pori yang terbentuk diantara dua gumpalan hidroksiapatit, seperti yang ditunjukkan Gambar 4.5 – Gambar 4.9 dan rata-rata ukuran pori-pori dari dua gumpalan hidroksiapatit dapat dilihat pada Tabel 4.9 (Lampiran 11).

Morfologi sampel hidroksiapatit B (cangkang telur 100%) memiliki ukuran pori terkecil sedangkan pori-pori terbesar dari sampel hidroksiapatit A (cangkang kerang darah 100%). Morfologi sampel hidroksiapatit ketika lebih banyak komposisi cangkang telur (25%:75%) memiliki ukuran pori kecil dan sampel hidroksiapatit yang lebih banyak komposisi cangkang kerang darah (75%:25%) ukuran pori besar. Pori-pori terbentuk disebabkan pengaruh proses pemanasan yang belum optimal,

dimana proses pemanasan membuat pori-pori partikel bahan hilang (Riyanto, 2013) serta terbantuk pori-pori disebabkan terdapat kekosongan ruangan efek dari proses kalsinasi sehingga membuat kisi kristal mengalami regangan (Fadila et al., 2019). Ukuran pori pada sampel hidroksiapatit (A, B, C, D dan E) juga dipengaruhi oleh ukuran kristal dari hidroksiapatit. Semakin kecil ukuran kristal maka ukuran pori semakin kecil dan semakin besar ukuran kristal maka semakin besar ukuran pori yang terbentuk (Tabel 4.3 dan Tabel 4.9).

Ukuran pori sampel hidroksiapatit (A, B, C, D dan E) masih dalam katagori pori makro. Menurut Walendra (2012) hidroksiapatit dari hasil sintesis memiliki pori mikro (pori yang terdapat dibutiran hidroksiapatit) sekitar (0-0,5)  $\mu\text{m}$  dan makro (pori yang terdapat antara 2 butiran hidroksiapatit) berukuran lebih dari 1,74  $\mu\text{m}$ . Hidroksiapatit berpori dapat diaplikasikan pada bidang biomaterial sebagai tempat sirkulasi cairan tubuh dari seluruh lapisan (Cahyati, 2014). Hidroksiapatit berpori diaplikasikan sebagai gigi tiruan pori akan mempengaruhi kuat tekan dari gigi tiruan. Semakin banyak terdapat pori maka kuat tekan akan menurun (Ismawati et al., 2016).

Sampel hidroksiapatit memiliki bentuk morfologi yang beraneka ragam seperti pada Gambar 4.5 – Gambar 4.9 yang disebabkan pengaruh suhu 900°C yang digunakan pada proses kalsinasi (Ozawa & Suzuki, 2002) serta morfologi hidroksiapatit yang mengalami pemanasan membuat kristal tidak teratur dan ukuran kristal berbeda-beda (Pallela et al., 2011). Hal ini sesuai dengan hasil analisis pola difraksi sampel hidroksiapatit diperoleh ukuran kristal sampel hidroksiapatit (Tabel 4.3) yang berbeda-beda.

Morfologi dari sempel hidroksiapatit (Gambar 4.5 – Gambar 4.9) memiliki permukaan yang menggumpal atau aglomerat yang disebabkan proses kalsinasi membuat partikel-partikel menggabung (Riyanto, 2013). Menurut Suryadi (2011) mengatakan bahwa kristal hidroksiapatit cenderung berbentuk agglomerate sehingga sulit untuk melihat morfologi partikel hidroksiapatit tunggal. Hasil tersebut seperti hasil penelitian Audrya *et al* (2018), dimana hidroksiapatit dari cangkang telur ayam ras cenderung berbentuk aglomerat dan Anugrah (2019) dimana partikel hidroksiapatit dari cangkang telur itik teramat berupa aglomerat. Hasil penelitian Zhang et al, (2011) morfologi hidroksiapatit dari

cangkang telur berbentuk agglomerat yang menyerupai bunga.

Morfologi sampel hidroksiapatit (A, B, C, D dan E) dari hasil uji SEM dapat diketahui tingkat kekasaran permukaan sampel dengan menggunakan software Gwyddion seperti yang terlihat pada Gambar 4.10 (Lampiran 4). Berdasarkan Gambar 4.11 morfologi sampel hidroksiapatit terdapat warna putih yang menunjukkan tinggi permukaan dari sampel sedangkan warna hitam merupakan pori pada permukaan sampel hidroksiapatit. Berdasarkan Gambar 4.10 tinggi permukaan sampel B terlihat seragam, sedangkan sampel A tinggi permukaan hidroksiapatit tidak seragam, ada yang terlihat tinggi dan ada permukaan yang rendah. Semakin tinggi permukaan hidroksiapatit yang nampak menunjukkan bahwa permukaan tersebut kasar. Ukuran rata-rata Tingkat kekasaran permukaan sampel hidroksiapatit dapat dilihat pada Tabel 4.10 (Lampiran 12)

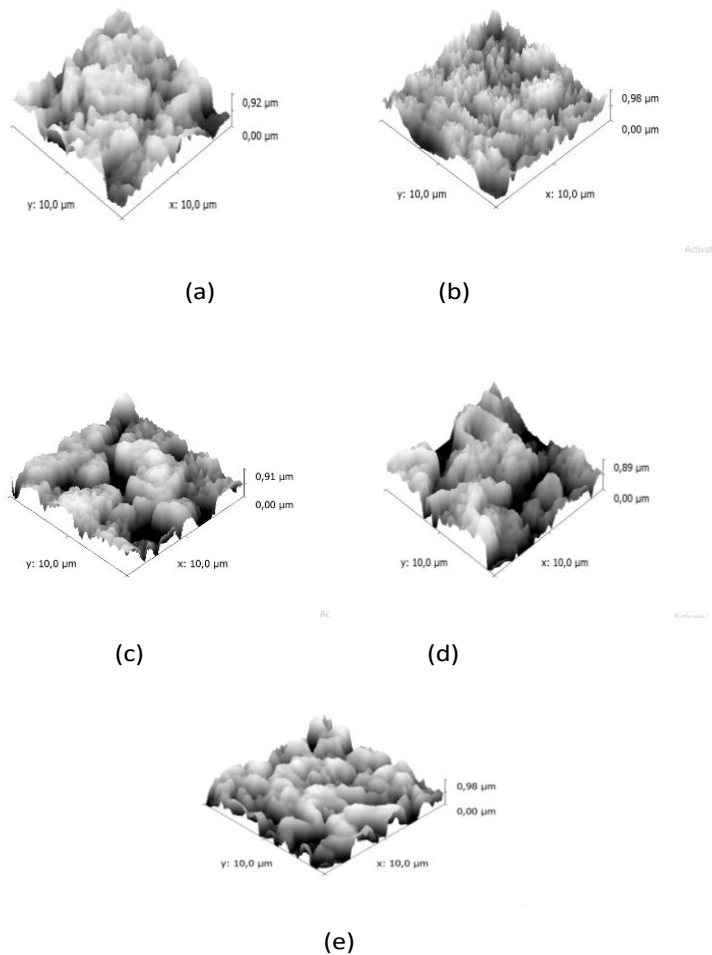
Kekasaran permukaan sampel hidroksiapatit yang terlihat pada Tabel 4.10 disebabkan efek dari kalsinasi pada serbuk hidroksiapatit, masih terdapat serbuk yang belum terkalsinasi dengan sempurna yang akhirnya serbuk mengalami regangan

mengakibatkan ukuran kristal berbeda-beda. Proses kalsinasi membuat partikel-partikel serbuk hidroksipapatit menjadi bergabung melalui peristiwa difusi. Proses kalsinasi membuat pori-pori bahan hilang serta terjadi penyusutan komponen yang menyebabkan pertumbuhan gumpalan (*grain*) serta ikatan antar partikel yang berdekatan meningkat sehingga partikel tersebut menjadi mampat atau kompak menjadi satu (Nurrohmah, 2013).

Tabel 4. 10 Tingkat Kekasaran Permukaan Sampel Hidroksipapatit

<b>Nama Sampel</b>	<b>Rata-Rata Tingkat kekasaran Permukaan (nm)</b>
A	275,7
B	194,4
C	218,4
D	226,3
E	233,5

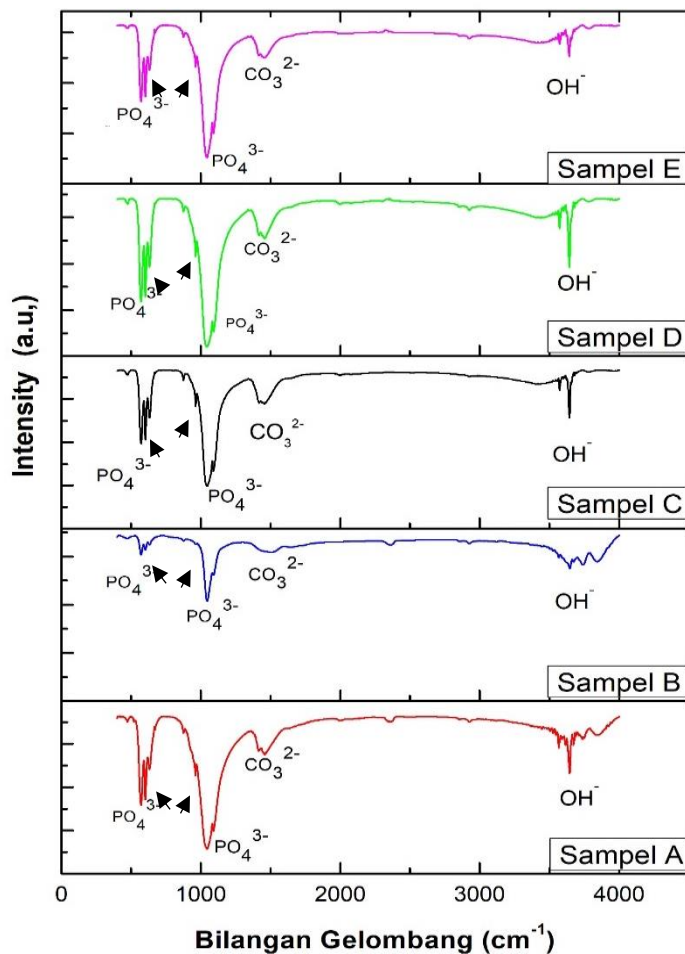
Variasi komposisi antara serbuk cangkang kerang darah dan cangkang telur dalam sintesis hidroksipapatit memiliki pengaruh yang besar terhadap tingkat kekasaran permukaan.



Gambar 4. 10 Morfologi Sampel Hidroksiapatit (a) (CK 100%), (b) (CT 100%), (c) (25% CK:75% CT), (d) (50% CK:50% CT) dan (e) (75% CK:25% CT)

### 3. Hasil Uji FTIR

Hasil uji FTIR sampel hidroksiapatit ini dapat dilihat pada Gambar 4.11



Gambar 4. 11 Spektrum FTIR Sampel  
Hidroksiapatit

Berdasarkan Gambar 4.12 bilangan gelombang gugus fungsi sampel hidroksiapatit dapat dilihat pada Tabel 4.11

Tabel 4.11 Bilangan Gelombang Gugus Fungsi Sampel Hidroksiapatit

<b>Sampel</b>	<b>Bilangan Gelombang (cm<sup>-1</sup>)</b>		
	<b>Gugus Fungsi</b>		
	<b>PO<sub>4</sub><sup>-3</sup></b>	<b>CO<sub>3</sub><sup>-2</sup></b>	<b>OH<sup>-</sup></b>
<b>A</b> (100%)	571,33	1458,36	3645,89
	962,01	-	3736,05
	1043,76	-	-
	1089,59	-	-
<b>B</b> (100%)	571,13	1508,40	3647,17
	961,40	-	3739,42
	1045,24	-	-
	1091,00	-	-
<b>C</b> (25%:75%)	571,58	1445,59	3573,14
	962,87	-	3644,12
	1044,59	-	-
	1089,82	-	-
<b>D</b> (50%:50%)	571,51	1457,74	3572,80
	962,56	-	3642,95
	1043,85	-	-
	1089,94	-	-
<b>E</b> (75%:25%)	571,68	1457,82	3572,92
	962,43	-	3642,11
	1043,86	-	-
	1089,79	-	-

Berdasarkan Gambar 4.11 spektrum FTIR sampel hidroksiapatit (A, B,C, D dan E) menunjukkan keberadaan gugus fungsi  $\text{PO}_4^{3-}$ ,  $\text{CO}_3^{2-}$  dan  $\text{OH}^-$  yang merupakan gugus fungsi penyusun hidroksiapatit. Spektrum FTIR sampel hidroksiapatit (A, B, C, D dan E), gugus fungsi  $\text{PO}_4^{3-}$  terbentuk bahu seperti yang ditunjukkan tanda panah (Gambar 4.11) pada bilangan gelombang  $962 \text{ cm}^{-1}$ , hal ini menandakan kristal mulai terbentuk. Bahu terlihat semakin jelas pada bilangan gelombang  $571 \text{ cm}^{-1}$  memiliki dua puncak. Semakin tinggi bahu menunjukkan sampel memiliki kristal yang bagus dan semakin kristal sehingga memperkuat terbentuk hidroksiapatit pada bilangan gelombang tersebut (Cahyati, 2014).

Gugus fungsi  $\text{OH}^-$  terdeteksi pada sampel hidroksiatit yang dapat dilihat pada Gambar 4.11 dan ditunjukkan pada Tabel 4.11. Keberadaan gugus fungsi  $\text{OH}^-$  pada sampel hidroksiapatit menunjukkan terdapat kandungan  $\text{H}_2\text{O}$  didalam permukaan sampel. Gugus  $\text{OH}^-$  pada sampel hidroksiapatit (A, B, C, D dan E) puncak  $\text{OH}^-$  terlihat tidak tajam yang berarti kandungan  $\text{H}_2\text{O}$  di dalam sampel hidroksiatit dalam jumlah sedikit (Cahyati, 2014).

Gugus fungsi  $\text{PO}_4^{3-}$  dan  $\text{OH}^-$  muncul dengan puncak yang tajam, hal ini menandakan hasil sintesis

hidroksiapatit memiliki kristal yang baik. Menurut Arrafiqie *et al* (2016) mensintesis hidroksiapatit dengan metode hidrotermal menunjukkan semakin tajam puncak gugus  $\text{PO}_4^{3-}$  dan  $\text{OH}^-$  maka kristal semakin baik, yang berarti hasil hidroksiapatit yang diperoleh semakin baik.

Gugus fungsi  $\text{CO}_3^{2-}$  sampel hidroksiapatit (A, B, C, D dan E) seperti yang terlihat pada Gambar 4.11 dan ditunjukkan Tabel 4.11, keberadaan  $\text{CO}_3^{2-}$  dalam senyawa hidroksiapatit menjadi inhibitor pertumbuhan kristal dalam sintesis hidroksiapatit. Spektrum FTIR sampel hidroksiapatit puncak gugus fungsi  $\text{CO}_3^{2-}$  tampak tumpul, hal ini berarti keberadaan unsur  $\text{CO}_3^{2-}$  di dalam sampel hidroksiapatit sedikit. Menurut Yahya *et al* (2016) dan Arrafiqie *et al* (2016) spektrum FTIR hidroksiapatit gugus fungsi  $\text{CO}_3^{2-}$  berpucak tumpul. Keberadaan  $\text{CO}_3^{2-}$  tidak dapat dibilang buruk karena  $\text{CO}_3^{2-}$  merupakan substitusi  $\text{PO}_4^{3-}$  yang secara natural yang mengikuti persamaan  $\text{Ca}_{10}(\text{CO}_3)\text{x}(\text{PO}_4)_{6-(2/3)}\text{x(OH)}_2$  atau disebut *Carbonated-Hydroxyapatite* (Muliati, 2016). Keberadaan gugus  $\text{CO}_3^{2-}$  pada sampel hidroksiapatit (A, B, C, D dan E) menunjukkan keberadaan senyawa apatit karbon tipe A. Hasil analisis spektrum FTIR sampel hidroksiapatit

(Gambar 4.11) seirama dengan hasil analisis XRD (Gambar 4.3) yang menunjukkan terdapat kandungan senyawa apatit karbonat tipe A dalam sampel hidroksiapatit (C, D, dan E). Menurut Fajrin (2014) dari hasil penelitian hidroksiapatit keberadaan apatit karbonat tipe A atau B dengan jumlah yang kecil tidak membahayakan tubuh karena apatit karbonat termasuk bagian dari tubuh.

Spektrum FTIR gugus fungsi  $\text{PO}_4^{3-}$  pada sampel hidroksiapatit (A, B, C, D dan E) muncul dengan puncak yang tajam ( $1000 \text{ cm}^{-1}$ ). Puncak gugus fungsi  $\text{PO}_4^{3-}$  pada sampel A (cangkang kerang darah 100%) lebih tajam dibandingkan puncak  $\text{PO}_4^{3-}$  dari sampel B (cangkang telur 100%) sedangkan puncak  $\text{PO}_4^{3-}$  pada campuran antara cangkang kerang darah dan cangkang telur (sampel C, D dan E), sampel D (50%:50%) memiliki puncak  $\text{PO}_4^{3-}$  lebih tajam dibandingkan dengan sampel hidroksiapatit dari C dan E. Hal ini berarti puncak gugus  $\text{PO}_4^{3-}$  semakin tajam seiring dengan banyak komposisi serbuk cangkang kerang darah dalam sintesis hidroksiapatit. Variasi komposisi sampel E (75%:25%) ketajaman puncak  $\text{PO}_4^{3-}$  mengalami naik ke atas. Hal tersebut berarti perbandingan komposisi antara cangkang kerang darah dengan cangkang telur (50%:50%)

merupakan perbandingan komposisi yang optimum dalam sintesis hidroksiapatit, karena menjadi batas maksimum perbandingan komposisi dalam sintesis.

Gugus fungsi  $\text{PO}_4^{3-}$  dari sampel hidroksiapatit (A, B, C, D dan E) mengalami vibrasi yang dapat dilihat pada Tabel 4.12.

Tabel 4. 12 Vibrasi Gugus Fungsi  $\text{PO}_4^{3-}$  Sampel Hidroksiapatit

Nama Sampel	Gugus Fungsi $\text{PO}_4^{3-}$ ( $\text{cm}^{-1}$ )			
	Vibrasi <i>stretching</i> ( $v_1$ )	Vibrasi <i>asimetri stretching</i> ( $v_3$ )	Vibrasi <i>asimetri bending</i> ( $v_4$ )	Vibrasi <i>bending</i> ( $v_2$ )
A (100%)	962,01	1043,76	571,33	-
	-	1089,59	-	-
B (100%)	961,4	1045,24	571,13	-
	-	1091,00	-	-
C (25%:75%)	962,87	1044,59	571,58	-
	-	1089,82	-	-
D (50%:50%)	962,56	1043,85	571,51	-
	-	1089,94	-	-
E (75%:25%)	962,43	1043,86	571,68	-
	-	1089,79	-	-

Vibrasi gugus fungsi  $\text{PO}_4^{3-}$  dari sampel hidroksiapatit (A, B, C, D dan E) terdiri dari vibrasi *stretching*, vibrasi *asimetri stretching* dan vibrasi *asimetri bending*. Vibrasi gugus  $\text{PO}_4^{3-}$  dari sampel hidroksiapatit bersifat tidak simetri, sehingga

menunjukkan bahwa sampel hidroksiapatit hasil sintesis berbentuk kristal (Nurrohmah, 2013). Hasil penelitian Riyanto *et al* (2013) menyebutkan pembentukan hidroksiapatit berada di bilangan gelombang  $1.000\text{ cm}^{-1}$  hingga  $1.100\text{ cm}^{-1}$  gugus  $\text{PO}_4^{3-}$  mengalami vibrasi asimetri stretching dan mengalami vibrasi *asimetris bending* pada bilangan gelombang  $576,30\text{ cm}^{-1}$ .

## BAB V

### PENUTUP

#### A. Kesimpulan

Berdasarkan hasil penelitian dapat diambil kesimpulan sebagai berikut :

- a. Hasil analisis XRD puncak-puncak difraksi menunjukkan pola difraksi sampel hidroksiapatit yang mendekati *database* hidroksiapatit JCPDS 9-0432 dan memiliki struktur kristal heksagonal dengan parameter kisi  $a = b$  9,404 Å  $c = 6,675\text{\AA}$ .
- b. Hasil uji SEM dari sampel hidroksiapatit menunjukkan morfologi sampel hidroksiapatit berbentuk gumpalan-gumpalan dengan ukuran berbeda-beda dan terdapat pori diantara dua gumpalan dengan rata-rata ukuran pori 1,00  $\mu\text{m}$  – 3,37  $\mu\text{m}$ . Tingkat kekasaran dari permukaan sampel hidroksiapatit yaitu dari 194,4 nm – 275,7 nm.
- c. Hasil spektrum FTIR, pada setiap sempel hidroksiapatit terdapat gugus fungsi  $\text{PO}_4^{3-}$ ,  $\text{OH}^-$  dan  $\text{CO}_3^{2-}$  yang merupakan gugus fungsi dari hidroksiapatit

## B. Saran

Berdasarkan hasil penelitian, saran yang dapat diberikan antara lain :

- a. Hidroksiapatit dari cangkang kerang darah dan cangkang telur memiliki pori makro jika diaplikasikan sebagai gigi tiruan akan mempengaruhi kuat tekan gigi sehingga belum memenuhi ukuran pori pada gigi. Oleh karena itu, perlu dilakukan penelitian lebih lanjut dengan mengendalikan ukuran pori dengan menambahkan bahan seperti kitosan, galatin, sehingga pori sesuai dengan keperluan gigi tiruan dan menggunakan ayakan yang ukuran *mesh* besar, agar tingkat kekasaran permukaan hidroksiapatit tidak besar serta ukuran pori sesuai dengan keperluan gigi tiruan.
- b. Pembuatan hidroksiapatit perlu dilakukan penelitian lebih lanjut dengan memvariasi komposisi yang berbeda dan pengujian karakterisasi yang lain.

## **DAFTAR PUSTAKA**

- Abbas, Y. W. dan B. 2011. Sintesis dan Karakterisasi Pasta *Injectable Bone Substitute Irradiasi* Berbasis Hidroksiapatit. *Jurnal Ilmiah Ap Likasi Isotop Dan Radias.* 7(2) : 73–82
- Adiatama, P. 2018. Peremberdayaan Masyarakat Desa Panjangrejo Bantul Yogyakarta Sebagai Upaya Mewujudkan Desa Sehat Gigi Dan Mulut 2030. *Jurnal Pengabdian Kepada Masyarakat.* 3(2) : 184–191
- Affandi et al. 2015. Sintesis Hiroksiapatit dari Cangkang Kerang Darah (*Anandara granosa*) dengan Proses Hidrotermal Variasi Rasio Mol Ca/P dan Suhu Sintesis. *Jom FTEKNIK.* 2(2) : 1–8
- Afrizal, G. 2016. Analisa Struktur Mikro Material Substitusi Hidroksiapatit Cangkang Kerang Darah dan Resin Akrilik Bahan Pembuat Gigi untuk Aplikasi Gigi Tiruan. *SURYA TEKNIKA.* 1(4) : 1–9
- Agus Setiabudi, Rifan Hardian, A. mudzakir. 2012. *Karakterisasi Material.* UPI PRESS
- Aida silfia, et al. 2019. Hubungan Tingkat Pengetahuan Dengan Perilaku Pemeliharaan Kesehatan Gigi Dan Mulut Murid Sekolah Dasar. *Jurnal Kesehatan Gigi.* 6 : 45–50

- Akhmad, L. H. 2017. *Gambaran Morfologi Permukaan Gigi Yang Telah Diaplikasi Pasta Cangkang Kerang Darah (Anadara Granosa)*. Skripsi. Makasar. Universitas Hasanuddin
- Anggraini, A. S. 2016. *Preparasi Dan Karakterisasi Limbah Biomaterial Cangkang Kerang Darah (Anadara Granosa) Dari Pantai Muara Gading Mas Sebagai Bahan Dasar Biokeramik*. Skripsi. Bandar Lampung. Universitas Lampung
- Anugrah, M et al. 2019. Sintesis Hidroksiapatit Dari *Precipitated Calcium Carbonate (PCC)* Cangkang Telur Itik Melalui Proses Hidrotermal Dengan Variasi Ph Dan Waktu Reaksi. *Jom FTEKNIK*. 6 (1 Januari s/d Juni) : 1-7
- Arissaputra, T et al. 2018. Sintesis Hidroksiapatit dari *Precipitated Calcium Carbonate (PCC)* Cangkang Telur Itik Melalui Proses Pengendapan dengan Variasi Rasio Ca/P dan Kecepatan Pengadukan. *Jom FTEKNIK*. 5(1 jauari s/d juni) : 1-6
- Arrafiqie et al. 2016. Sintesis Hidroksiapatit dari Limbah Kulit Kerang Lokan (*Geloina expansa*) Dengan Metode Hidrotherma. *Jom FTEKNIK*. 3(1) : 1-8
- Astuti, A. 2016. *Bab IV Karakterisasi Material* (Issue July, pp. 1-12). Universitas Diponegoro.  
<https://doi.org/10.13140/RG.2.1.1589.6567>

- Audrya, H., Azis, Y., Akbar, F., Binawidya, K., Hr, J., & Km, S. 2018. Sintesis Hidroksiapatit dari *Precipitated Calcium Carbonate* ( PCC ) Cangkang Telur Ayam Ras Melalui Proses Sol Gel dengan Variasi Waktu Reaksi dan Waktu Aging. *Jom FTEKNIK*. 5 (1 Januari s/d Juni) : 1–5
- Balgies *et al.* 2011. *Sintesis Dan Karakterisasi Hidroksiapatit Menggunakan Analisis X - Ray Diffraction*. Prosiding Seminar Nasional Hamburan Neutron Dan Sinar-X Ke 8. Serpong, 14 Oktober 2011.
- Cahyaningrum, S. E, *et al.* (2017). *Sintesis Hidroksiapatit Dari Cangkang Telur Menggunakan Metode Pengendapan Basah*. Prosiding Seminar Nasional Kimia UNY. Yogyakarta 17 Oktober 2017.
- Cahyati, C. 2014. *Observasi morfologi dan komposisi hidroksiapatit yang terbuat dari cangkang telur ayam kampung dan ayam ras*. Skripsi. Bogor. Institut Pertanian Bogor.
- Dahlan, K.2013. *Potensi Kerang Ranga sebagai Sumber Kalsium dalam Sintesis Biomaterial Substitusi Tulang*. Prosiding Semirata FMIPA Universitas Lampung 2013 : 147–151.
- Estini, S. 2017. *Pengaruh Metode Simulasi Menggosok Gigi Menggunakan Teknik Bass Terhadap Keterampilan Dan Kebersihan Gigi dan Mulut*. Skripsi. Jombang. Sekolah

- Tinggi Ilmu Kesehatan Insan Cendikia Medika.
- Fadila, R., Fadli, A., & Yenti, S. R. 2019. Sintesis Hidroksiapatit Menggunakan Metode Wet Mechanochemical dengan Variasi Waktu Reaksi dan Rasio Bola Penggiling. *Jom FTEKNIK*, 6 (1) Januari s/d Juni 2019) : 1–6.
- Fa'ida, N. Y. 2014. *Kajian Komposisi Hidroksiapatit Yang Disintesis Dengan Metode Hidrotermal*. Skripsi. Bogor. Institut Pertanian Bogor.
- Fajrin, F. R. 2014. *Pembuatan Dan Karakterisasi Komposit Biomedis Hidroksiapatit-Biopolimer*. Skripsi. Bogor. Institut Pertanian Bogor
- Fatimah, D. A. 2016. *Sintesis Dan Karakterisasi Hidroksiapatit Sebagai Fase Diamkolomkromatografi Untuk Pemurnian Fikobiliprotein Oscillatoria Sp*. Skripsi. Bandar Lampung. Universitas Lampung.
- Fitriana. 2012. *Analisis Tingkat Kekerasan Gigi Pada Simulasi Karies Gigi Dengan Inhibisi Ekstrak Daun Sirih (Piper betle L.)*. Skripsi. Jember. Universitas Jember.
- Hardiyanti. 2016. *Sintesis Dan Karakterisasi Hidroksiapatit Dari Limbah Tulang Ikan (Thunnus albacores) Dengan Metode Hidrotermal*. Skripsi. Makassar. UIN Alauddin.
- Harahap, A. W. 2015. Sintesis Hidroksiapatit melalui

*Precipitated Calcium Carbonate ( PCC ) Cangkang Kerang Darah dengan Metode Hidrotermal pada Variasi pH dan Waktu Reaksi.* *Jom FTEKNIK*, 2(2) : 1–8.

Herawaty, L. 2014. *Sintesis Nano Hidroksiapatit Dari Cangkang Tutut (Bellamya javanica) Dengan Metode Presipitasi Dan Hidrotermal.* Tesis. Bogor. Institut Pertanian Bogor.

Herdianto, N. 2011. *Studi Bioresorbabilitas Biokeramik Biphasic Calcium Phosphate (Bcp) Sebagai Material Pengganti Tulang.* Tesis. Jakarta. Universitas Indonesia.

Herliansyah, M. K., Hamdi, M., Ide-ektessabi, A., Wildan, M. W., & Toque, J. A. (2009). The influence of sintering temperature on the properties of compacted bovine hydroxyapatite. *Materials Science & Engineering C*, 29(5): 1674–1680.

<https://doi.org/10.1016/j.msec.2009.01.007>

Hidayat, N. N. 2012. *Sintesis dan Karakterisasi sifat Makroskopik Nano-Komposit Hidroksiapatit/Kitosan (n-HAp/CS) untuk Aplikasi Implan Tulang* (pp. 6–17). Skripsi. Surabaya. Universitas Airlangga.

Hui, P. 2010. Synthesis of Hydroxyapatite Bio-Ceramic Powder by Hydrothermal Method. *Journal of Minerals & Materials Characterization & Engineering*, 9(8) : 683–692.

- Husna, S. 2014. *Analisis Kandungan Kalsium Dan Daya Terima Pada Modifikasi Cookies Dengan Tepung Cangkang Telur Ayam* (pp. 8–34). Skripsi. Medan. Universitas Sumatera Utara.
- Ismiyati, T. 2016. Uji Sitoksisitas Campuran Resin Akrilik Dengan Kitosan Sebagai Bahan Gigi Tiruan Anti Jamur. *JURNAL TEKNOSAINS*, 5(2) : 97–103.
- Kartikasari, N. D. 2014. *Sintesis Dan Karakterisasi Hidroksiapatit Dari Cangkang Keong Sawah (Pila ampullacea) Dengan Porogen Lilin Sarang Lebah Sebagai Aplikasi Scaffold*. Skripsi. Surabaya. Universitas Airlangga.
- Kencana, P. P. 2017. *Perbedaan kekerasan email gigi yang direndam air perasan nanas dan air perasan jeruk siam secara In Vitro*. Skripsi. Padang. Universitas Andalas.
- Khoirudin, M. 2015. Sintesis Dan Karakterisasi Hidroksiapatit (HAp) Dari Kulit Kerang Darah (Anandara Granosa) Dengan Proses Hidrotermal. *Jom FTEKNIK*, 2(2) : 1–8.
- Marist, A. I. 2011. *Pelapisan Komposit Hidroksiapatit-Kitosan Pada Logam Stainless Steel 316 Untuk Meningkatkan Ketahanan Korosi*. Skripsi. Bogor. Institut Pertanian Bogor.
- Mikrojuddin, A. 2010. Karakterisasi nanomaterial teori,

penerapan, dan pengolahan data. Bandung : CV Rezeki Putra

Muhara, I. 2015. Sintesis Hidroksiapatit Dari Kulit Kerang Darah Dengan Metode Hidrotermal Suhu Rendah. *Jom FTEKNIK*, 2(1) :1-5.

Muliati. 2016. *Sintesis Dan Karakterisasi Hidroksiapatit Dari Tulang Ikan Tuna (Thunus sp) Dengan Metode Sol-Gel.* Skripsi. Makassar. UIN Alauddin.

Muntamah. 2011. *Sintesis dan karakterisasi hidroksiapatit dari limbah cangkang kerang darah (Anadara granosa, sp).* Tesis. Bogor. Institut Pertanian Bogor.

Mutmainnah. 2016. *Sitesis Dan Karakterisasi Hidroksiapatit Dari Tulang Ikan Tuna Sirip Kuning (Thunnus albacores) Dengan Metode Presipitasi.* Skripsi. Makassar. UIN Alauddin.

Nagir, M. T. 2013. *Morfometri Kerang Darah Anadara Granosa L Pada Beberapa Pasar Rakyat Makassar Sulawesi Selatan.* Skripsi. Makassar. Universitas Hasanuddin.

Napitupulu, R. L. Y. R. A. I. E. 2019. Hubungan Perilaku Menyikat Gigi, Keasaman Air, Pelayanan Kesehatan Kesehatan Gigi Terhadap Karies Di Man 2 Batola. *Jurnal Kedokteran Gigi*, III (1) : 17-22

- Ningsih, R. P. 2014. Sintesis Hidroksiapatit Dari Cangkang Kerang Kepah (*Polymesoda erosa* ) Dengan Variasi Waktu Pengadukan. *JKK*, 3(1) : 22–26.
- Nurdina, A. 2016. *Preparasi Dan Karakterisasi Limbah Biomaterial Cangkang Kerang Simping (Amusium pleuronectes) Dari Daerah Teluk Lampung Sebagai Bahan Dasar Biokeramik*. SKripsi. Bandar Lampung. Universitas Lampung.
- Nurrohmah. 2013. *Material Biokeramik Berbasis Hidroksiapatit Tulang Ikan Tuna*. Skripsi. Bogor. Institut Pertanian Bogor.
- Ozawa, M., & Suzuki, S. (2002). Microstructural Development of Natural Hydroxyapatite Originated from Fish-Bone Waste through Heat Treatment. *J.Communications of the American Ceramic Society*, 85(5), 1315–1317.
- Permada, B. 2013. *Kajian Struktur Dan Morfologi Hidroksiapatit Yang Disintesis Menggunakan Metode Hidrotermal*. Skripsi. Bogor. Institut Pertanian Bogor.
- Pallela, R., Venkatesan, J., & Kwon, S. (2011). Polymer aAssisted Isolation of Hydroxyapatite from Thunnus obesus bone. *Journal Ceramics International*, 37(8), 3489–3497.  
<https://doi.org/10.1016/j.ceramint.2011.06.004>

Prabaningtyas, R. A. M. S. 2015. *Karakterisasi Hidroksiapatit Dari Kalsit (Pt. Dwi Selo Giri Mas Sidoarjo) Sebagai Bone Graft Sintetis Menggunakan X-Ray Diffractometer (XRD) Dan Fourier Transform Infra Red (FTIR)*. Skripsi. Jember. Universitas Jember.

Pratiwi, D. I et al. 2015. Pengaruh Suhu Reaksi dan Kecepatan Pengadukan pada Sintesa Hidroksiapatit dari Kulit Kerang Darah (*Anadara Granosa*) dengan Metode Hidrotermal Suhu Rendah. *Jom FTEKNIK*, 2(2) : 1–10.

Purnama, F. 2006. Pengaruh Suhu Reaksi Terhadap Derajat Kristalinitas Dan Komposisi Hidroksiapatit Dibuat Dengan Mediaair Dan Cairan Tubuh Buatan (*Synthetic Body Fluid*). *Jurnal Sains Materi Indonesia*, ISSN: 1411, 154–159.

Putri, A. A. M. 2012. *Metode Single Drop Pada Pembuatan Hidroksiapatit Berbasis Cangkang Telur*. Skripsi. Bogor. Institut Pertanian Bogor.

Rahayu, S et al. 2018. Pemanfaatan Limbah Cangkang Kerang Mutiara (*Pinctada maxima*) Sebagai Sumber Hidroksiapatit. *Jurnal Pendidikan Fisika Dan Teknologi*, 4(2) : 226–231.

Ramlan, J. Z. 2015. *Pengaruh Pemanasan Berulang Terhadap Kekerasan Basis Gigi tiruan Akrilik*. Skripsi. Makassar.

Universitas Hasanuddin.

Riyanto, B. 2013. Material Biokeramik Berbasis Hidroksiapatit Tulang Ikan Tuna. *JPHPI*, 16(2) : 119–132.

Rusnah M, R. M. dan Y. A. 2014. Hydroxyapatite From Cockle Shell As A Potential Biomaterial For Bone Graft. *Regenerative Research*, 3(1) : 52–55.

Sadewi, B. P. 2015. *Pengaruh Penambahan Aditif Polistiren pada Karakteristik Semen Gigi Zinc Oxide Eugenol Secara In Vivo*. Skripsi. Surabaya. Universitas Airlangga.

Saleha. 2015. Sintesis Dan Karakterisasi Hidroksiapatit dari Nanopartikel Kalsium Oksida ( CaO ) Cangkang Telur Untuk Aplikasi Dental Implan. *Prosiding Pertemuan Ilmiah XXIX HFI Jateng & DIY*, Yogyakarta, April pp :124–127.

Sandewi, N. 2017. *Karakterisasi nanohidroksiapatit dari cangkang telur menggunakan uji sem dan xrd*. Skripsi. Makassar. UIN Alauddin.

Sari, E. D. R. 2018. *Pengaruh Penambahan Kitosan Cangkang Kerang Darah (Anandara granosa) Dengan Lama Penyimpanan Berbeda Terhadap Jumlah Koloni Bakteri Dan Sifat Organoleptik Bakso Daging Sapi Sebagai Sumber Belajar Biologi* (pp. 10–30). Skripsi. Malang. Universitas

Muhammadiyah Malang.

- Sebon, A. 2016. *Pengaruh Penggunaan Pasta Cangkang Telur Ayam Ras (Gallus sp.) Terhadap Kekerasan Mikro Enamel Gigi Setelah Setelah Aplikasi Bahan Bleaching Eksternal (Uji In Vitro)*. Skripsi. Makassar. Universitas Hasanuddin.
- Setiabudi Agus, dkk. 2012. *Karakterisasi Material*. Bandung : UPI PRESS
- Sihombing, J. 2009. *Karakteristik Penderita Karies Gigi Yang Berobat Di Rumah Sakit Umum Dr.Pirngadi Medan*. Skripsi. Medan. Uiversitas Sumatera Utara.
- Shihab, M Quraish. 2002. Tafsir Al-Misbah pesan, kesan dan keserasian Al-qur'an. Volume 10. Jakarta. Lentara Hati.
- Siswanto, C. H. 2013. *Sintesis Dan Pencirian Hidroksiapatit Dari Limbah Cangkang Kerang Hijau Dengan Metode Kering*. Skripsi. Bogor. Institut Pertanian Bogor.
- Sopyan, A. S. F. & I. 2009. Low temperature hydrothermal synthesis of calcium phosphate ceramics : Effect of excess Ca precursor on phase behaviour. *Journal of Chemistry*, 48(November) pp :1492–1500.
- Suryadi. 2011. *Sintesis dan Karakterisasi Biomaterial Hidroksiapatit dengan Proses Pengendapan Kimia Basah*. Tesis. Jakarta. Universitas Indonesia.

Suryanarayana, C. 1998. EXPERIMENTAL MODULE 2 Crystal Structure Determination. II: Hexagonal Structures. In *X-Ray Diffraction* (pp. 125–126). Springer Science+Business Media.

Syam, W. M. 2016. *Optimalisasi kalsium karbonat dari cangkang telur untuk produksi pasta komposit*. Skripsi. Makassar. UIN Alauddin.

Tyas, R. Widyaning. 2014. *Studi karakteristik hidroksiapatit dari cangkang telur ayam ras dan ayam kampung*. Skripsi. Bogor. Institut Pertanian Bogor.

Ulfah, U. 2016. *Preparasi Dan Karakterisasi Limbah Biomaterial Cangkang Kerang Hijau (Perna viridis) Dari Pantai Labuhan Maringga Sebagai Bahan Dasar Biokeramik*. Skripsi. Bandar Lampung. Universitas Lampung.

Wadu, I. 2017. *Sintesa Dan Karakterisasi Biokeramik Hidroksiapatit (Hap) Dari Kerabang Telur Ayam Sebagai Agen Antibakteri Karies Gigi (Lactobacillus acidophilus)*. Skripsi. Salatiga. Universitas Kristen Satya Wacana.

Walendra, Y. 2012. *Sintesis Dan Karakterisasi Hidroksiapatit Berpori Dari Cangkang Kerang Darah (Anandara granosa) Dengan Porogen Lilin Lebah*. Skripsi. Bogor. Institut Pertanian Bogor.

- Wardani, N. S. 2015. Presipitasi, Sintesis Hidroksiapatit dari Cangkang Telur dengan Metode Presipitasi. *Jom FTEKNIK*, 3(1) pp : 1–6.
- Yahya, M *et al.* 2016. Sintesis Hidroksiapatit dari Precipitated Calcium Carbonate (PCC) Kulit Telur Ayam Melalui Proses Hidrotermal Muhammad. *Jom FTEKNIK*, 3(1) :1–8.
- Zhang, Y., Liu, Y., Ji, X., Banks, C. E., & Song, J. 2011. Flower-like Agglomerates of Hydroxyapatite Crystals Formed on an Egg-Shell Membrane. *Colloids and Surfaces B: Biointerfaces*, 82 (2), pp : 490–496.  
<https://doi.org/10.1016/j.colsurfb.2010.10.006>

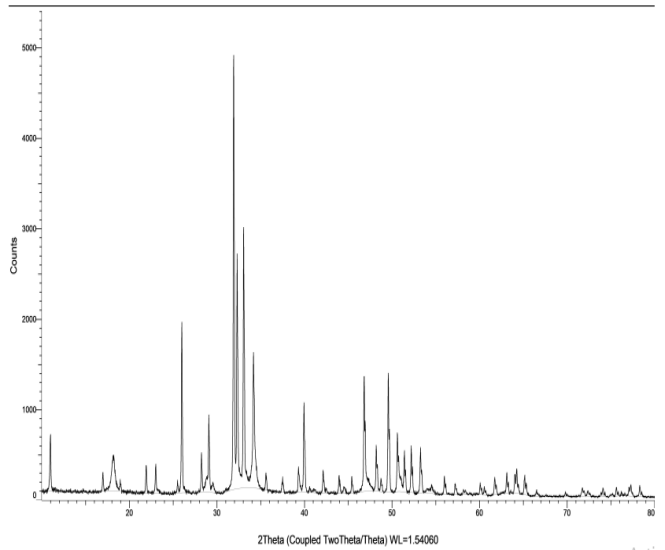
## **LAMPIRAN - LAMPIRAN**

## Lampiran 1 Hasil uji XRD

### 1. Hasil Uji Sampel A

3367-1 CK 100% raw, 1/3/2020 8:10:15 AM

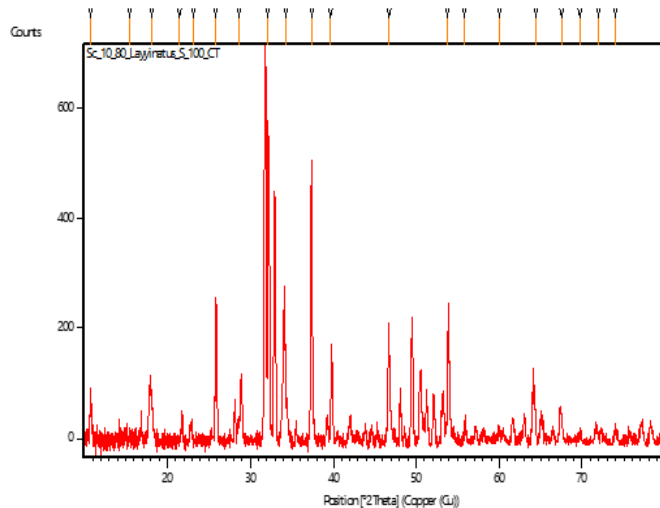
(Coupled TwoTheta/Theta)



FWHM	Chord Mid.	I. Breadth	Gravity C.	d (Gravity C.)	Raw Area	Net Area
0.121	10.972 °	0.131	10.971 °	8.05814 Å	1.987	1.182
0.120	25.996 °	0.128	25.996 °	3.42480 Å	4.416	3.528
0.127	29.098 °	0.124	29.099 °	3.06625 Å	2.247	1.325
0.140	31.932 °	0.140	31.927 °	2.80079 Å	12.28	9.721
0.137	32.328 °	0.133	32.329 °	2.76693 Å	6.981	4.630
0.142	33.073 °	0.144	33.072 °	2.70645 Å	8.035	5.894
0.185	34.209 °	0.228	34.224 °	2.61794 Å	7.902	4.744
0.170	39.980 °	0.159	39.976 °	2.25350 Å	3.234	2.301
0.086	46.812 °	0.085	46.810 °	1.93919 Å	2.502	1.005
0.078	49.571 °	0.085	49.567 °	1.83759 Å	2.609	1.131

## 2. Hasil Uji Sampel B

**Main Graphics, Analyze View:** (Bookmark 2)



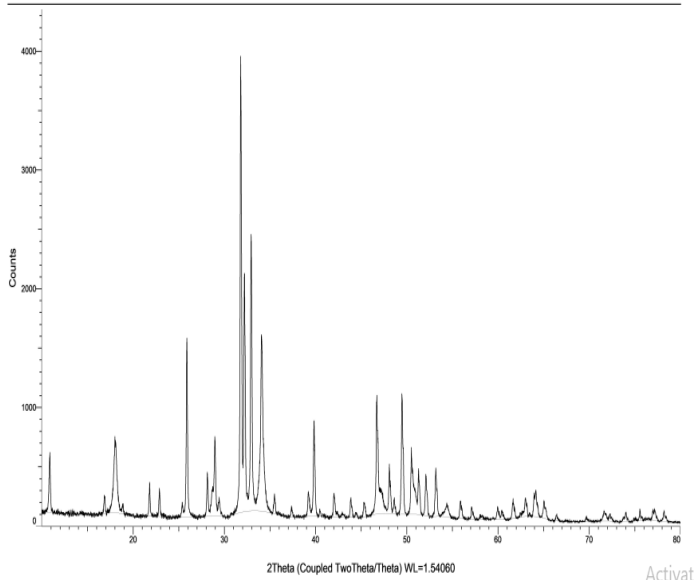
**Peak List:** (Bookmark 3)

Pos. [ $^{\circ}$ 2Th.]	Height [cts]	FWHM Left [ $^{\circ}$ 2Th.]	d-spacing [Å]	Rel. Int. [%]
10,7009	31,34	0,9446	8,26769	8,07
15,4969	1,71	0,6298	5,71809	0,44
18,1246	71,47	0,6298	4,89457	18,40
21,4740	3,63	0,6298	4,13812	0,94
23,1364	2,62	0,6298	3,84442	0,67
25,7976	80,36	0,9446	3,45356	20,69
28,6302	31,80	0,9446	3,11799	8,19
32,0352	388,38	0,9446	2,79393	100,00
34,2793	112,06	0,6298	2,61599	28,85
37,3591	187,97	0,9446	2,40711	48,40
39,6597	47,87	0,9446	2,27262	12,33
46,7677	101,57	0,6298	1,94245	26,15
53,7332	90,65	0,9446	1,70593	23,34
55,7964	8,47	0,6298	1,64765	2,18
59,9912	12,60	0,6298	1,54208	3,24
64,4408	21,05	0,9446	1,44593	5,42
67,4678	26,64	0,9446	1,38823	6,86
69,6753	2,56	0,9446	1,34955	0,66
71,9243	8,87	0,9446	1,31279	2,28
73,9793	6,63	0,6298	1,28133	1,71

### 3. Hasil Uji Sampel C

3367-2 CK\_CT 25%\_75%.raw, 1/3/2020 9:35:11 AM

(Coupled TwoTheta/Theta)



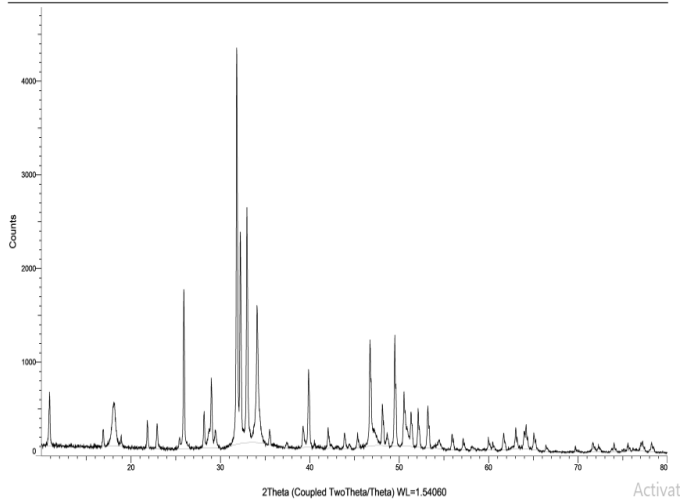
Activat

d (Obs. Max)	Gross Int.	Net Height	FWHM	Chord Mid.	I. Breadth	Gravity C.
8.13946 Å	9.29	6.80	0.157	10.851 °	0.156	10.854 °
4.90999 Å	11.2	8.96	0.356	18.036 °	0.401	18.038 °
3.43801 Å	24.0	22.0	0.140	25.897 °	0.157	25.897 °
2.81124 Å	59.9	53.3	0.159	31.813 °	0.165	31.811 °
2.77703 Å	32.4	25.7	0.151	32.221 °	0.157	32.222 °
2.71678 Å	37.3	33.4	0.167	32.952 °	0.181	32.956 °
2.62763 Å	24.6	21.4	0.248	34.109 °	0.335	34.120 °
2.26124 Å	13.5	11.7	0.178	39.852 °	0.190	39.857 °
1.94293 Å	16.7	14.3	0.222	46.757 °	0.287	46.848 °
1.84036 Å	16.8	15.1	0.227	49.525 °	0.221	49.517 °

#### 4. Hasil Uji Sampel D

3367-3 CK\_CT 50%\_50% (1).raw, 1/3/2020 9:43:40 AM

(Coupled TwoTheta/Theta)

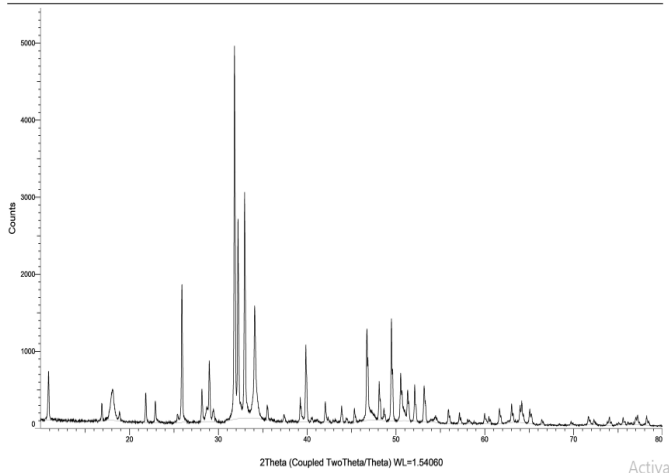


d (Obs. Max)	Gross Int.	Net Height	FWHM	Chord Mid.	I. Breadth	Gravity C.
8.11460 Å	10.3	8.28	0.146	10.880 °	0.155	10.875 °
3.43506 Å	26.9	24.8	0.137	25.921 °	0.148	25.920 °
3.07693 Å	12.4	10.0	0.155	29.000 °	0.210	28.938 °
2.80843 Å	65.9	59.3	0.147	31.844 °	0.157	31.843 °
2.77475 Å	36.4	29.5	0.150	32.251 °	0.149	32.251 °
2.71414 Å	40.0	35.4	0.161	32.986 °	0.170	32.987 °
2.62573 Å	24.2	20.2	0.212	34.129 °	0.268	34.141 °
2.25926 Å	13.9	12.0	0.188	39.889 °	0.196	39.889 °
1.94191 Å	18.7	15.7	0.200	46.778 °	0.195	46.773 °
1.83959 Å	19.3	17.6	0.200	49.544 °	0.198	49.541 °

## 5. Hasil Uji Sampel E

3367-4 CK\_CT 75%\_25%.raw, 1/3/2020 9:49:04 AM

(Coupled TwoTheta/Theta)



Activa

d (Obs. Max)	Gross Int.	Net Height	FWHM	Chord Mid.	I. Breadth
8.12267 Å	11.2	9.17	0.126	10.881 °	0.144
3.43726 Å	28.5	26.2	0.126	25.906 °	0.136
3.07805 Å	13.2	9.93	0.135	29.001 °	0.134
2.80990 Å	75.3	69.2	0.140	31.836 °	0.142
2.77599 Å	41.1	34.7	0.137	32.236 °	0.135
2.71495 Å	46.1	41.7	0.148	32.979 °	0.154
2.62742 Å	24.0	20.4	0.195	34.114 °	0.253
2.25995 Å	16.3	14.2	0.169	39.886 °	0.164
1.94226 Å	19.8	10.0	0.089	46.723 °	0.088
1.84018 Å	21.5	13.0	0.078	49.487 °	0.084

## Lampiran 2 Hasil UJI FTIR

### 1. Hasil Uji Sampel A

PerkinElmer Spectrum Version 10.03.06  
Monday, November 25, 2019 11:15 PM

---

#### Report

Filename Layinatus Sifah CF 100\_1  
Analyst Administrator  
Description Sample CF 100 By Administrator Date Monday, November 25 2019

#### Sample Details

Creation Date 11/25/2019 11:14:25 PM  
X-Axis Units cm-1  
X-Axis start value 4000  
X-Axis end value 400  
Data interval -1  
Number of points 3601  
Y-Axis Units %T

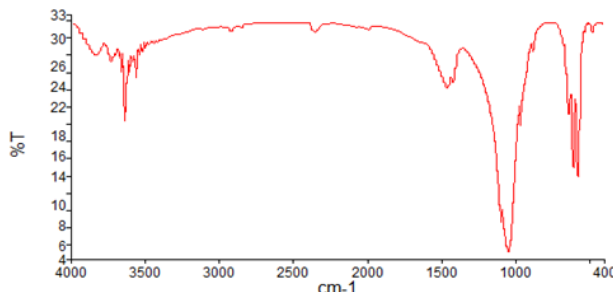
#### Instrument

Instrument Model Frontier FT-IR  
Instrument Serial Number 96681  
Software Revision CPU32 Main 00.09.9951 07-September-2011 11:49:41  
Number of Scans 3  
Resolution 4

#### History

Who	What	When	Parameters	Comment
Administrator	Created as New Dataset	11/25/2019 11:14:25 PM		Sample CF 100 By Administrator Date Monday, November 25 2019
Administrator	Atmospheric Correction	11/25/2019 11:14:25 PM		
Administrator	DataTuneUp	11/25/2019 11:14:30 PM	"Layinatus Sifah CF 100", "AutoSmooth", "AutoFlat2", "4000", "400"	

### Spectrum Graph



Name	Description
Layinatus Sifah CF 100_1	Sample CF 100 By Administrator Date Monday, November 25 2019

### Peak Table Results

SpectrumName
Layinatus Sifah CF
100_1

PeakName	X	Y
23	472.97	30.85
22	571.33	13.92
21	601.43	15.06
20	631.33	21.21
19	669.79	29.2
18	874.65	28.61
17	962.01	19.96
16	1043.76	5.06
15	1089.59	8.65
14	1412.9	24.96
13	1458.36	24.18
12	2360.27	30.85
11	3504.47	29
10	3526.19	28.55
9	3547.33	28.18
8	3568.45	25.61
7	3589.07	27.37
6	3616.42	26.18
5	3645.89	20.44
4	3673.05	26.18
3	3690.92	28
2	3736.62	27.39
1	3840.09	28.15

## 2. Hasil Uji Sampel B

PerkinElmer Spectrum Version 10.03.06  
Thursday, October 31, 2019 11:12 PM

### Report

Filename Layyinatus Sifah Sampel 01\_1  
Analyst Administrator  
Description Sample 01 By Administrator Date Thursday, October 31 2019

### Sample Details

Creation Date 10/31/2019 11:11:45 PM  
X-Axis Units cm-1  
X-Axis start value 4000  
X-Axis end value 400  
Data interval -1  
Number of points 3801  
Y-Axis Units %T

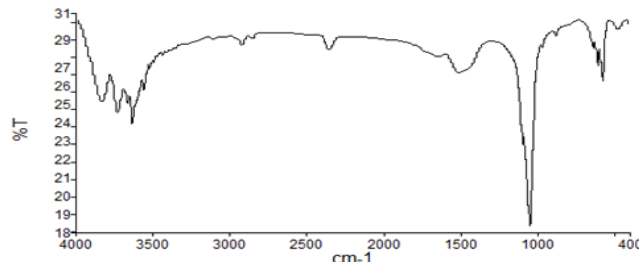
### Instrument

Instrument Model Frontier FT-IR  
Instrument Serial Number 98681  
Software Revision CPU32 Main 00.09.9951 07-September-2011 11:49:41  
Number of Scans 3  
Resolution 4

### History

Who	What	When	Parameters	Comment
Administrator	Created as New Dataset	10/31/2019 11:11:45 PM		Sample 01 By Administrator Date Thursday, October 31 2019
Administrator	Atmospheric Correction	10/31/2019 11:11:45 PM		
Administrator	DataTuneUp	10/31/2019 11:11:51 PM	"Layyinatus Sifah Sampel 01", "AutoSmooth", "AutoFlat2", "4000", "400"	
Administrator	Smooth	10/31/2019 11:12:03 PM	"Layyinatus Sifah Sampel 01_1", 35.00, 1, "Result.sp"	

# Spectrum Graph



Name	Description
Layyinatus Sifah Sampel 01_1	Sample 01 By Administrator Date Thursday, October 31 2019

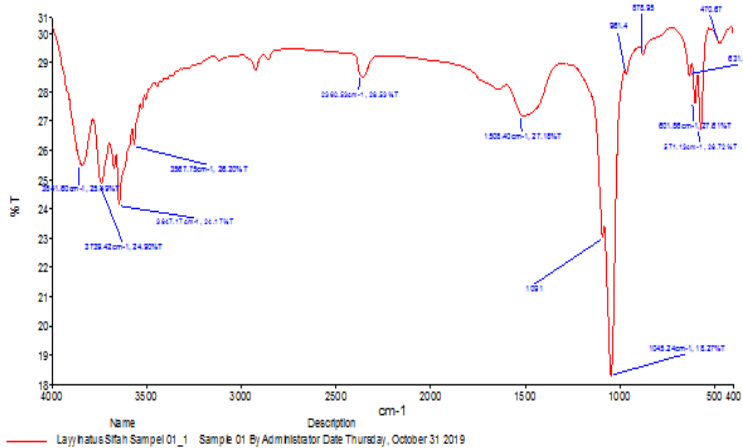
## Peak Table Results

### SpectrumName

Layyinatus Sifah

Sampel 01\_1

PeakName	X	Y
9	571.13	26.72
8	601.86	27.61
7	1045.24	18.27
6	1508.4	27.18
5	2360.53	28.53
4	3567.75	26.2
3	3647.17	24.17
2	3739.42	24.9
1	3841.6	25.49



### 3. Hasil Uji Sampel C

PerkinElmer Spectrum Version 10.03.08  
Monday, November 25, 2019 11:15 PM

---

#### Report

Filename Layinatus sifah CF CT 25 75 1  
Analyst Administrator  
Description Sample CF:CT=25%:75% By Administrator Date Monday, November 25 2019

#### Sample Details

Creation Date 11/25/2019 10:22:00 PM  
X-Axis Units cm-1  
X-Axis start value 4000  
X-Axis end value 400  
Data interval -1  
Number of points 3801  
Y-Axis Units %T

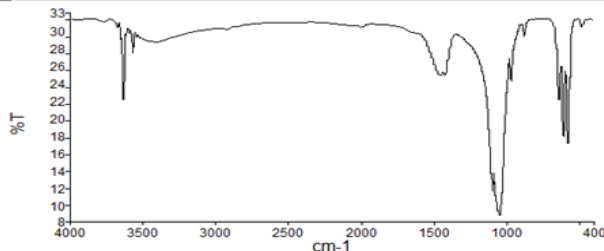
#### Instrument

Instrument Model Frontier FT-IR  
Instrument Serial Number 98881  
Software Revision CPU32 Main 00.09.9951 07-September-2011 11:49:41  
Number of Scans 3  
Resolution 4

#### History

Who	What	When	Parameters	Comment
Administrator	Created as New Dataset	11/25/2019 10:22:00 PM		Sample CF:CT=25%:75% By Administrator Date Monday, November 25 2019
Administrator	Atmospheric Correction	11/25/2019 10:22:00 PM		
Administrator	DataTuneUp	11/25/2019 10:22:07 PM	"Layinatus sifah CF_CT_25_75", "AutoSmooth", "AutoFlat2", "4000", "400"	

## Spectrum Graph

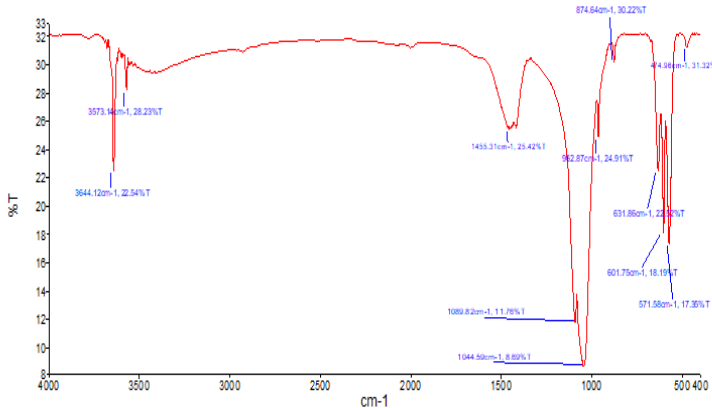


Name	Description
Layinatus sifah CF_CT_25_75_1	Sample CF:CT=25%:75% By Administrator Date Monday, November 25 2019

### Peak Table Results

SpectrumName
Layinatus sifah CF_CT_25_75_1

PeakName	X	Y
13	474.96	31.32
12	571.68	17.35
11	601.75	18.19
10	631.86	22.52
9	874.64	30.22
8	962.87	24.61
7	1044.59	8.69
6	1089.82	11.76
5	1455.31	25.42
4	3435.48	28.48
3	3573.14	28.23
2	3644.12	22.54
1	3690.18	31.18



## 4. Hasil uji Sampel D

PerkinElmer Spectrum Version 10.03.08  
Monday, November 25, 2019 11:15 PM

### Report

Filename Layinatus Sifah CF\_CT\_50\_50\_1  
Analyst Administrator  
Description Sample CF : CT = 50%:50% By Administrator Date Monday, November 25 2019

### Sample Details

Creation Date 11/25/2019 10:35:09 PM  
X-Axis Units cm-1  
X-Axis start value 4000  
X-Axis end value 400  
Data interval -1  
Number of points 3601  
Y-Axis Units %T

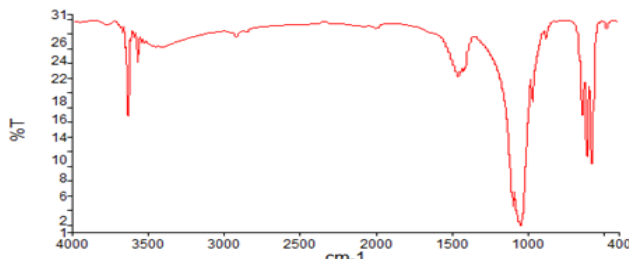
### Instrument

Instrument Model Frontier FT-IR  
Instrument Serial Number 98881  
Software Revision CPU32 Main 00.09.9951 07-September-2011 11:49:41  
Number of Scans 3  
Resolution 4

### History

Who	What	When	Parameters	Comment
Administrator	Created as New Dataset	11/25/2019 10:35:09 PM		Sample CF : CT = 50%:50% By Administrator Date Monday, November 25 2019
Administrator	Atmospheric Correction	11/25/2019 10:35:09 PM		
Administrator	DataTuneUp	11/25/2019 10:37:30 PM	"Layinatus Sifah CF_CT_50_50", "AutoSmooth", "AutoFlat2", "4000", "400"	

## Spectrum Graph

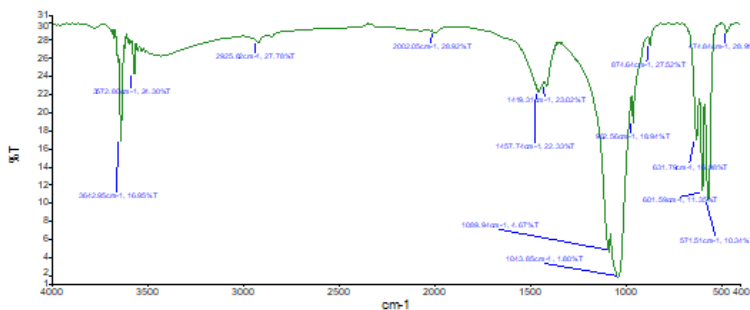


Name	Description
Layinatus Sifah CF_CT_50_50_1	Sample CF : CT = 50%:50% By Administrator Date Monday, November 25 2019

### Peak Table Results

SpectrumName
Layinatus Sifah CF_CT_50_50_1

PeakName	X	Y
17	474.84	28.91
16	571.51	10.34
15	601.59	11.35
14	631.79	16.98
13	874.64	27.52
12	962.56	18.94
11	1043.85	1.8
10	1089.94	4.67
9	1419.31	23.02
8	1457.74	22.33
7	2002.05	28.92
6	2925.82	27.78
5	3435.75	26.33
4	3572.8	24.3
3	3601.91	27.67
2	3642.95	16.95
1	3680.12	28.29



## 5. Hasil uji Sampel E

PerkinElmer Spectrum Version 10.03.06  
Monday, November 25, 2019 11:16 PM

### Report

Filename Layinatus Sifah CF\_CT\_75\_25\_1  
Analyst Administrator  
Description Sample CF:CT=75%:25% By Administrator Date Monday, November 25 2019

### Sample Details

Creation Date 11/25/2019 10:49:43 PM  
X-Axis Units cm-1  
X-Axis start value 4000  
X-Axis end value 400  
Data interval -1  
Number of points 3601  
Y-Axis Units %T

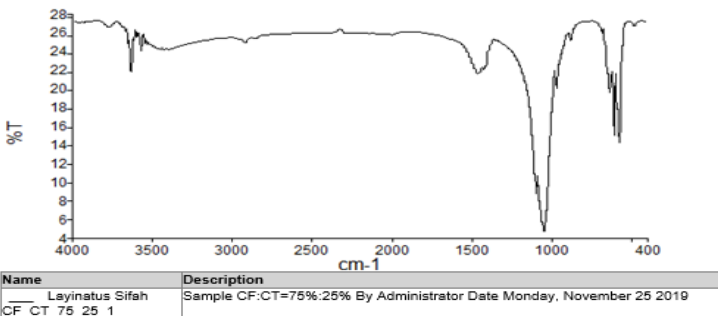
### Instrument

Instrument Model Frontier FT-IR  
Instrument Serial Number 98681  
Software Revision CPU32 Main 00.09.9951 07-September-2011 11:49:41  
Number of Scans 3  
Resolution 4

### History

Who	What	When	Parameters	Comment
Administrator	Created as New Dataset	11/25/2019 10:49:43 PM		Sample CF:CT=75%:25% By Administrator Date Monday, November 25 2019
Administrator	Atmospheric Correction	11/25/2019 10:49:43 PM		
Administrator	DataTuneUp	11/25/2019 11:04:23 PM	"Layinatus Sifah CF_CT_75_25", "AutoSmooth", "AutoFlat2", "4000", "400"	

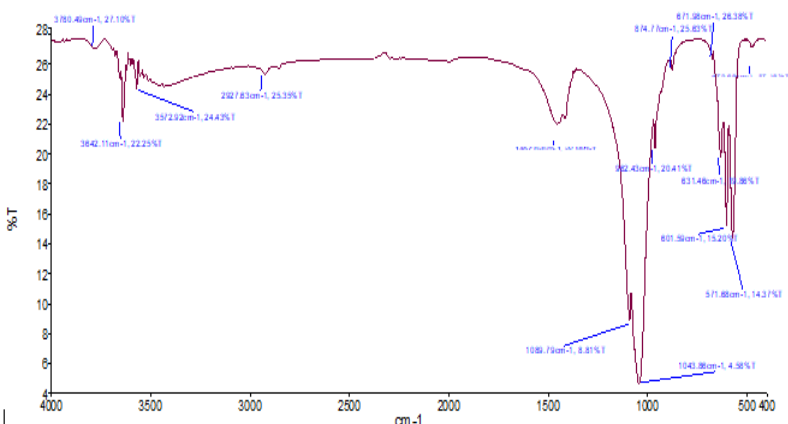
## Spectrum Graph



**Peak Table Results**

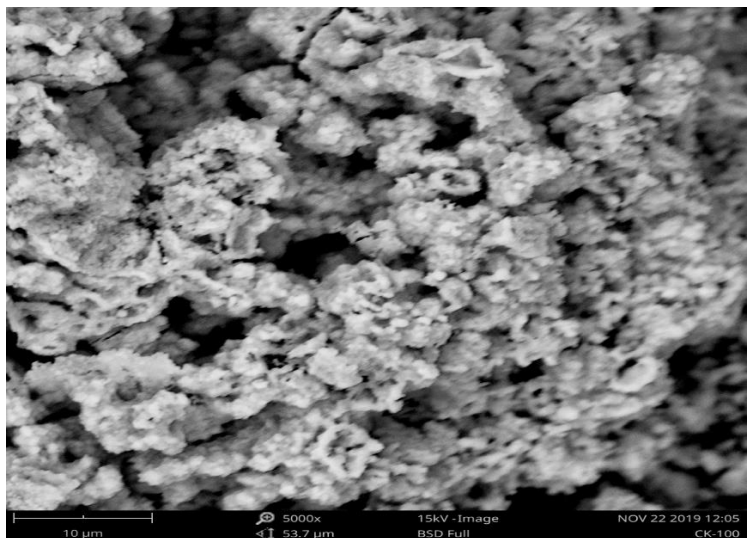
SpectrumName
Layinatus Sifah CF_CT_75_25_1

PeakName	X	Y
16	475.68	27.18
15	571.68	14.37
14	601.59	15.2
13	631.46	19.86
12	671.98	26.38
11	874.77	25.63
10	962.43	20.41
9	1043.86	4.58
8	1089.79	8.81
7	1457.82	22
6	2927.63	25.35
5	3438.28	24.57
4	3572.92	24.43
3	3842.11	22.25
2	3955.62	25.04
1	3780.49	27.1

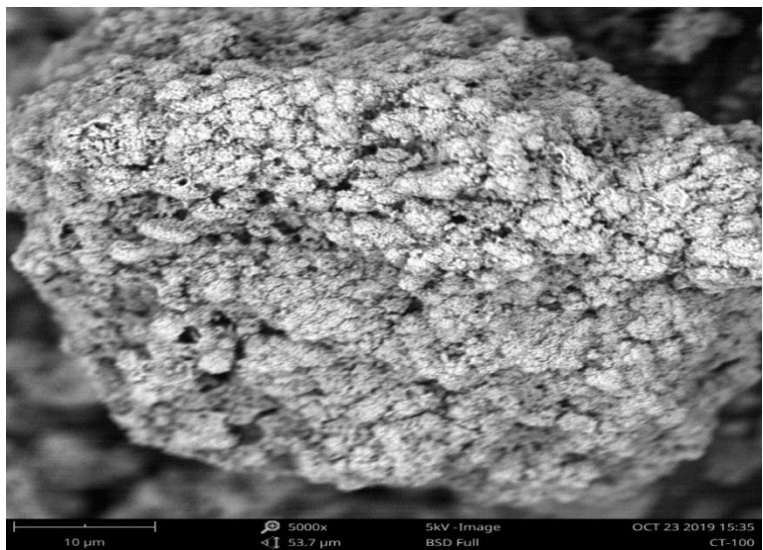


## Lampiran 3 Hasil Uji SEM

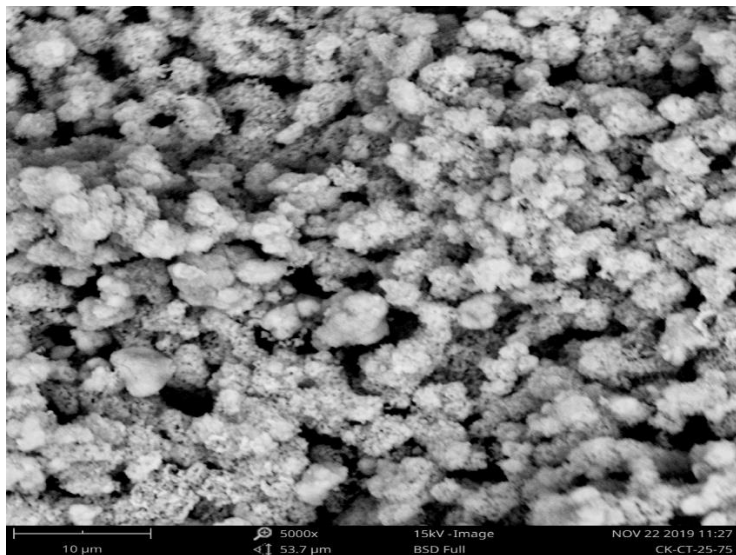
### 1. Hasil Uji SEM Sampel A



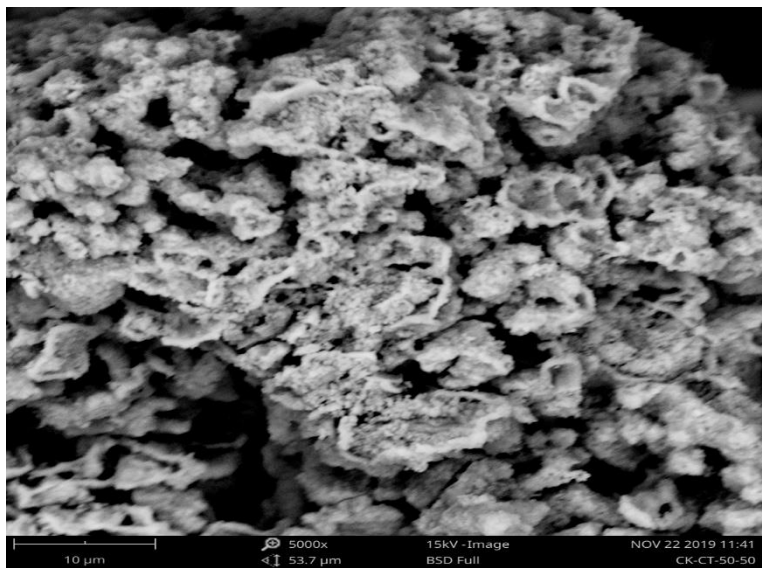
### 2. Hasil Uji SEM Sampel B



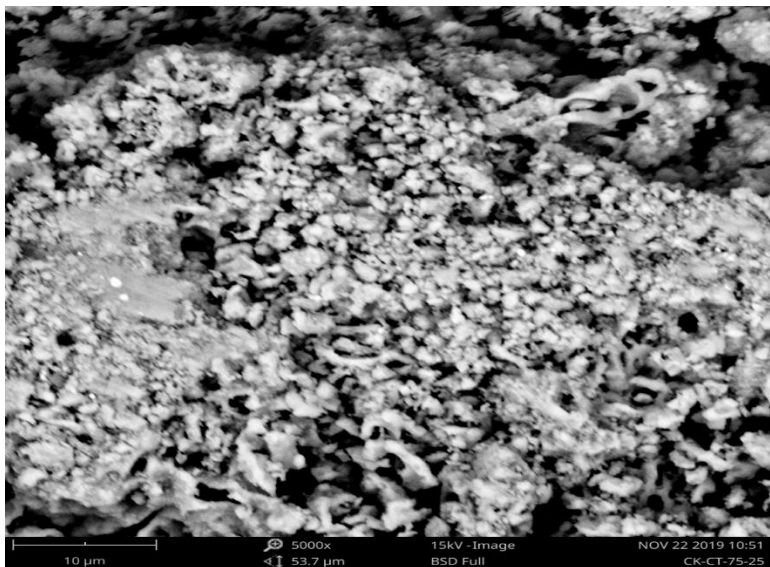
### 3. Hasil Uji SEM Sempel C



### 4. Hasil Uji SEM Sampel D



## 5. Hasil Uji SEM Sampel E



## Lampiran 4 Hasil Tingkat Kekakasan Permukaan Morfologi Hidroksiapatit

### 1. Sampel A

#### a. Titik 1

```
Statistical Quantities
File: F:\Bismilah wisuda\data penelitian\DATA SEM\analisis
SEM\CK-1.tif
Data channel: Value (max)

Selected area: 197 x 197 at (0, 0) px
10,00 x 10,00 at (0,00, 0,00) µm
Mask in use: No

Average value: 575,2 nm
Minimum: 0,0 nm
Maximum: 992,2 nm
Median: 631,4 nm
Ra: 213,4 nm
Rms: 259,9 nm
Skew: -0,703
Kurtosis: -0,431
Surface area: 177,544 µm^2
Projected area: 100,000 µm^2
Inclination θ: 0,9 deg
Inclination ϕ: -13,6 deg
```

#### b. Titik 2

---

```
Statistical Quantities
File: F:\Bismilah wisuda\data penelitian\DATA SEM\analisis SEM\CK-2.tif
Data channel: Value (max)

Selected area: 197 x 197 at (0, 0) px
10,00 x 10,00 at (0,00, 0,00) µm
Mask in use: No

Average value: 538,9 nm
Minimum: 0,0 nm
Maximum: 972,5 nm
Median: 607,8 nm
Ra: 225,1 nm
Rms: 270,2 nm
Skew: -0,658
Kurtosis: -0,65
Surface area: 164,604 µm^2
Projected area: 100,000 µm^2
Inclination θ: 1,2 deg
Inclination ϕ: 0,2 deg
```

### c. Titik 3

```
|Statistical Quantities  
File: F:\Bismilah wisuda\data penelitian\DATA SEM\analisis  
SEM\CK-3.tif  
Data channel: Value (max)  
  
Selected area: 197 x 197 at (0, 0) px  
10,00 x 10,00 at (0,00, 0,00) µm  
Mask in use: No  
  
Average value: 419,1 nm  
Minimum: 0,0 nm  
Maximum: 968,6 nm  
Median: 451,0 nm  
Ra: 260,0 nm  
Rms: 297,1 nm  
Skew: -0,0883  
Kurtosis: -1,31  
Surface area: 160,715 µm^2  
Projected area: 100,000 µm^2  
Inclination θ: 1,0 deg  
Inclination φ: -15,4 deg
```

## 2. Sampel B

### a. Titik 1

```
Statistical Quantities  
File: F:\HASIL SEM\new ct 1.tif  
Data channel: Value (max)  
  
Selected area: 197 x 197 at (0, 0) px  
10,00 x 10,00 at (0,00, 0,00) µm  
Mask in use: No  
  
Average value: 574,8 nm  
Minimum: 0,0 nm  
Maximum: 952,9 nm  
Median: 596,1 nm  
Ra: 139,3 nm  
Rms: 173,2 nm  
Skew: -0,47  
Kurtosis: -0,185  
Surface area: 172,314 µm^2  
Projected area: 100,000 µm^2  
Inclination θ: 0,7 deg  
Inclination φ: 41,1 deg
```

## b. Titik 2

### Statistical Quantities

File: F:\HASIL SEM\new ct 2.tif  
Data channel: Value (max)

Selected area: 197 x 197 at (0, 0) px  
10,00 x 10,00 at (0,00, 0,00) µm  
Mask in use: No

Average value: 556,5 nm  
Minimum: 0,0 nm  
Maximum: 976,5 nm  
Median: 576,5 nm  
Ra: 153,1 nm  
Rms: 188,9 nm  
Skew: -0,39  
Kurtosis: -0,365  
Surface area: 163,441 µm^2  
Projected area: 100,000 µm^2  
Inclination θ: 0,9 deg  
Inclination φ: -149,0 deg

## c. Titik 3

### Statistical Quantities

File: F:\HASIL SEM\new ct 3.tif  
Data channel: Value (max)

Selected area: 197 x 197 at (0, 0) px  
10,00 x 10,00 at (0,00, 0,00) µm  
Mask in use: No

Average value: 562,5 nm  
Minimum: 0,0 nm  
Maximum: 996,1 nm  
Median: 576,5 nm  
Ra: 181,6 nm  
Rms: 221,3 nm  
Skew: -0,206  
Kurtosis: -0,623  
Surface area: 193,096 µm^2  
Projected area: 100,000 µm^2  
Inclination θ: 0,5 deg  
Inclination φ: 131,5 deg

### 3. Sampel C

#### a. Titik 1

```
|Statistical Quantities

File: F:\Bismilah wisuda\data penelitian\DATA SEM\analisis
SEM\25-1.tif
Data channel: Value (max)

Selected area: 197 x 197 at (0, 0) px
10,00 x 10,00 at (0,00, 0,00) µm
Mask in use: No

Average value: 534,1 nm
Minimum: 0,0 nm
Maximum: 917,6 nm
Median: 576,5 nm
Ra: 193,5 nm
Rms: 232,5 nm
Skew: -0,589
Kurtosis: -0,584
Surface area: 128,546 µm^2
Projected area: 100,000 µm^2
Inclination θ: 0,7 deg
Inclination φ: -75,6 deg
```

#### b. Titik 2

```
|Statistical Quantities

File: F:\Bismilah wisuda\data penelitian\DATA SEM\analisis
SEM\25-2.tif
Data channel: Value (max)

Selected area: 197 x 197 at (0, 0) px
10,00 x 10,00 at (0,00, 0,00) µm
Mask in use: No

Average value: 513,7 nm
Minimum: 0,0 nm
Maximum: 905,9 nm
Median: 545,1 nm
Ra: 171,5 nm
Rms: 212,4 nm
Skew: -0,594
Kurtosis: -0,198
Surface area: 132,897 µm^2
Projected area: 100,000 µm^2
Inclination θ: 0,5 deg
Inclination φ: 61,6 deg
```

### c. Titik 3

#### Statistical Quantities

File:	F:\Bismilah wisuda\data penelitian\DATA SEM\analisis
SEM\25-3.tif	
Data channel:	Value (max)
Selected area:	197 × 197 at (0, 0) px
	10,00 × 10,00 at (0,00, 0,00) µm
Mask in use:	No
Average value:	569,9 nm
Minimum:	0,0 nm
Maximum:	921,6 nm
Median:	615,7 nm
Ra:	174,7 nm
Rms:	210,4 nm
Skew:	-0,653
Kurtosis:	-0,44
Surface area:	134,846 µm <sup>2</sup>
Projected area:	100,000 µm <sup>2</sup>
Inclination θ:	0,2 deg
Inclination φ:	-54,0 deg

### 4. Sampel D

#### a. Titik 1

#### Statistical Quantities

File:	F:\Bismilah wisuda\data penelitian\DATA SEM\analisis
SEM\50-1.tif	
Data channel:	Value (max)
Selected area:	197 × 197 at (0, 0) px
	10,00 × 10,00 at (0,00, 0,00) µm
Mask in use:	No
Average value:	478,0 nm
Minimum:	0,0 nm
Maximum:	909,8 nm
Median:	525,5 nm
Ra:	191,3 nm
Rms:	233,9 nm
Skew:	-0,618
Kurtosis:	-0,547
Surface area:	146,665 µm <sup>2</sup>
Projected area:	100,000 µm <sup>2</sup>
Inclination θ:	1,9 deg
Inclination φ:	-56,7 deg

## b. Titik 2

```
|Statistical Quantities  
File: F:\Bismilah wisuda\data penelitian\DATA SEM\analisis  
SEM\50-2.tif  
Data channel: Value (max)  
  
Selected area: 197 x 197 at (0, 0) px  
10,00 x 10,00 at (0,00, 0,00) µm  
Mask in use: No  
  
Average value: 582,4 nm  
Minimum: 0,0 nm  
Maximum: 933,3 nm  
Median: 654,9 nm  
Ra: 189,9 nm  
Rms: 239,2 nm  
Skew: -1,06  
Kurtosis: 0,23  
Surface area: 141,318 µm^2  
Projected area: 100,000 µm^2  
Inclination θ: 0,4 deg  
Inclination φ: 62,9 deg
```

## c. Titik 3

```
Statistical Quantities  
File: F:\Bismilah wisuda\data penelitian\DATA SEM\analisis  
SEM\50-3.tif  
Data channel: Value (max)  
  
Selected area: 197 x 197 at (0, 0) px  
10,00 x 10,00 at (0,00, 0,00) µm  
Mask in use: No  
  
Average value: 604,8 nm  
Minimum: 0,0 nm  
Maximum: 929,4 nm  
Median: 647,1 nm  
Ra: 165,2 nm  
Rms: 206,0 nm  
Skew: -0,896  
Kurtosis: 0,346  
Surface area: 143,184 µm^2  
Projected area: 100,000 µm^2  
Inclination θ: 0,6 deg  
Inclination φ: -19,5 deg
```

## 5. Sampel E

### a. Titik 1

```
|Statistical Quantities

File: F:\Bismilah wisuda\data penelitian\DATA SEM\analisis
SEM\75-1.tif
Data channel: Value (max)

Selected area: 197 x 197 at (0, 0) px
10,00 x 10,00 at (0,00, 0,00) µm
Mask in use: No

Average value: 360,8 nm
Minimum: 0,0 nm
Maximum: 847,1 nm
Median: 352,9 nm
Ra: 175,0 nm
Rms: 211,6 nm
Skew: 0,072
Kurtosis: -0,832
Surface area: 126,561 µm^2
Projected area: 100,000 µm^2
Inclination θ: 1,4 deg
Inclination φ: -40,5 deg
```

### b. Titik 2

```
|Statistical Quantities

File: F:\Bismilah wisuda\data penelitian\DATA SEM\analisis
SEM\75-2.tif
Data channel: Value (max)

Selected area: 197 x 197 at (0, 0) px
10,00 x 10,00 at (0,00, 0,00) µm
Mask in use: No

Average value: 300,0 nm
Minimum: 0,0 nm
Maximum: 862,7 nm
Median: 305,9 nm
Ra: 196,8 nm
Rms: 227,3 nm
Skew: 0,122
Kurtosis: -1,13
Surface area: 129,095 µm^2
Projected area: 100,000 µm^2
Inclination θ: 1,1 deg
Inclination φ: 95,0 deg
```

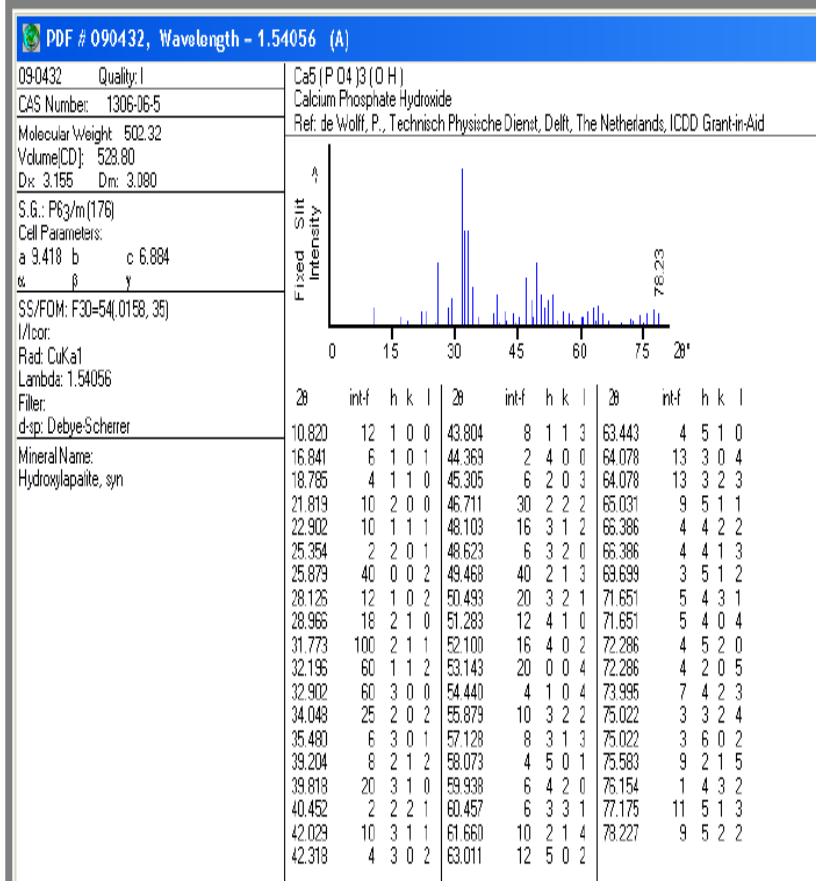
### c. Titik 3

#### Statistical Quantities

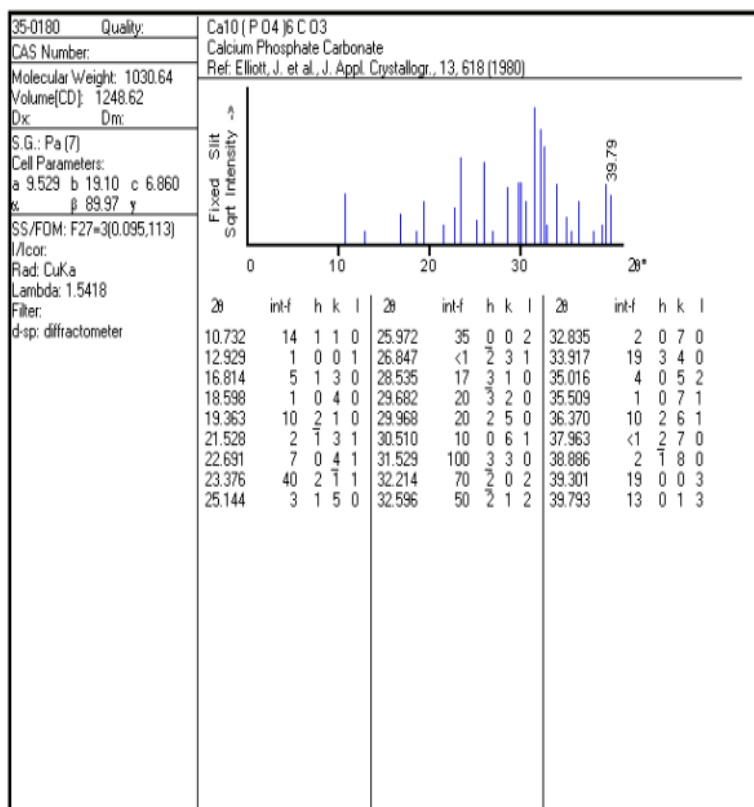
File: F:\Bismilah wisuda\data penelitian\DATA SEM\analisis  
SEM\75-3.tif  
Data channel: Value (max)  
  
Selected area: 197 x 197 at (0, 0) px  
10,00 x 10,00 at (0,00, 0,00) µm  
Mask in use: No  
  
Average value: 518,2 nm  
Minimum: 0,0 nm  
Maximum: 882,4 nm  
Median: 592,2 nm  
Ra: 219,2 nm  
Rms: 261,8 nm  
Skew: -0,741  
Kurtosis: -0,676  
Surface area: 136,775 µm<sup>2</sup>  
Projected area: 100,000 µm<sup>2</sup>  
Inclination θ: 0,6 deg  
Inclination φ: -74,9 deg

## Lampiran 5 Database JCPDS Hidroksiapatit

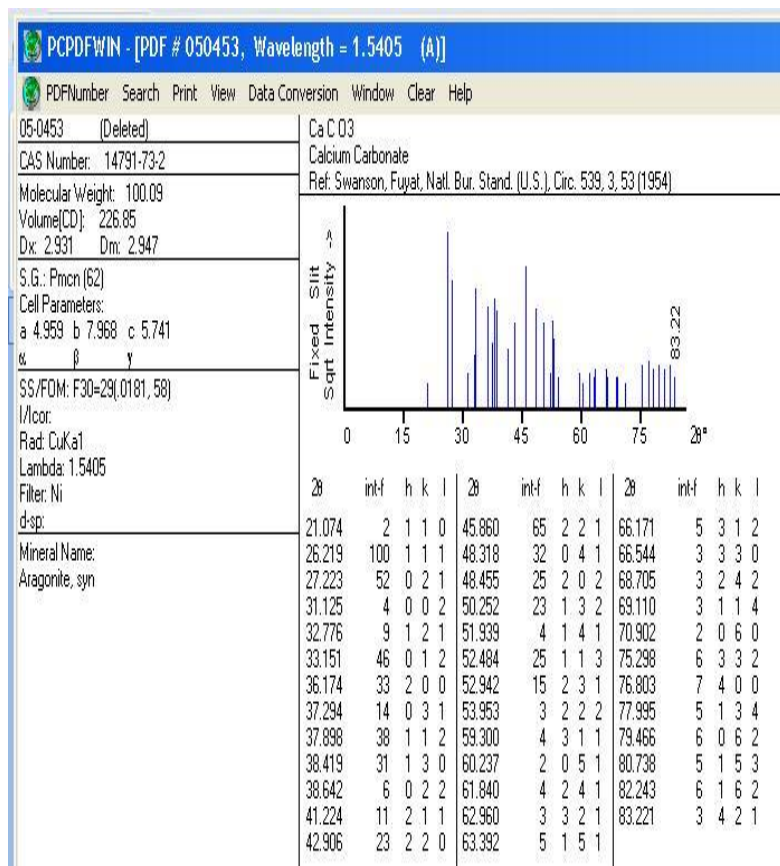
### Hidroksiapatit



## Lampiran 6 Database JCPDS Apatit Karbonat Tipe A (AKA)



## Lampiran 7 Database CaCO<sub>3</sub> (Kalsium Karbonat)



## Lampiran 8 Perhitungan Nilai d-spacing

Rumus :

$$d_{spacing} = \frac{n \lambda}{2 \sin \theta}$$

$$\lambda = 1,5406 \text{ \AA}$$

$$n = 1$$

Sampel	2 theta	Theta	d <sub>spacing</sub>
A	25,996	12,998	1,7855
	31,932	15,966	1,4902
	34,209	17,1045	1,4060
B	25,7976	12,8988	1,7979
	32,0325	16,0162	1,4862
	34,2793	17,1396	1,4036
C	25,879	12,9485	1,7917
	31,813	15,9065	1,4950
	34,109	14,0545	1,4094
D	25,921	12,9605	1,7902
	31,844	15,922	1,4937
	34,129	17,0645	1,4088
E	25,906	12,953	1,7911
	32,836	15,018	1,4940
	34,144	17,072	1,4082

1. Sampel A

Peak 1

$$d_{spacing} = \frac{n \lambda}{2 \sin \theta} = \frac{1,5406}{2 \sin 0,2249} = 1,7855 \text{ \AA}$$

Peak 2

$$d_{spacing} = \frac{n \lambda}{2 \sin \theta} = \frac{1,5406}{2 \sin 0,2750} = 1,4902 \text{ \AA}$$

Peak 3

$$d_{spacing} = \frac{n \lambda}{2 \sin \theta} = \frac{1,5406}{2 \sin 0,2941} = 1,4060 \text{ \AA}$$

2. Sampel B

Peak 1

$$d_{spacing} = \frac{n \lambda}{2 \sin \theta} = \frac{1,5406}{2 \sin 0,2232} = 1,7979 \text{ \AA}$$

Peak 2

$$d_{spacing} = \frac{n \lambda}{2 \sin \theta} = \frac{1,5406}{2 \sin 0,2759} = 1,4862 \text{ \AA}$$

Peak 3

$$d_{spacing} = \frac{n \lambda}{2 \sin \theta} = \frac{1,5406}{2 \sin 0,2947} = 1,4036 \text{ \AA}$$

3. Sampel C

Peak 1

$$d_{spacing} = \frac{n \lambda}{2 \sin \theta} = \frac{1,5406}{2 \sin 0,22407} = 1,7917 \text{ \AA}$$

Peak 2

$$d_{spacing} = \frac{n \lambda}{2 \sin \theta} = \frac{1,5406}{2 \sin 0,27406} = 1,4950 \text{ \AA}$$

Peak 3

$$d_{spacing} = \frac{n \lambda}{2 \sin \theta} = \frac{1,5406}{2 \sin 0,29328} = 1,4094 \text{ \AA}$$

4. Sampel D

Peak 1

$$d_{spacing} = \frac{n \lambda}{2 \sin \theta} = \frac{1,5406}{2 \sin 0,2242} = 1,7902 \text{ \AA}$$

Peak 2

$$d_{spacing} = \frac{n \lambda}{2 \sin \theta} = \frac{1,5406}{2 \sin 0,2743} = 1,4937 \text{ \AA}$$

Peak 3

$$d_{spacing} = \frac{n \lambda}{2 \sin \theta} = \frac{1,5406}{2 \sin 0,2934} = 1,4088 \text{ \AA}$$

5. Sampel E

Peak 1

$$d_{spacing} = \frac{n \lambda}{2 \sin \theta} = \frac{1,5406}{2 \sin 0,2241} = 1,7911 \text{ \AA}$$

Peak 2

$$d_{spacing} = \frac{n \lambda}{2 \sin \theta} = \frac{1,5406}{2 \sin 0,2742} = 1,4940 \text{ \AA}$$

Peak 3

$$d_{spacing} = \frac{n \lambda}{2 \sin \theta} = \frac{1,5406}{2 \sin 0,2935} = 1,4082 \text{ \AA}$$

## Lampiran 9 Perhitungan Ukuran Kristal Hidroksiapatit

Rumus :

$$D = K \frac{\lambda}{\beta \cos \theta}$$

Keterangan :

$$K = 0,9$$

$$\lambda = 1,5406 \text{ \AA}$$

$$\beta = \text{FWHM (rad)}$$

1. Sampel A

hkl	2θ (°)	θ (rad)	B (rad)	D (nm)
002	25,996	0,2268	0,00209	67,9432
211	31,932	0,2786	0,00244	59,0216
202	34,209	0,2985	0,00322	44,9293

Peak 1

$$D = 0,9 \frac{1,5406}{0,00209 \cos 0,2268} = 679,432 \text{ \AA} = 67,9432 \text{ nm}$$

Peak 2

$$D = 0,9 \frac{1,5406}{0,00244 \cos 0,2786} = 590,216 \text{ \AA} = 59,0216 \text{ nm}$$

### Peak 3

$$D = 0,9 \frac{1,5406}{0,00322 \cos 0,2985} = 449,293 \text{ \AA} = 44,9293 \text{ nm}$$

### 2. Sampel B

hkl	2θ (°)	θ (rad)	B (rad)	D (nm)
002	25,797	0,2251	0,016486	8,6279
112	32,032	0,2795	0,016486	8,7498
202	34,279	0,2991	0,010992	13,2002

### Peak 1

$$D = 0,9 \frac{1,5406}{0,016486 \cos 0,2251} = 86,279 \text{ \AA} = 8,6279 \text{ nm}$$

### Peak 2

$$D = 0,9 \frac{1,5406}{0,016486 \cos 0,2795} = 87,498 \text{ \AA} = 8,7498 \text{ nm}$$

### Peak 3

$$D = 0,9 \frac{1,5406}{0,010992 \cos 0,2991} = 132,002 \text{ \AA} = 13,2002 \text{ nm}$$

### 3. Sampel C

hkl	2θ (°)	θ (rad)	B (rad)	D (nm)
002	25,897	0,2259	0,00244	58,2254
211	31,813	0,2776	0,00277	51,9533
202	34,109	0,2976	0,00432	33,5068

Peak 1

$$D = 0,9 \frac{1,5406}{0,00244 \cos 0,2259} = 582,254 = 58,2254 \text{ nm}$$

Peak 2

$$D = 0,9 \frac{1,5406}{0,00277 \cos 0,2776} = 519,533 \text{ \AA} = 51,9533 \text{ nm}$$

Peak 3

$$D = 0,9 \frac{1,5406}{0,00432 \cos 0,2976} = 335,068 \text{ \AA} = 33,5068 \text{ nm}$$

#### 4. Sampel D

hkl	2θ (°)	θ (rad)	B (rad)	D (nm)
002	25,921	0,2262	0,00239	59,5033
211	31,844	0,2778	0,00256	56,1987
202	34,129	0,2978	0,0037	39,1987

Peak 1

$$D = 0,9 \frac{1,5406}{0,00239 \cos 0,2262} = 595,033 \text{ \AA} = 59,5033 \text{ nm}$$

Peak 2

$$D = 0,9 \frac{1,5406}{0,00256 \cos 0,2778} = 561,987 \text{ \AA} = 56,1987 \text{ nm}$$

Peak 3

$$D = 0,9 \frac{1,5406}{0,0037 \cos 0,2978} = 391,987 \text{ \AA} = 39,1987 \text{ nm}$$

## 5. Sampel E

hkl	2θ (°)	θ (rad)	B (rad)	D (nm)
002	25,906	0,2260	0,00219	64,6961
211	31,836	0,2778	0,00244	59,0075
202	34,144	0,2979	0,00340	42,6178

Peak 1

$$D = 0,9 \frac{1,5406}{0,00219 \cos 0,2260} = 646,961 \text{ Å} = 64,6961 \text{ nm}$$

Peak 2

$$D = 0,9 \frac{1,5406}{0,00244 \cos 0,2778} = 590,075 \text{ Å} = 59,0075 \text{ nm}$$

Peak 3

$$D = 0,9 \frac{1,5406}{0,00340 \cos 0,2979} = 426,178 \text{ Å} = 42,6178 \text{ nm}$$

Lampiran 10 Perhitungan Parameter Kisi Hidroksiapitit  
 Perhitungan Konstanta Kisi Kristal (Heksagoal) Hidroksiapitit

$$\sin^2 \theta = \frac{\lambda^2}{3} \frac{h^2 + hk + k^2}{a^2} + \frac{\lambda^2}{4c^2} l^2$$

$$\lambda = 1,5406 \text{ \AA}$$

1. Sampel A

<b>2θ (°)</b>	<b>θ (°)</b>	<b>h k l</b>	<b>θ(rad)</b>	<b>sin² θ</b>
10,972	5,486	1 0 0	0,09574876	0,009167697
25,996	12,998	0 0 2	0,2268579	0,05144179
29,098	14,549	1 0 2	0,25392795	0,064434735
31,932	15,966	2 1 1	0,27865927	0,077572976
33,073	16,5365	3 0 0	0,28861637	0,083203111
34,209	17,1045	2 0 2	0,29852984	0,089002142
39,98	19,99	3 1 0	0,34889132	0,121424774
46,812	23,406	22 2	0,40851176	0,166108342
49,571	24,7855	2 1 3	0,43258858	0,1860426

a. Nilai a

$$\sin^2 \theta = \frac{\lambda^2}{3} \frac{h^2 + hk + k^2}{a^2} + \frac{\lambda^2}{4c^2} l^2$$

$$0,0091677 = \frac{(1,5406 \cdot 10^{-10})^2}{3} \frac{1^2 + 1,0 + 0^2}{a^2} + \frac{(1,5406 \cdot 10^{-10})^2}{4c^2} 0^2$$

$$0,0091677 = \frac{2,373 \cdot 10^{-20}}{3a^2}$$

$$a^2 = 87,778 \cdot 10^{-20}$$

$$a = 9,3689 \cdot 10^{-10} = 9,3689 \text{ \AA}$$

b. Nilai c

$$\sin^2 \theta = \frac{\lambda^2}{3} \frac{h^2 + hk + k^2}{a^2} + \frac{\lambda^2}{4c^2} l^2$$

$$0,089 = \frac{(1,5406 \cdot 10^{-10})^2}{3} \frac{2^2 + 2,0 + 0^2}{(9,3689 \cdot 10^{-10})^2} + \frac{(1,5406 \cdot 10^{-10})^2}{4c^2} 2^2$$

$$0,089 = \frac{9,48 \cdot 10^{-20}}{263,328 \cdot 10^{-20}} + \frac{9,48 \cdot 10^{-20}}{4c^2}$$

$$c^2 = 44,716 \cdot 10^{-20}$$

$$c = 6,687 \cdot 10^{-10} = 6,687 \text{ \AA}$$

2. Sampel B

<b>2θ (°)</b>	<b>θ (°)</b>	<b>h k l</b>	<b>θ(rad)</b>	<b>Sin² θ</b>
10,7009	5,35045	1 0 0	0,09338297	0,008720268
15,4969	7,74845	0 0 2	0,13523596	0,018287747
18,1246	9,0623	1 0 2	0,15816697	0,025014182
21,474	10,737	2 1 1	0,187396	0,035110044
23,1364	11,5682	3 0 0	0,20190318	0,040753604
25,7976	12,8988	2 0 2	0,22512653	0,05066026
28,6302	14,3151	3 1 0	0,24984563	0,062382306
32,0352	16,0176	22 2	0,27955986	0,078074178
34,2793	17,13965	2 1 3	0,29914333	0,089367344
46,7677	23,38385	2 2 2	0,40812517	0,165797016
53,7332	26,8666	0 0 4	0,46891063	0,21810976

a. Nilai a

$$\text{Sin}^2\theta = \frac{\lambda^2}{3} \frac{h^2+hk+k^2}{a^2} + \frac{\lambda^2}{4c^2} l^2$$

$$0,00872 = \frac{(1,5406 \cdot 10^{-10})^2}{3} \frac{1^2+1.0+0^2}{a^2} + \frac{(1,5406 \cdot 10^{-10})^2}{4c^2} 0^2$$

$$0,00872 = \frac{2,373 \cdot 10^{-20}}{3a^2}$$

$$a^2 = 90,711 \cdot 10^{-20}$$

$$a = 9,5242 \cdot 10^{-10}$$

$$a = 9,5242 \text{ \AA}$$

b. Nilai c

$$\text{Sin}^2\theta = \frac{\lambda^2}{3} \frac{h^2+hk+k^2}{a^2} + \frac{\lambda^2}{4c^2} l^2$$

$$0,0893 = \frac{(1,5406 \cdot 10^{-10})^2}{3} \frac{2^2+2.0+0^2}{(9,5242 \cdot 10^{-10})^2} + \frac{(1,5406 \cdot 10^{-10})^2}{4c^2} 2^2$$

$$0,0893 = \frac{9,48 \cdot 10^{-20}}{263,328 \cdot 10^{-20}} + \frac{9,48 \cdot 10^{-20}}{4c^2}$$

$$c^2 = 42,875 \cdot 10^{-20}$$

$$c = 6,546 \cdot 10^{-10} = 6,546 \text{ \AA}$$

3. Sampel C

<b>2θ (°)</b>	<b>θ (°)</b>	<b>h k l</b>	<b>θ(rad)</b>	<b>Sin² θ</b>
10,851	5,4255	1 0 0	0,094692839	0,008966614
18,036	9,018	0 0 2	0,157393792	0,024770272
25,897	12,9485	1 0 2	0,225993958	0,051051068
31,813	15,9065	2 1 1	0,277620797	0,076997023
32,221	16,1105	3 0 0	0,281181269	0,078980562
34,109	17,0545	2 0 2	0,297657177	0,088483924
39,852	19,926	3 1 0	0,347774307	0,120652312
46,757	23,3785	22 2	0,408031799	0,165721861
49,525	24,7625	2 1 3	0,432187156	0,185701506

a. Nilai a

$$\text{Sin}^2\theta = \frac{\lambda^2}{3} \frac{h^2+hk+k^2}{a^2} + \frac{\lambda^2}{4c^2} l^2$$

$$0,00896 = \frac{(1,5406 \cdot 10^{-10})^2}{3} \frac{1^2+1.0+0^2}{a^2} + \frac{(1,5406 \cdot 10^{-10})^2}{4c^2} 0^2$$

$$0,00896 = \frac{2,373 \cdot 10^{-20}}{3a^2}$$

$$a^2 = 88,281 \cdot 10^{-20}$$

$$a = 9,3958 \cdot 10^{-10}$$

$$a = 9,3958 \text{ \AA}$$

b. Nilai c

$$\text{Sin}^2\theta = \frac{\lambda^2}{3} \frac{h^2+hk+k^2}{a^2} + \frac{\lambda^2}{4c^2} l^2$$

$$0,0884 = \frac{(1,5406 \cdot 10^{-10})^2}{3} \frac{2^2+2.0+0^2}{(9,3958 \cdot 10^{-10})^2} + \frac{(1,5406 \cdot 10^{-10})^2}{4c^2} 2^2$$

$$0,0893 = \frac{9,48 \cdot 10^{-20}}{264,843 \cdot 10^{-20}} + \frac{9,48 \cdot 10^{-20}}{4c^2}$$

$$c^2 = 44,971 \cdot 10^{-20}$$

$$c = 6,706 \cdot 10^{-10}$$

$$c = 6,706 \text{ \AA}$$

4. Sampel D

<b>2θ (°)</b>	<b>θ (°)</b>	<b>h k l</b>	<b>θ(rad)</b>	<b>Sin<sup>2</sup> θ</b>
10,88	5,44	1 0 0	0,094945911	0,009014604
25,921	12,9605	0 0 2	0,226203398	0,051145652
29	14,5	1 0 2	0,253072742	0,064002037
31,844	15,922	2 1 1	0,277891324	0,077146857
32,251	16,1255	3 0 0	0,281443069	0,079127396
32,986	16,493	2 0 2	0,287857154	0,082766951
34,129	17,0645	3 1 0	0,29783171	0,088587448
39,889	19,9445	22 2	0,348097193	0,120875355
46,778	23,389	2 1 3	0,408215059	0,165869376

a. Nilai a

$$\begin{aligned} \text{Sin}^2\theta &= \frac{\lambda^2}{3} \frac{h^2+hk+k^2}{a^2} + \frac{\lambda^2}{4c^2} l^2 \\ 0,009015 &= \frac{(1,5406 \cdot 10^{-10})^2}{3} \frac{1^2+1.0+0^2}{a^2} + \frac{(1,5406 \cdot 10^{-10})^2}{4c^2} 0^2 \\ 0,009015 &= \frac{2,373 \cdot 10^{-20}}{3a^2} \\ a^2 &= 87,742 \cdot 10^{-20} \\ a &= 9,367 \cdot 10^{-10} \\ a &= 9,367 \text{ Å} \end{aligned}$$

b. Nilai c

$$\begin{aligned} \text{Sin}^2\theta &= \frac{\lambda^2}{3} \frac{h^2+hk+k^2}{a^2} + \frac{\lambda^2}{4c^2} l^2 \\ 0,0885 &= \frac{(1,5406 \cdot 10^{-10})^2}{3} \frac{2^2+2.0+0^2}{(9,367 \cdot 10^{-10})^2} + \frac{(1,5406 \cdot 10^{-10})^2}{4c^2} 2^2 \\ 0,0885 &= \frac{9,48 \cdot 10^{-20}}{263,222 \cdot 10^{-20}} + \frac{9,48 \cdot 10^{-20}}{4c^2} \\ c^2 &= 45,142 \cdot 10^{-20} \\ c &= 6,718 \cdot 10^{-10} \\ c &= 6,718 \text{ Å} \end{aligned}$$

5. Sampel E

<b>2θ (°)</b>	<b>θ (°)</b>	<b>h k l</b>	<b>θ(rad)</b>	<b>Sin<sup>2</sup> θ</b>
10,881	5,4405	1 0 0	0,09495464	0,009016261
25,906	12,953	0 0 2	0,2260725	0,051086527
29,001	14,5005	1 0 2	0,25308147	0,064006445
31,836	15,918	2 1 1	0,27782151	0,077108176
32,236	16,118	3 0 0	0,28131217	0,079053962
32,979	16,4895	2 0 2	0,28779607	0,082731907
34,114	17,057	3 1 0	0,29770081	0,088509799
39,886	19,943	22 2	0,34807101	0,120857263
46,723	23,3615	2 13	0,40773509	0,16548316

a. Nilai a

$$\begin{aligned} \text{Sin}^2\theta &= \frac{\lambda^2}{3} \frac{h^2+hk+k^2}{a^2} + \frac{\lambda^2}{4c^2} l^2 \\ 0,009016 &= \frac{(1,5406 \cdot 10^{-10})^2}{3} \frac{1^2+1.0+0^2}{a^2} + \frac{(1,5406 \cdot 10^{-10})^2}{4c^2} 0^2 \\ 0,009016 &= \frac{2,373 \cdot 10^{-20}}{3a^2} \\ a^2 &= 87,732 \cdot 10^{-20} \\ a &= 9,366 \cdot 10^{-10} \\ a &= 9,366 \text{ Å} \end{aligned}$$

b. Nilai c

$$\begin{aligned} \text{Sin}^2\theta &= \frac{\lambda^2}{3} \frac{h^2+hk+k^2}{a^2} + \frac{\lambda^2}{4c^2} l^2 \\ 0,08851 &= \frac{(1,5406 \cdot 10^{-10})^2}{3} \frac{2^2+2.0+0^2}{(9,366 \cdot 10^{-10})^2} + \frac{(1,5406 \cdot 10^{-10})^2}{4c^2} 2^2 \\ 0,08851 &= \frac{9,48 \cdot 10^{-20}}{262,997 \cdot 10^{-20}} + \frac{9,48 \cdot 10^{-20}}{4c^2} \\ c^2 &= 45,134 \cdot 10^{-20} \\ c &= 6,718 \cdot 10^{-10} \\ c &= 6,718 \text{ Å} \end{aligned}$$

## Lampiran 11 Perhitungan Ukuran Pori

### 1. Sampel A

10 $\mu\text{m}$	= 192 px
1 $\mu\text{m}$	= $\frac{10}{192}$ px
a. Pori 1	= $113 \times \frac{10}{192} = 5,88 \mu\text{m}$
b. Pori 2	= $59 \times \frac{10}{192} = 3,07 \mu\text{m}$
c. Pori 3	= $47 \times \frac{10}{192} = 2,447 \mu\text{m}$
d. Pori 4	= $51 \times \frac{10}{192} = 2,656 \mu\text{m}$
e. Pori 5	= $37 \times \frac{10}{192} = 1,92 \mu\text{m}$
f. Pori 6	= $45 \times \frac{10}{192} = 2,34 \mu\text{m}$
g. Pori 7	= $81 \times \frac{10}{192} = 4,218 \mu\text{m}$
h. Pori 8	= $109 \times \frac{10}{192} = 5,677 \mu\text{m}$
i. Pori 9	= $51 \times \frac{10}{192} = 2,656 \mu\text{m}$
j. Pori 10	= $55 \times \frac{10}{192} = 2,864 \mu\text{m}$

Rata-Rata Ukuran Pori

$$\Sigma = \frac{5,88 + 3,07 + 2,447 + 2,656 + 1,92 + 2,34 + 4,218 + 5,677 + 2,656 + 2,864}{10}$$

$$= 3,37 \mu\text{m}$$

## 2. Sampel B

$$10 \text{ } \mu\text{m} = 191 \text{ px}$$

$$1 \text{ } \mu\text{m} = \frac{10}{191} \text{ px}$$

- a. Pori 1  $= 26 \times \frac{10}{191} = 1,36 \text{ } \mu\text{m}$
- b. Pori 2  $= 29 \times \frac{10}{191} = 1,518 \text{ } \mu\text{m}$
- c. Pori 3  $= 32 \times \frac{10}{191} = 1,675 \text{ } \mu\text{m}$
- d. Pori 4  $= 25 \times \frac{10}{191} = 1,308 \text{ } \mu\text{m}$
- e. Pori 5  $= 28 \times \frac{10}{191} = 1,465 \text{ } \mu\text{m}$
- f. Pori 6  $= 22 \times \frac{10}{191} = 1,151 \text{ } \mu\text{m}$
- g. Pori 7  $= 23 \times \frac{10}{191} = 1,204 \text{ } \mu\text{m}$
- h. Pori 8  $= 21 \times \frac{10}{191} = 1,099 \text{ } \mu\text{m}$
- i. Pori 9  $= 22 \times \frac{10}{191} = 1,151 \text{ } \mu\text{m}$
- j. Pori 10  $= 26 \times \frac{10}{191} = 1,36 \text{ } \mu\text{m}$

Rata-Rata Ukuran Pori

$$\Sigma = \frac{1,36 + 1,518 + 1,675 + 1,308 + 1,465 + 1,151 + 1,204 + 1,099 + 1,151 + 1,36}{10}$$

$$= 1,32 \text{ } \mu\text{m}$$

### 3. Sampel C

10 $\mu\text{m}$	= 191 px
1 $\mu\text{m}$	= $\frac{10}{191}$ px
a. Pori 1	= $23 \times \frac{10}{191} = 1,20 \mu\text{m}$
b. Pori 2	= $31 \times \frac{10}{191} = 1,62 \mu\text{m}$
c. Pori 3	= $40 \times \frac{10}{191} = 2,09 \mu\text{m}$
d. Pori 4	= $26 \times \frac{10}{191} = 1,36 \mu\text{m}$
e. Pori 5	= $30 \times \frac{10}{191} = 1,57 \mu\text{m}$
f. Pori 6	= $50 \times \frac{10}{191} = 2,617 \mu\text{m}$
g. Pori 7	= $23 \times \frac{10}{191} = 1,20 \mu\text{m}$
h. Pori 8	= $34 \times \frac{10}{191} = 1,78 \mu\text{m}$
i. Pori 9	= $29 \times \frac{10}{191} = 1,518 \mu\text{m}$
j. Pori 10	= $54 \times \frac{10}{191} = 2,827 \mu\text{m}$

Rata-Rata Ukuran Pori

$$\sum = \frac{1,20 + 1,62 + 2,09 + 1,36 + 1,57 + 2,617 + 1,20 + 1,78 + 1,518 + 2,827}{10}$$

$$= 1,77 \mu\text{m}$$

#### 4. Sampel D

10 $\mu\text{m}$	= 191 px
1 $\mu\text{m}$	= $\frac{10}{191}$ px
a. Pori 1	= $58 \times \frac{10}{191} = 3,036 \mu\text{m}$
b. Pori 2	= $42 \times \frac{10}{191} = 2,19 \mu\text{m}$
c. Pori 3	= $51 \times \frac{10}{191} = 2,67 \mu\text{m}$
d. Pori 4	= $59 \times \frac{10}{191} = 3,08 \mu\text{m}$
e. Pori 5	= $29 \times \frac{10}{191} = 1,518 \mu\text{m}$
f. Pori 6	= $41 \times \frac{10}{191} = 2,14 \mu\text{m}$
g. Pori 7	= $37 \times \frac{10}{191} = 1,93 \mu\text{m}$
h. Pori 8	= $34 \times \frac{10}{191} = 1,78 \mu\text{m}$
i. Pori 9	= $53 \times \frac{10}{191} = 2,77 \mu\text{m}$
j. Pori 10	= $45 \times \frac{10}{191} = 2,35 \mu\text{m}$

#### Rata-Rata Ukuran Pori

$$\sum = \frac{3,036 + 2,19 + 2,67 + 3,08 + 1,518 + 2,14 + 1,93 + 1,78 + 2,77 + 2,35}{10}$$

$$= 2,34 \mu\text{m}$$

## 5. Sampel E

10 $\mu\text{m}$	= 191 px
1 $\mu\text{m}$	= $\frac{10}{191}$ px
a. Pori 1	= $46 \times \frac{10}{191} = 2,408 \mu\text{m}$
b. Pori 2	= $57 \times \frac{10}{191} = 2,98 \mu\text{m}$
c. Pori 3	= $54 \times \frac{10}{191} = 2,82 \mu\text{m}$
d. Pori 4	= $51 \times \frac{10}{191} = 2,67 \mu\text{m}$
e. Pori 5	= $27 \times \frac{10}{191} = 1,41 \mu\text{m}$
f. Pori 6	= $78 \times \frac{10}{191} = 4,08 \mu\text{m}$
g. Pori 7	= $60 \times \frac{10}{191} = 3,14 \mu\text{m}$
h. Pori 8	= $36 \times \frac{10}{191} = 1,88 \mu\text{m}$
i. Pori 9	= $33 \times \frac{10}{191} = 1,72 \mu\text{m}$
j. Pori 10	= $25 \times \frac{10}{191} = 1,308 \mu\text{m}$

## Rata-Rata Ukuran Pori

$$\Sigma = \frac{2,408 + 2,98 + 2,82 + 2,67 + 1,41 + 4,08 + 3,14 + 1,88 + 1,72 + 1,308}{10}$$

$$= 2,44 \mu\text{m}$$

## Lampiran 12 Tingkat Kekasaran Permukaan

### 1. Sampel A

#### a. Titik 1

$$197 \text{ px} \times 197 \text{ px} = 259,9 \text{ nm}$$

#### b. Titik 2

$$197 \text{ px} \times 197 \text{ px} = 270,2 \text{ nm}$$

#### c. Titik 3

$$197 \text{ px} \times 197 \text{ px} = 297,1 \text{ nm}$$

Rata-Rata Tingkat Kekasaran Permukaan

$$\sum = \frac{291,3 + 270,2 + 297,1}{3}$$

$$= 275,7 \text{ nm}$$

### 2. Sampel B

#### a. Titik 1

$$197 \text{ px} \times 197 \text{ px} = 173,2 \text{ nm}$$

#### b. Titik 2

$$197 \text{ px} \times 197 \text{ px} = 188,9 \text{ nm}$$

#### c. Titik 3

$$197 \text{ px} \times 197 \text{ px} = 221,3 \text{ nm}$$

Rata-Rata Tingkat Kekasaran Permukaan

$$\sum = \frac{173,2 + 188,9 + 221,3}{3}$$

$$= 194,4 \text{ nm}$$

3. Sampel C

a. Titik 1

$$197 \text{ px} \times 197 \text{ px} = 232,5 \text{ nm}$$

b. Titik 2

$$197 \text{ px} \times 197 \text{ px} = 212,4 \text{ nm}$$

c. Titik 3

$$197 \text{ px} \times 197 \text{ px} = 210,4 \text{ nm}$$

Rata-Rata Tingkat Kekasaran Permukaan

$$\sum = \frac{232,5 + 212,4 + 210,4}{3}$$

$$= 218,4 \text{ nm}$$

4. Sampel D

a. Titik 1

$$197 \text{ px} \times 197 \text{ px} = 233,9 \text{ nm}$$

b. Titik 2

$$197 \text{ px} \times 197 \text{ px} = 239,2 \text{ nm}$$

c. Titik 3

$$197 \text{ px} \times 197 \text{ px} = 206 \text{ nm}$$

Rata-Rata Tingkat Kekasaran Permukaan

$$\sum = \frac{233,9 + 239,2 + 206}{3}$$

$$= 226,4 \text{ nm}$$

5. Sampel E

a. Titik 1

$$197 \text{ px} \times 197 \text{ px} = 211,6 \text{ nm}$$

b. Titik 2

$$197 \text{ px} \times 197 \text{ px} = 227,3 \text{ nm}$$

c. Titik 3

$$197 \text{ px} \times 197 \text{ px} = 261,8 \text{ nm}$$

Rata-Rata Tingkat Kekasaran permukaan

$$\sum = \frac{211,6 + 227,3 + 261,8}{3}$$

$$= 233,6 \text{ nm}$$

Lampiran 13 Dokumentasi

**Dokumentasi Penelitian**

1. Pembuatan Sebuk cangkang kerang darah dan cangkang telur ayam



Pembersihan cangkang kerang darah



Pengeringan cangkang kerang darah



Pembersihan cangkang telur ayam



Perebusan cangkang telur ayam



Pengeringan cangkang telur ayam



Penghalusan cangkang kerang darah dan telur ayam



Pegeringan serbuk cangkang menggunakan oven suhu 150°C



Penyaringan dengan ayakan ukuran 60 mesh



Proses kalsinasi dengan  
furnace



Serbuk cangkang kerang  
darah hasil kalsinasi



Serbuk cangkang telur ayam  
setelah kalsinasi

## 2. Pembuatan Hidroksiapatit



Serbuk  
kerang darah



Serbuk  
cangkang  
ayam



$(\text{NH}_4)_2\text{HPO}_4$



Aquades



Pencampuran  
Kalsium  
 $(\text{NH}_4)_2\text{HPO}_4$



Pengeringan  
hidroksiapatit  
selama  
5jam



Proses kalsinasi hasil  
sintesis hidroksiapatit



Serbuk Hidroksiapatit

## Lampiran 14

### Surat Penunjukkan Pembimbing



KEMENTERIAN AGAMA  
UNIVERSITAS ISLAM NEGERI WALISONGO  
FAKULTAS SAINS DAN TEKNOLOGI  
Jl. Prof. DR. Hamka Km.01 Ngaliyan-Semarang 50181 Telp./Fax (024)76433366

NO : B-4896/Un.108/J2/pp.00.9/11/2019

Surabaya 28 November 2019

Lamp :-

Hal : Penunjukkan Pembimbing Skripsi

Yth,

1. Dr. Hamdan Hadi Kusuma, S.Pd, M.Sc
2. Sheilla Rully Anggita, M.Si

*Assalamu'alaikum Wr. Wb*

Berdasarkan hasil pembahasan usul judul penelitian pada Program Studi Fisika Fakultas Sains dan Teknologi, Maka disetujui judul skripsi mahasiswa :

Nama : Layyiantus Sifah

NIM : 1508026024

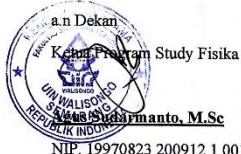
Judul : Analisis Kandungan Dan Struktur Hidroksipapatit Dari Cangkang Kerang Darah (*Anan dara Granosa*) Dan Cangkang Telur Sebagai Bahan Gigi Tiruan

Dan menunjuk :

1. Dr. Hamdan Hadi Kusuma, S.Pd, M.Sc sebagai Pembimbing I
2. Sheilla Rully Anggita, M.Si sebagai Pembimbing II

Demikian penunjukan pembimbing skripsi ini di sampaikan atas perhatian yang diberikan kami ucapan terimakasih

*Wassalamu'alaikum Wr. Wb*



Tembusan :

1. Dekan Fakultas Sains dan Teknologi UIN Walisongo (sebagai laporan)
2. Mahasiswa yang bersangkutan
3. Arsip

## Lampiran 15

### Surat Izin Riset 1

**KEMENTERIAN AGAMA REPUBLIK INDONESIA  
UNIVERSITAS ISLAM NEGERI WALISONGO SEMARANG  
FAKULTAS SAINS DAN TEKNOLOGI**  
Alamat: Jl.Prof. Dr. Hamka Km. 1 Semarang Telp. 024 76433366 Semarang 50185

---

Nomor : B. 3838/Un.10.8/D1/TL.00/10/2019 Semarang, 3 Oktober 2019  
Lamp : Proposal Skripsi  
Hal : Permohonan Izin Riset

Kepada Yth.  
Dekan Fakultas Sains dan Teknologi  
UIN Walisongo Semarang  
di Semarang

Assalamu'alaikum Wr. Wb.

Diberitahukan dengan hormat dalam rangka penulisan skripsi, bersama ini kami sampaikan bahwa mahasiswa di bawah ini :

Nama	:	Layyinatus Sifah
NIM	:	1508026024
Fakultas/Jurusan	:	Sains dan Teknologi / Fisika
Judul Sekripsi	:	"Analisis Kandungan dan Struktur Morfologi Hidroksipapatit Dari Cangkang Kerang Darah ( anandara granosa) Cangkang Telur Untuk Aplikasi Bahan Gigi "

Pembimbing : 1. Dr. Hamdan Hadi Kusuma, S.Pd., M.Sc.  
2. Sheilla Rully Anggita, M.Sc.

Mahasiswa tersebut membutuhkan data-data dengan tema/judul skripsi yang sedang disusun, oleh karena itu kami mohon mahasiswa tersebut diijinkan melaksanakan Riset pada tanggal 15 Oktober 2019 di Instansi yang Bapak/Ibu Pimpin.

Demikian atas perhatian dan kerjasamanya disampaikan terima kasih.

Wassalamu'alaikum Wr. Wb.

a.n. Dekan  
Wakil Dekan Bidang Akademik  
dan Kelembagaan  
  
Dr. Saminanto, M.Sc.  
NIP. 197206042003121002 4

Tembusan Yth.  
1. Dekan Fakultas Sains dan Teknologi UIN Walisongo ( sebagai laporan )  
2. Arsip

## Lampiran 16

### Surat Izin Riset 2



KEMENTERIAN AGAMA REPUBLIK INDONESIA  
UNIVERSITAS ISLAM NEGERI WALISONGO SEMARANG  
**FAKULTAS SAINS DAN TEKNOLOGI**

Alamat: Jl. Prof. Dr. Hamka Km. 1 Semarang Telp. 024 76433366 Semarang 50185

---

Nomor : B. 5127/Un.10.8/D1/TL.00/12/2019 Semarang, 13 Desember 2019  
Lamp : Proposal Skripsi  
Hal : Permohonan Izin Riset

Kepada Yth.  
Dekan Fakultas Sains dan Teknologi  
UIN Walisongo Semarang  
di Semarang

Assalamu'alaikum Wr. Wb.

Diberitahukan dengan hormat dalam rangka penulisan skripsi, bersama ini kami sampaikan bahwa mahasiswa di bawah ini :

Nama : Layyinatus Sifah  
NIM : 1508026024  
Fakultas/Jurusan : Sains dan Teknologi / Fisika  
Judul Sekripsi : "Analisis Kandungan dan Struktur Hidroksipatit Dari Cangkang Kerang Darah (*Anandara Granosa*) dan Cangkang Telur Sebagai bahan Gigi Tiruan"  
Pembimbing : 1. Dr. Hamdan Hadi Kusuma, S.Pd., M.Sc.  
                  2. Sheilla Rully Anggita, M.Si.

Mahasiswa tersebut membutuhkan data-data dengan tema/judul skripsi yang sedang disusun, oleh karena itu kami mohon mahasiswa tersebut di ijinikan melaksanakan Riset di Laboratorium Kimia pada tanggal 16 Desember 2019.

Demikian atas perhatian dan kerjasamanya disampaikan terima kasih.

Wassalamu'alaikum Wr. Wb.



Tembusan Yth.  
1. Dekan Fakultas Sains dan Teknologi UIN Walisongo ( sebagai laporan )  
2. Arsip

## Lampiran 17

### Surat Izin Riset 3

KEMENTERIAN AGAMA REPUBLIK INDONESIA  
UNIVERSITAS ISLAM NEGERI WALISONGO  
**FAKULTAS SAINS DAN TEKNOLOGI**

Alamat: Jl. Prof. Dr. Hanika Km. 1 Semarang Telp. 024 76433366 Semarang 50185

Nomor  
Lamp  
Hal

: B.95/Un.10.8/D1/TL.00/01/2020  
: Proposal Skripsi  
: Permohonan Izin Riset

Semarang, 9 Januari 2020

Kepada Yth.

Dekan Fakultas Matematika dan  
Ilmu Pengetahuan Alama  
Universitas Negeri Semarang  
di Semarang.

Assalamu'alaikum Wr. Wb.

Diberitahukan dengan hormat dalam rangka tugas akhir / penulisan skripsi,  
bersama ini kami sampaikan bahwa mahasiswa di bawah ini :

Nama : **Layyinatus Sifah**  
NIM : 1508026024  
Fakultas : Sains dan Teknologi  
Jurusan : Fisika  
Semester/tahun : Genap 2019/2020

Judul Skripsi : "Analisi Kandungan Dan Struktur Hidroksipapatit Dari  
Cangkang Kerang Darah (*Anandara granosa*) Dan Cangkang Telur Sebagai  
Bahan Tiruan.

Dosen Pembimbing : 1. Dr. Hamdan Hadi Kusuma, S.Pd., M.Sc.  
2. Sheilla Ruly Anggita, M.Si.

Mahasiswa tersebut membutuhkan data-data dengan tema/judul skripsi  
yang sedang disusun, mohon mahasiswa kami di ijinkan melaksanakan  
Riset di Laboratorium Fisika Universitas Negeri Semarang yang bapak/Ibu  
pimpin.

Data Penelitian tersebut diharapkan dapat menjadi bahan kajian (analisis)  
Proposal Skripsi bagi mahasiswa kami.

Demikian atas perhatian dan kerjasamanya disampaikan terima kasih.

Wassalamu'alaikum Wr. Wb.



Dr. Saminanto, S.Pd., M.Sc.  
NIP. 19720604 200312 1 002

Tembusan Yth.  
1. Dekan Fakultas Sains dan Teknologi UIN Walisongo ( sebagai laporan )  
2. Arsip



## Lampiran 18

### Surat Keterangan Riset 1



Ketua Prodi Fisika Fakultas Sains dan Teknologi UIN Walisongo Semarang menerangkan dengan sesungguhnya, bahwa :

Nama : LAYYINATUS SIFAH  
NIM : 1508026024  
Judul Skripsi : ANALISIS KANDUNGAN DAN STRUKTUR HIDROKSOAPATIT DARI CANGKANG KERANG DARAH (ANANDARA GRANOSA) DAN CANGKANG TELUR SEBAGAI BAHAN GIGI TIRUAN

telah melakukan penelitian di Laboratorium Fisika pada 15 Oktober 2019 - 17 Desember 2019.

Demikian surat keterangan ini dibuat dengan sesungguhnya, untuk dapat dipergunakan sebagaimana mestinya.

Mengetahui,

Ketua Prodi Fisika

Agus Sanjaya M.Si  
NIP. 19770823 200912 1 001

Semarang, 6 Januari 2020

PLP Laboratorium Fisika

Widayastuti, S.Pd  
NIP. 19840103 200912 2 005

## Lampiran 19

### Surat Keterangan Riset 2



KEMENTERIAN AGAMA REPUBLIK INDONESIA  
UNIVERSITAS ISLAM NEGERI WALISONGO  
FAKULTAS SAINS DAN TEKNOLOGI

Alamat: Jl. Prof. Dr. Hamka Km. 1 (Kampus II) Ngaliyan Semarang 50185 Telp. 024 76433366

**SURAT KETERANGAN RISET**

Nomor : B.540/Un.10.8/J7/PP.00.9/02/2020

Ketua Jurusan Pendidikan Kimia Fakultas Sains dan Teknologi UIN Walisongo Semarang  
menerangkan dengan sesungguhnya, bahwa:

Nama : Layyinatus Sifah  
NIM : 1508026024  
Judul Skripsi : Analisis Kandungan dan Struktur Hidrosoapatis dari Cangkang Kerang  
Darah (*Anandara Granosa*) dan Cangkang Telur Sebagai Bahan Gigi  
Tiruan

telah melakukan penelitian di Laboratorium Kimia pada tanggal 15 Oktober 2019 – 17 Desember 2019.

Demikian surat keterangan ini dibuat dengan sesungguhnya, untuk dapat dipergunakan sebagaimana mestinya.

Mengetahui,

Ketua Jurusan Pendidikan Kimia



Anita Karunia Zustriani, S.Pd, M.Si  
NIP. 19750516 200604 2 002

Surabaya, 11 Februari 2020

PLP Laboratorium Kimia

Anita Karunia Zustriani, S.Si  
NIP. 19820309 200801 2 003

## Lampiran 20

### Surat Keterangan Riset 3



KEMENTERIAN RISET, TEKNOLOGI, DAN PENDIDIKAN TINGGI  
UNIVERSITAS NEGERI SEMARANG  
FAKULTAS MATEMATIKA DAN ILMU PENGETAHUAN ALAM  
LABORATORIUM FISIKA  
Gd. D9, Kampus Sekaran Gunungpati Semarang (50229) telp . (024)8508034

#### **SURAT KETERANGAN** No. 028 /UN.37.1.4.3 / PP / 2020

Dengan ini, menerangkan bahwa mahasiswa yang tersebut di bawah ini :

Nama : *Layyinatus Sifah*

Prodi / NIM : Fisika Fakultas Sains dan Teknologi UIN Walisongo /1508026024

Telah selesai melakukan pengujian sampel menggunakan alat uji SEM (*Scanning Electron Microscope*) dengan merk *Phenom Pro - X Desktop SEM with EDX, XRD (X-Ray Diffraction)* dengan merk Panalytical XRD Xpert3 Powder, dan FTIR (*Fourier Transform Infra Red*) dengan merk Perkin Elmer FTIR berupa sampel serbuk cangkang kerang darah dan cangkang telur di Laboratorium Fisika FMIPA UNNES dalam rangka penyusunan penelitian untuk Skripsi dengan judul "*Analisis Kandungan dan Struktur Hidroksiapatit dari Cangkang Kerang Darah (Anandara granosa) dan Cangkang Telur sebagai Bahan Tiruan*" pada bulan Januari 2020 (hasil pengujian terlampir).

Demikian surat keterangan ini dibuat agar digunakan dengan sebaik-baiknya.

Semarang, 28 Januari 2020

Kepala Laboratorium Fisika  
FMIPA UNNES



Scanned with  
CamScanner

## **DAFTAR RIWAYAT HIDUP**

Nama : Layyinatus Sifah

Tempat, Tanggal Lahir : Demak, 27 April 1996

Alamat Asal :Dusun Karang rowo RT 03 RW 01 Ds. Karang rowo Kac. Wonosalam Kab. Demak Jawa Tengah

No.Hp : 085875868127

E-mail : layyinatussifah96@gmailcom

### Riwayat Pendidikan

1. Pendidikan Formal :
  - a. SD N Karang rowo 2 lulus 2009
  - b. Mts Miftahus Salam 2 Wonosalam lulus 2012
  - c. MA Miftahus Salam Wonosalam lulus 2015
  - d. UIN Walisongo, lulus 2020
2. Pendidikan Non Formal
  - a. Madrasah Diniyyah Tarbiyatul Atfal